

T.C.  
TRAKYA ÜNİVERSİTESİ  
SAĞLIK BİLİMLERİ ENSTİTÜSÜ  
TEMEL ECZACILIK BİLİMLERİ  
ANABİLİM DALI  
YÜKSEK LİSANS PROGRAMI

Tez Yöneticisi  
Prof. Dr. Yeşim YEŞİLOĞLU

**ÜVEZ (*Sorbus domestica* L.) EKSTRAKTALARININ  
ANTİOKSIDAN AKTİVİTELERİNİN  
BELİRLENMESİ**

(Yüksek Lisans Tezi)

**Burhan CEYLAN**

**Referans No: 10119254**

EDİRNE-2017

T.C.  
TRAKYA ÜNİVERSİTESİ  
SAĞLIK BİLİMLERİ ENSTİTÜSÜ  
TEMEL ECZACILIK BİLİMLERİ  
ANABİLİM DALI  
YÜKSEK LİSANS PROGRAMI

Tez Yöneticisi  
Prof. Dr. Yeşim YEŞİLOĞLU

ÜVEZ (*Sorbus domestica* L.) EKSTRAKTARININ  
ANTİOKSIDAN AKTİVİTELERİNİN  
BELİRLENMESİ

(Yüksek Lisans Tezi)

Burhan CEYLAN

Destekleyen Kurum: TÜBAP-2017/74

EDİRNE-2017

T.C.  
TRAKYA ÜNİVERSİTESİ  
Sağlık Bilimleri Enstitü Müdürlüğü

**ONAY**

Trakya Üniversitesi Sağlık Bilimleri Enstitüsü Temel Eczacılık Bilimleri Anabilim dalı yüksek lisans programı çerçevesinde ve Prof. Dr. Yeşim YEŞİLOĞLU danışmanlığında yüksek lisans öğrencisi Burhan CEYLAN tarafından tez başlığı “Üvez (*Sorbus domestica L.*) ekstraktlarının antioksidan aktivitelerinin belirlenmesi” olarak teslim edilen bu tezin tez savunma sınavı 25/12/2017 tarihinde yapılarak aşağıdaki juri üyeleri tarafından “**Yüksek Lisans Tezi**” olarak kabul edilmiştir.



İmza

Prof. Dr. Yeşim YEŞİLOĞLU

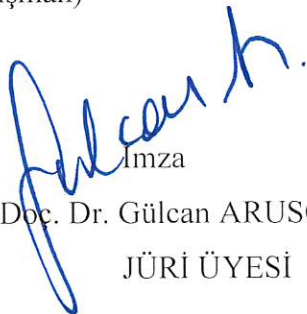
JÜRİ BAŞKANI (Danışman)



İmza

Yrd. Doç. Dr. Hakan KOLANCILAR

JÜRİ ÜYESİ



İmza

Yrd. Doç. Dr. Gülcen ARUSOĞLU

JÜRİ ÜYESİ

Yukarıdaki imzaların adı geçen öğretim üyelerine ait olduğunu onaylarım.

Prof. Dr. Tammam SİPAHİ

Enstitü Müdürü

## **TEŞEKKÜR**

Yüksek lisans eğitimim ve tez çalışmam boyunca yardımını ve desteğini hiç bir zaman esirgemeyen değerli danışman hocam sayın Prof. Dr. Yeşim YEŞİLOĞLU'na, Temel Eczacılık Bilimleri Anabilim Dalı Başkanımız sayın Prof. Dr. Gülay ŞEREN'e, her zaman yanında olan ablam Burcu CEYLAN'a, laboratuvar çalışmalarını beraber yürüttüğümüz arkadaşım Derya ALTINTAŞ'a ve bugünlere gelmemi sağlayan, her zaman yanında olan aileme, desteklerinden dolayı NABİLTEM ve TÜBAP birimine teşekkür ederim.

## **İÇİNDEKİLER**

<b>GİRİŞ VE AMAÇ .....</b>	<b>1</b>
<b>GENEL BİLGİLERİ .....</b>	<b>3</b>
<b>SERBEST RADİKALLER .....</b>	<b>3</b>
<b>GEREÇ VE YÖNTEM .....</b>	<b>26</b>
<b>BULGULAR .....</b>	<b>38</b>
<b>TARTIŞMA .....</b>	<b>71</b>
<b>SONUÇLAR .....</b>	<b>81</b>
<b>ÖZET .....</b>	<b>85</b>
<b>SUMMARY .....</b>	<b>87</b>
<b>KAYNAKLAR .....</b>	<b>89</b>
<b>ŞEKİLLER LİSTESİ .....</b>	<b>96</b>
<b>ÖZGEÇMİŞ .....</b>	<b>101</b>

## **SİMGE VE KISALTMALAR**

<b>ABAP:</b>	2,2'-azobis(2-amidinopropan) hidroklorit
<b>ABTS:</b>	2,2'-Azinobis(3-etilbenzentiazolin-6-sülfonat)
<b>APPH:</b>	2,2'-azobis(2-amidinopropan) dihidroklorit
<b>ATP:</b>	Adenozin tri fosfat
<b>BHA:</b>	Büttillendirilmiş hidroksianisol
<b>BHT:</b>	Büttillendirilmiş hidroksitoluen
<b>CAT:</b>	Katalaz
<b>Ç.A.:</b>	Çiçek-aseton ekstraktı
<b>DPPH:</b>	1,1'-Difenil-2-pikrilhidrazil
<b>EDTA:</b>	Etilen diamin tetra asetik asit
<b>FCR:</b>	Folin-Ciocalteu reaktifi
<b>FRAP:</b>	Demir(II) iyonu indirgeme gücü
<b>FTC:</b>	Ferrik tiyosiyatan
<b>GAE:</b>	Gallik asit eşdeğeri
<b>GSH:</b>	Glutatyon
<b>GSH-Px:</b>	Glutatyon peroksidaz
<b>GSH-Red:</b>	Glutatyon redüktaz
<b>GSSG:</b>	Okside glutatyon
<b>HEM:</b>	Hemoglobin
<b>M.A.:</b>	Meyve-aseton ekstraktı
<b>M.S.:</b>	Meyve-su ekstraktı

<b>NADPH:</b>	Nikotinamidadenindinükleotid fosfat
<b>NAS:</b>	N-asetil sistein
<b>NBT:</b>	Nitrotetrazolium blue klorür
<b>ORAC:</b>	Oksijen radikalini absorplama kapasitesi
<b>PKE:</b>	Pirokateşol eşdeğeri
<b>PMS:</b>	Fenazin metasülfat
<b>RNS:</b>	Reaktif nitrojen türleri
<b>ROT:</b>	Reaktif oksijen türleri
<b>RSS:</b>	Reaktif sülfür türleri
<b>SOD:</b>	Süperoksit dismutaz
<b>SR:</b>	Serbest radikal
<b>TBHQ:</b>	t-bütil hidroksikinon
<b>TEAC:</b>	Trolox ekivalenti antioksidan kapasite
<b>TPC:</b>	Toplam fenolik madde
<b>TRAP:</b>	Toplam radikal tutma parametresi
<b>Trolox:</b>	6-hidroksi-2,5,7,8-tetrametilkroman-2-karboksilikasit
<b>QUE:</b>	Quersetin eşdeğeri
<b>XOD:</b>	Ksantinoksidaz

## **GİRİŞ VE AMAÇ**

Antioksidanlar, serbest radikallerin sebep olduğu oksidasyonu engelleyen, serbest radikalleri yakalama ve dengeleme özelliğine sahip olan maddeler olarak tanımlanırlar. Antioksidanlar, serbest radikallerle reaksiyona girerek onların hücrelere zarar vermelerini engellerler (28).

Vücutun antioksidan aktivitesi, serbest radikallerin (SR) aktivitesinden daha az yoğun ise vücutta bir dengesizlik meydana gelir ve hücrelerde oksidatif hasar oluşumu başlar. Yaşın da ilerlemesi ile birlikte vücut daha fazla serbest radikale maruz kalır. Antioksidanlar SR hasarına karşı ilk savunma mekanizmasıdır.

Serbest radikalleri oluşturan nedenler temelde 2 gruba ayrılır. Endojen (bazı küçük moleküllerin otooksidasyonu, solunumsal patlama, peroksizomlar ve mitokondriyal elektron transferi) ve ekzojen (hava kirliliği, aşırı beslenme, ozon, radyasyon, UV ışınları, enfeksiyon, sigara dumanı, travma ve stres gibi faktörler) kaynaklar olarak sınıflandırılmaktadır.

Serbest radikaller, dış atomik orbitalerinde bir veya birden daha fazla eşleşmemiş elektron içeren enerji bakımından yüksek ve sabit olmayan bileşiklerdir. Eşleşmemiş elektronlar, serbest radikalleri oldukça reaktif bileşikler yaparak lipid, protein, DNA gibi birçok biyolojik materyale zarar vermelerine olanak sağlar (39).

Oksijen molekülü aerob organizmalar için son derece önemli bir elementtir. Yeryüzünde oksijensiz bir yaşam mümkün değildir. Fakat yüksek oranda yoğunlaşan bu element aerob organizmalar için toksik etki gösterebilir. Oksijen molekülünü bünyelerinde barındıran reaktif oksijen türleri, eşleşmemiş elektronlarından dolayı kimyasal olarak oldukça reaktif moleküllerdir.

Reaktif oksijen türleri olarak da bilinen en önemli serbest radikal türleri (ROT), süperoksit radikali ( $O_2^{\cdot -}$ ), hidroksil radikali ( $\cdot OH$ ), singlet oksijen, radikalik olmayan hidrojen peroksit ( $H_2O_2$ ) ve peroksinitrit ( $ONOO^-$ )’dır.

Bitkilerden elde edilen doğal antioksidanlar ROT’un zararlı etkilerini azaltmak için kullanılabilirler. Sentetik antioksidan olan bütillendirilmiş hidroksianisol ve bütillendirilmiş hidroksitoluen gibi maddeler de kullanılabilir ancak bu moleküllerin kullanımı risklidir. Bundan dolayı sentetik antioksidanların kullanımında son yıllarda birçok ülkede sınırlamalar getirilmiştir. Bu yüzden doğal antioksidanlara olan ilgi artmış ve doğal antioksidanlar ile ilgili araştırmalar hız kazanmıştır.

Çalışmamızda serbest radikalleri gidermede kullanılan sentetik antioksidanlara alternatif olabilecek üvezin, aseton ve su ekstraktlarının toplam antioksidan aktiviteleri farklı metodlar kullanılarak incelenmiştir. Antioksidan aktiviteyi belirlemek için ekstraktların toplam flavonoid içeriği, toplam fenolik içeriği,  $Fe^{+2}$  iyonlarını şelatlama aktivitesi, DPPH<sup>•</sup> (1,1'-difenil-2-pikrilhidrazil) radikali giderme aktivitesi,  $H_2O_2$  giderme aktivitesi,  $Fe^{+3}$  iyonlarını indirgeme kapasitesi, ABTS<sup>•+</sup> (2,2'-azinobis(3-etilbenzentiazolin-6-sülfat)) radikali giderme aktivitesi, süperoksit radikali giderme aktivitesi, klorofil içeriği, antosiyinan içeriği, fosfomolibden metoduyla toplam antioksidan aktivitesi ve ferrik tiyosiyanan (FTC) metodu ile toplam antioksidan aktivitesi, hidroksil radikali giderme aktivitesi, bakır iyonlarını indirgeme potansiyeli (CUPRAC metodu), LC-MS/MS ile fenolik madde içeriği tayin edilmiştir. Sonuçlar standart olarak kullanılan  $\alpha$ -tokoferol, kateşol, askorbik asit, gallik asit, kuersetin, gallik asit, BHA, BHT ve kateşin gibi antioksidan maddelerle ve literatürdeki veriler ile karşılaştırılarak yorumlanmıştır.

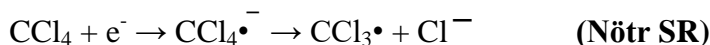
## **GENEL BİLGİLER**

### **SERBEST RADİKALLER**

Serbest radikaller, dış yörüngelerinde bir veya daha fazla eşleşmemiş elektron içeren oldukça yüksek reaktif moleküller olarak tanımlanırlar. Bir bileşik bir elektron kaybederek ya da bir elektron alarak serbest radikal oluşturabilir. Serbest radikaller genellikle kararsızdır ve oksijen (reaktif oksijen türleri: ROT), azot (reaktif azot türleri: RNT) ve sülfür (reaktif sülfür türleri: RST) kaynaklıdır (7).

Bir atom veya molekülün tek elektronunu göstermek için sağ önüne bir nokta konur ( $X^\bullet$ ). Kimyasal bir bağ oluşması için iki elektron gereklidir. Serbest radikallerin oluşumu, bağ kopması sırasında bu iki elektronadan biri bir atomda, diğer ise başka bir atomda kaldığı zaman serbest radikaller oluşur.

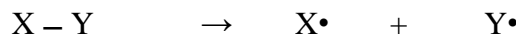
Serbest radikaller pozitif yüklü, nötral veya negatif yüklü olabilirler (40).



Serbest radikaller başlıca oluşum mekanizmalarına göre üç tiptir (2,10,21).

1) Kovalent bağların homolitik kırılması ile:

Homolitik kırılma, kırılması esnasında bağ yapısındaki iki elektronadan her biri ayrı ayrı atomlar üzerinde kalıyorsa böyle bir kırılma gerçekleşir. Homolitik kırılma sonucunda radikaller oluşur ve “serbest radikal reaksiyonları” adını alır.



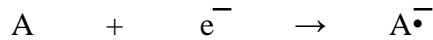
2) Normal bir molekülün elektron kaybetmesi ile:

Kararlı halde bulunan bir molekülden elektron kaybı sırasında dış orbitalinde paylaşılmamış elektron kalıyorsa molekülün radikal hali oluşur.



3) Normal bir moleküle elektron transferi ile:

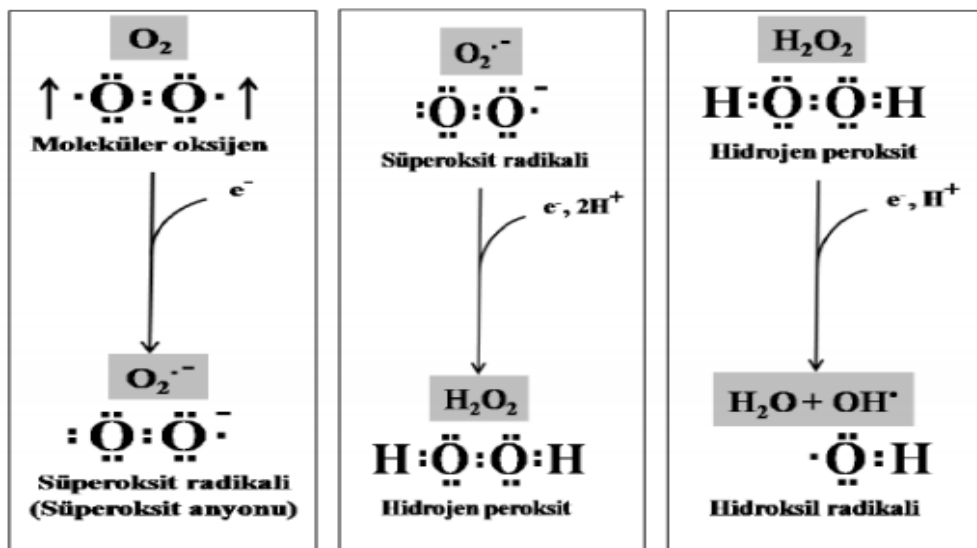
Kararlı halde bulunan bir moleküle tek bir elektron transferi ile dış orbitalinde paylaşılmamış elektron oluyorsa bu tür radikal oluşumuna sebep olabilir.



### Reaktif Oksijen Türleri (ROT)

Reaktif oksijen türleri; normal metabolik faaliyetler, çevresel faktörler, normal fizyolojik ve patolojik aşamalar tarafından meydana gelebilir. Reaktif oksijen türlerinin başlatmış olduğu oksidasyon, ölümün ve hücresel hasarın başlıca nedeni olarak görülür ve aynı zamanda kanser, damar tikanıklığı, nörodejeneratif hastalıklar, DNA hasarı gibi birçok hastalıklarda rol oynarlar (7,16).

Moleküler oksijen, kendi radikal doğasının gereği büyük ölçüde ROT oluşturma eğilimindedir. (Şekil 1). Bunlar oldukça reaktif olan süperoksit radikali, hidroksil radikali ve radikal olmayan hidrojen peroksittir.



Şekil 1. Moleküler oksijenden ROT üretimi

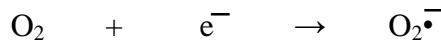
Reaktif oksijen türleri, serbest radikal zincir reaksiyonlarını başlatarak çeşitli radikalik olan ve olmayan yüksek aktiviteye sahip bileşiklerde vardır (Tablo 1).

**Tablo 1. Serbest radikal türleri**

Adı	Formülü	Özellikleri
Hidrojen radikali	H•	Bilinen en basit radikal
Süperoksit radikali	O <sub>2</sub> • <sup>-</sup>	Oksijen metabolizmasının ilk ana ürünü
Hidroksil radikali	HO•	En toksik oksijen metaboliti
Hidrojen peroksit	H <sub>2</sub> O <sub>2</sub>	Moleküler hasar yeteneği çok zayıf
Perhidroksi radikali	HO <sub>2</sub> •	Lipid peroksidasyonunu arttırmır
Peroksil radikali	ROO•	Perhidroksile oranla daha zayıf etkili
Alkoksil	RO•	Organik peroksitlerin yıkımı ile üretilir

### Süperoksit radikali (O<sub>2</sub>•<sup>-</sup>)

Moleküler oksijenin bir elektron alarak indirgenmesi sonucu, reaktif süperoksit radikali oluşur.

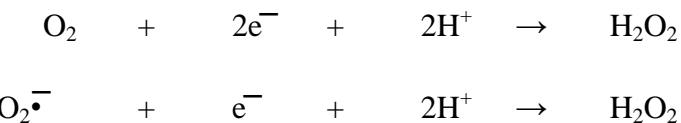


O<sub>2</sub>•<sup>-</sup> radikali uzun bir yarı ömre sahiptir, bu yüzden katalaz ve glutatyon peroksidaz gibi enzimleri inaktif hale getirip, glutatyon oksidasyonuna sebep olur. Ksantin oksidaz (XOD), siklooksigenaz, lipogenaz, NADPH oksidaz ve peroksidaz gibi enzimlerin aktivitesi O<sub>2</sub>•<sup>-</sup> üretmeye neden olur. Buna ek olarak, adrenalin, flavin nukleotidleri, tiyol bileşikleri ve glukoz gibi spesifik moleküllerin oksijen varlığında yükseltgenmesi ile O<sub>2</sub>•<sup>-</sup> oluşabilir. Demir ve bakır gibi geçiş metallerinin varlığı bu reaksiyonları oldukça fazla hızlandırabilir (7).

### Hidrojen peroksit (H<sub>2</sub>O<sub>2</sub>)

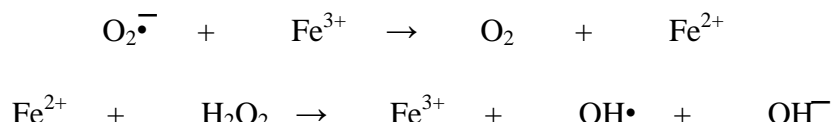
Hidrojen peroksit, biyolojik sistemlerde asıl olarak süperoksidin dismutasyona uğraması sonucunda oluşur. Burada görev alan enzim süperoksid dismutazdır. Ayrıca D-amino asit oksidaz tarafından da meydana gelebilmektedir (29).

Hidrojen peroksit süperokside bir elektron eklenmesi ve moleküler oksijene iki elektron eklenmesiyle oluşmaktadır (35).

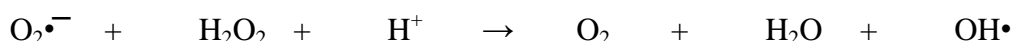


Eşleşmemiş elektron içermediğinden dolayı radikal olarak kabul edilmez. Fakat reaktif oksijen türü olarak adlandırılır. Hücrenin plazma membranlarından kolayca geçebilir ve HEM proteinlerinin yapısını bozabilir. Bu bozunma sonucunda demir açığa çıkar (35).

Hidrojen peroksidin  $\text{Fe}^{2+}$  ve diğer geçiş elementleri (Cu, Zn, Mn, Cr, Co, Ni, Mo) varlığında indirgenmesi ile hidroksil radikali oluşturulması **Fenton Reaksiyonu**, süperoksit radikali ile reaksiyonu sonucunda hidroksil radikali oluşması **Haber-Weiss Reaksiyonu** olarak bilinir (25).



### **Fenton reaksiyonu**



### **Haber-Weiss reaksiyonu**

#### **Hidroksil radikali ( $\cdot\text{OH}$ )**

Bilinen en reaktif ve en radikal tür olup, biyolojik sistemlerde üretilen bu radikal canlılarda iki temel mekanizma ile oluşabilir (18).

Bunlar; moleküler oksijene üç elektron eklenmesiyle ve  $\text{H}_2\text{O}_2$ 'nin UV ışığıyla etkileşmesi sonucu oluşur. Lipidlere, polipeptidlere, proteinlere ve DNA'ya zarar verebilmektedir.

Bu zararları şöyle sıralayabiliriz; DNA'da pürin ve primidin bazlarını kırar, amino asit kalıntılarını okside eder, lipid peroksidasyonlarında zincir başlatıcı olarak görev alır. Ayrıca DNA'da timin ve guanozin ile de reaksiyona girme özelliğine sahiptir (24).

#### **Singlet oksijen ( ${}^1\text{O}_2$ )**

Oksijende bulunan elektronlardan birinin enerji alması sonucunda yörünge değiştirmesiyle oluşan singlet oksijen, radikal olarak kabul edilmez.

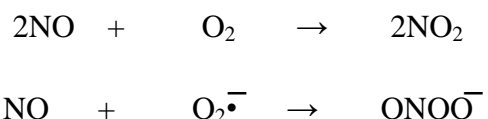
Çünkü yapısında eşleşmemiş elektron içermez bu nedenle reaktif oksijen molekülü olarak tanımlanır. Serbest radikal reaksiyonlarında başlatıcı olarak görev alan singlet oksijen  $H_2O_2$ 'nin hipoklorit ile tepkimeye girmesiyle de oluşabilir.

Lipid peroksidlerinin oluşumuna neden olur ve kolesterolin oksidasyonunda görev alır. Singlet oksijen, delta ve sigma olmak üzere iki farklı şekilde bulunmaktadır. Singlet oksijenin inaktive olmasında görev alan moleküller; tokoferol, karotenoid, fenolik bileşikler ve askorbik asittir (22).

### Nitrik oksit ( $NO\cdot$ )

Azot merkezli bir radikal olan nitrik oksit, bünyesinde bir adet eşleşmemiş elektron içermektedir. Bu eşleşmemiş elektron bir adet azot atomıyla bir adet oksijenin birleşmesiyle ortaya çıkmıştır (38).

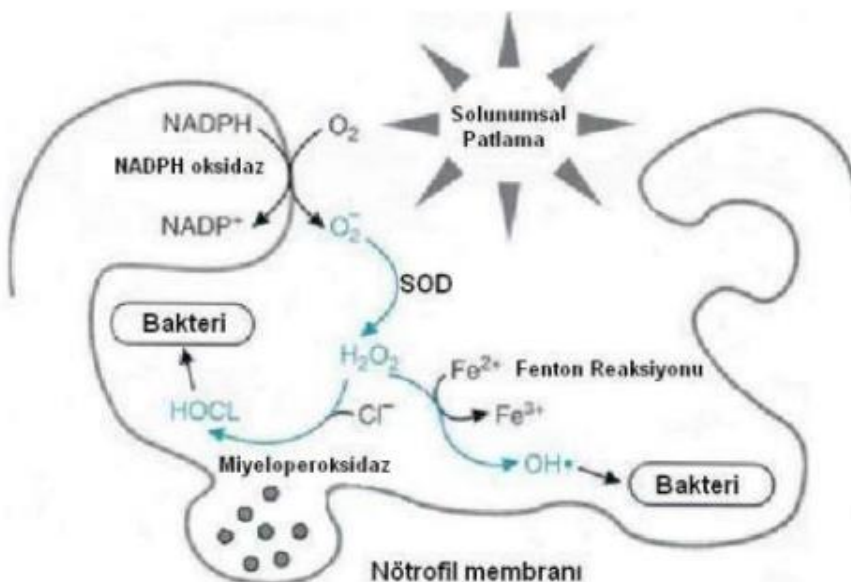
Vücutta nitrik oksit sentaz enziminin katalizörüğünde L-arginin tarafından oluşturulur. Bu oluşum damarlarda bulunan endotel hücrelerde gerçekleşir ve damar gevşemesini sağlar. NO'ya oksijen bağlanması ile oluşan  $NO_2$  daha da zehirli etkiye sahiptir. Ayrıca NO, ROS'lar ile tepkimeye girer ve peroksinitriti oluşturur.



## Reaktif Oksijen Türlerinin Kaynakları

### Serbest radikallerin hücre içi kaynakları

Metabolizmanın işleyişi esnasında farklı basamaklarda serbest radikal yapısı içeren çeşitli ara ürünler meydana gelebilir (31). Bunlar; küçük moleküllerin otooksidasyonu, mitokondriyal elektron transport zinciri, mikrozomal membran elektron transferi zincirleri, çözünür enzimler ve proteinler, geçiş metallerinin görev aldığı indirgenme-yükseltgenme reaksiyonları, endoplazmik retikulum ve nükleer membran elektron transfer sistemleri, peroksizomlar, plazma membranı ve solunumsal patlamadır (Şekil 2).



**Şekil 2. Solunumsal patlama sırasında serbest radikal oluşumu**

### Serbest radikallerin hücre dışı kaynakları

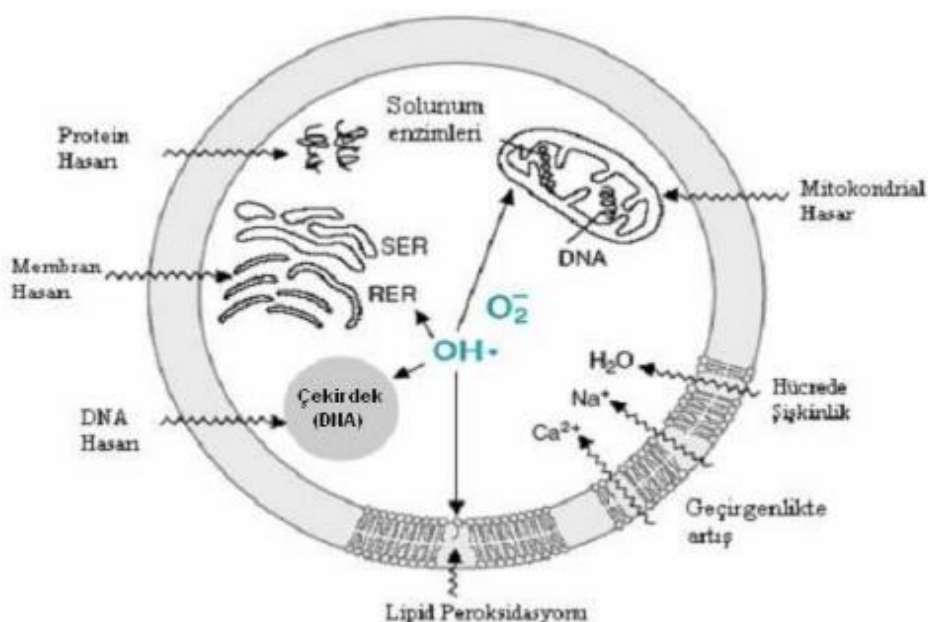
Normal metabolizmanın doğal yapısından kaynaklanmayan, sadece çeşitli dış etkenlerin etkisiyle oluşan reaksiyonlar sonucunda da serbest radikaller oluşur. Bu serbest radikalleri şu şekilde sınıflandırabiliriz; antineoplastik ajanlar, radyasyon, bağımlılık yapan maddeler, çevresel ajanlar ve stres.

### Serbest Radikallerin Etkileri

Endoplazmik ve nükleer elektron transport sistemlerinde, peroksizomlarda, monosit ve nötrofillerin fagositozu gibi normal metabolik olaylarda bol miktarda serbest radikal üretilir. Yüksek konsantrasyonlarda serbest radikaller oksidatif strese sebep olur, bu durum proteinler, enzimler, amino asitler, lipitler, DNA ve karbonhidratlar da dahil olmak üzere vücudumuzda bulunan biyomoleküllerin her çeşidine zarar verebilecek bir süreçtir (7).

Zehirli atık durumda olan SR'ler, solunum ve sindirim gibi normal vücut faaliyetleri sırasında meydana gelirler. Eğer serbest radikaller nötralize edilmezlerse; hücre membranı proteinlerini yıkarak hücreleri öldürebilir, protein ve kükürt içeren enzimlerde hasara, denatürasyona, inaktivasyona ve çapraz bağlanmaya sebep olabilir. Amino asitlerin oksidasyonuna da sebep olduğu amino asitlerden kükürtlü olanların metiyonin, sistein gibi gereksede aromatik halkaya sahip olanların fenilalanin, triptofan ve trozin gibi, çokunlukla reaktif oksijen metabolitleri tarafından oksitlenmeye eğilimli oldukları bilinmektedir (7).

Oksidasyonla modifiye edilmiş proteinler normal olarak hücrelere taşınır ve parçalanır, ancak bazıları zamanla aşamalı olarak birikebilir ve hücresel işlev bozukluğuna neden olabilir. Buna ek olarak, serbest radikaller membran protein ve lipitlerini yok edip hücrenin fonksiyonunu hücre membranını sertleştirerek yok eder ve dahası genetik kodu taşıyan hücrelerin büyümeyi ve devamlılığını sağlayan DNA'ya da etki ederek bağışıklık sistemi hücrelerini yok etmeye neden olabilir (18).



**Şekil 3. Serbest radikallerin neden olduğu hasarlar**

## ANTİOKSİDANLAR

Biyolojik sistemler serbest radikalleri nötralize etmek ve hücreleri zararlı etkilerden korumak için yeterince etkili olan yüksek oranda koruyucu sistemler ile donatılmıştır. Bunlar “antioksidanlar” veya “antioksidan savunma sistemleri” olarak adlandırılır.

Antioksidanlar dört şekilde etki ederler;

**1.) Toplayıcı etki:** Serbest oksijen radikallerine etki edip, onları tutma veya daha zayıf yeni moleküle dönüştürme etkisi gösterir.

**2.) Bastırıcı etki:** Serbest oksijen radikalleriyle etkileşip onlara hidrojen aktararak aktivitelerini azaltma veya aktif olmayan forma dönüştürme etkisidir.

**3.) Kırıcı etki:** Serbest oksijen radikallerini bağlayarak, zincirlerini kırıp fonksiyonlarını engelleyerek etki gösterir.

**4.) Onarıcı etki:** Serbest radikallerin oluşturdukları hasarın onarılmasıdır.

### **Antioksidanların Sınıflandırılması**

Antioksidanlar iki sınıfa ayrılır; enzimatik antioksidanlar ve enzimatik olmayan antioksidanlar. Enzimatik antioksidanlar birincil veya ikincil enzimlerdir. Birincil enzimler olarak da bilinen en etkili antioksidan enzimler, glutatyon peroksidaz, katalaz, süperoksit dismutazdır, bunlar serbest radikallerin oluşumunu önler (7).

Benzer şekilde, peroksiredoksinler az miktarda peroksitleri nötralize etmede rol oynayan birincil enzim ailesindendir. Peroksiredoksinler, enzimatik aktiviteleri için kofaktöre bağımlı olmak yerine, hedef moleküllerin indirgenmesi için aktif sistein kalıntılarını kullanırlar (7).

Enzimatik olmayan antioksidanlar, metabolik antioksidanlar veya besleyici antioksidanlardır. Metabolik antioksidanlar, melatonin, koenzim Q10, ürik asit, bilirubin, metal şelatlama proteinleri şeklinde sıralanabilir. Metabolik yollarla vücutta endojen olarak üretilenlerdir.

Besin antioksidanları, doğal gıdalardan veya vitamin C, vitamin E, karotenoidler, eser elementler gibi besinsel takviyeden elde edilen eksojen bileşiklerdir.

### **Enzimler**

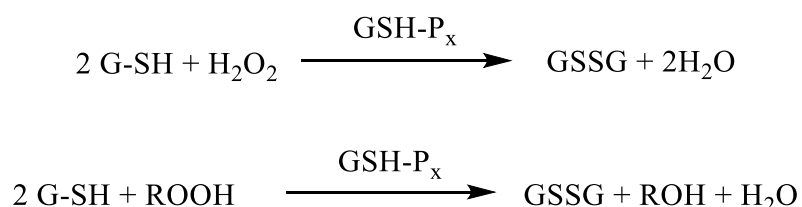
1-Süperoksit dismutaz (SOD) (Süperoksit Oksidoredüktaz, EC:1.15.1.1): Süperoksit dismutaz bir metalloenzimdir ve endojen olarak üretilmektedir. İnsanlarda iki izoenzimi bulunur bunlar; (Cu/Zn-SOD) ve (Mn-SOD) olup bakır, çinko ve mangan içerirler.

Vücudun en etkili antioksidan enzimlerinden biri ve canlı hücrelerde ROT'a karşı savunmanın ilk adımı olarak düşünülür. SOD,  $O_2^{\cdot-}$  'nin  $H_2O_2$ 'ye ve  $O_2$ 'ye dönüşümünü sağlar. Oluşan  $H_2O_2$  daha sonra katalaz veya glutatyon peroksidaz aktivitesi ile uzaklaştırılabilir (34).



2-Glutatyon peroksidaz (GPx) ( $H_2O_2$  Oksidoredüktaz, EC:1.11.1.9): Eritrosit ve dokularda bulunup bu enzim karşımıza iki formda çıkar; selenyum bağımlı (GPx) ve selenyum bağımsız (Glutatyon-S-transferaz GST).

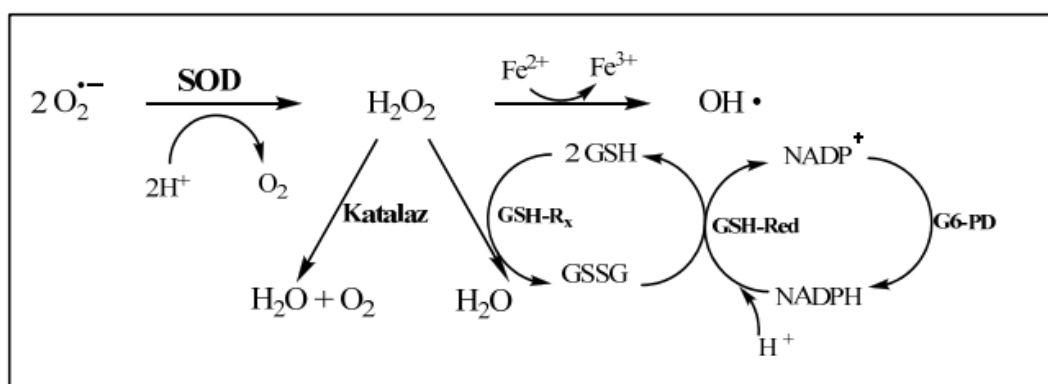
Bu antioksidan enzimler, alt birim sayısı, katalitik mekanizma ve aktif bölgelerindeki selenyumun bağlanması bakımından farklıdır. GPx  $H_2O_2$  veya organik peroksidin suya veya alkole indirgenmesini katalize eder. Aynı zamanda hemoglobini ve hücre membranında bulunan lipitleri oksidatif strese karşı korur (33).



Bu işlemler GPx'in katalitik reaksiyonu sırasında GSSG'ye dönüştürülen, hücrelerde bol miktarda bulunan ve bir tripeptit olan GSH varlığında gerçekleşmektedir.

İnsanlarda dört glutatyon peroksidaz izoenzimi vardır.

3-Glutatyon redüktaz (GSH-Red) (EC:1.8.1.7): Hidroperoksitlerin glutatyon redüktaz etkisiyle indirgenmesinden meydana gelen okside glutatyonun (GSSG) indirgenmiş glutatyonuna (GSH) dönüşmesini gerçekleştirir ve bu reaksiyon NADPH tarafından sağlanır (2).



**Şekil 4. Glutatyonun indirgenmesi**

4-Glutatyon-S-Transferaz (GST) (EC:2.5.1.18): GST, iki alt birimden oluşan bir enzim ailesi olup, lipit peroksitlerine karşı özellikle araşidonik asit ve lineolat hidroperoksitlerine karşı selenyum bağımsız glutatyon aktivitesi göstererek antioksidan savunma mekanizması oluşturur.



5-Katalaz (CAT) ( $\text{H}_2\text{O}_2$  Oksidoredüktaz, EC: 1.11.1.6): Katalaz esas olarak peroksizomlarda bulunan tetramerik porfirin içeren enzimdir. Metalloenzim olarak da bilinmektedir (42).

$\text{H}_2\text{O}_2$ 'nin suya ve moleküler oksijene iki aşamada dönüşümünü katalize eder.  $\text{H}_2\text{O}_2$  süperoksit dismutaz enzim faaliyetleri sonucunda oluşmaktadır. Başlıca bulunduğu yerler mitokondri, peroksizom ve sitozoldür (32).



Katalaz, bilinen tüm enzimler arasında en büyük devir hızlarından (sayısından) birine sahiptir, dakikada yaklaşık 6 milyon  $\text{H}_2\text{O}_2$  molekülünü  $\text{H}_2\text{O}$  ve  $\text{O}_2$ 'ye dönüştürebilir.

6-Mitokondriyal sitokrom oksidaz: Süperokski detoksifiye eder ve solunum zincirinin en son enzimidir.

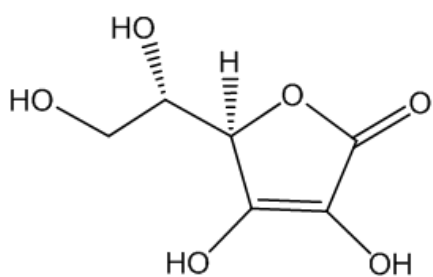


Fizyolojik şartlarda sürekli gerçekleşen bu reaksiyon normal bir reaksiyondur. Bu reaksiyon sayesinde yakıt maddelerinin oksidasyonu sona erer ve bol miktarda enerji üretimi (ATP) gerçekleşir.

7-Peroksiredoksinler: Peroksiredoksinler, peroksidaz ailesinden olup,  $\text{H}_2\text{O}_2$  ve farklı alkil hidroperoksitler gibi peroksitleri doğrudan indirgeyebilen evrimsel olarak korunmuş antioksidan proteinlerdir. İzoformalarının bazıları oksidatif strese karşı koruyucu rol oynamakta, diğerleri ise  $\text{H}_2\text{O}_2$  miktarını kontrol ederek sinyal vermeye devam etmektedir.

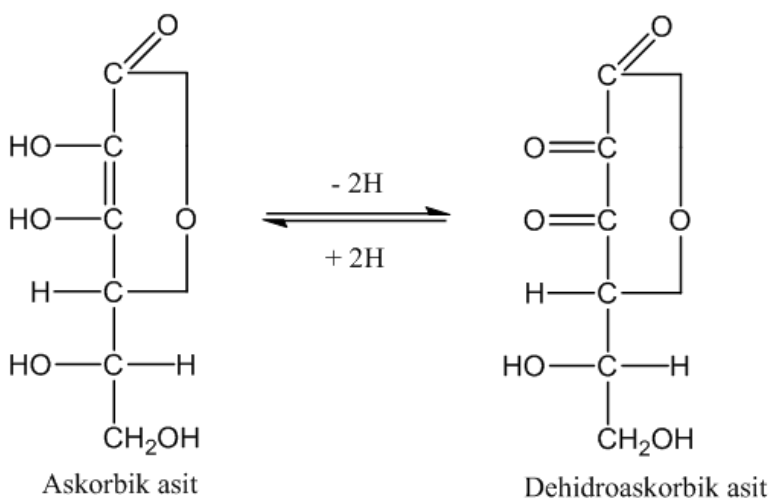
## Yağda ve suda çözünen radikal tutucular

1-Askorbik asit (C Vitamini): Askorbik asit olarak da adlandırılan C vitamini, taze meyve ve sebzelerde doğal olarak bulunan, güçlü ve suda çözünebilir bir antioksidandır. İnsan organizması L-glukolakton oksidaz enzim eksikliğinden dolayı C vitaminini sentezleyemez, bu nedenle gıda ya da takviye yoluyla alınması gereklidir.



Şekil 5. Askorbik asidin yapısı

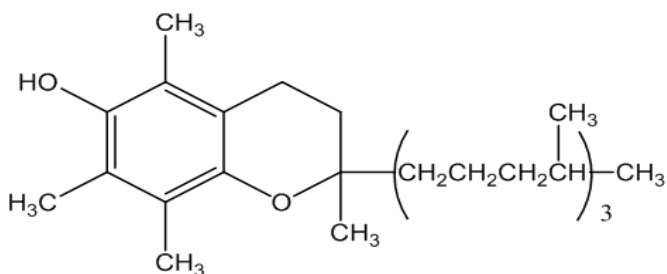
C vitamininin biyolojik açıdan en aktif hali, yüksek elektron verici gücü ve aktif indirgenmiş formuna dönüşümü hazır olması nedeniyle potansiyel bir antioksidan olan indirgenmiş formundaki L-askorbik asittir. Çok güçlü bir indirgeyici olan askorbik asit semihidroaskorbat radikal ara ürünü aracılığıyla kolaylıkla dehidroaskorbik aside okside olur (46).



Şekil 6. Askorbik asidin oksidasyonu

Bunlara ek olarak, hücre içi glutatyon miktarını arttıran bir role sahiptir. Proteinlerin tiyol gruplarını oksidasyona karşı korur. C vitamininin, E vitaminini yenileme özelliği de vardır (53).

**2- $\alpha$ -tokoferol (E Vitamini):** Vitamin E ya da çözünebilen, h cre membranlarında bol miktarda bulunan, lipid fazında zincir kırıcı önemli bir antioksidandır. Do ada sekiz farklı stereoizomerde bulunur;  $\alpha$ ,  $\beta$ ,  $\gamma$ ,  $\delta$  tokoferol ve  $\alpha$ ,  $\beta$ ,  $\gamma$ ,  $\delta$  tokotrienol.  $\alpha$  tokoferol h creler tarafından alınan ana membrana ba lı antioksidan olduğuna inanılan, yüksek antioksidan potansiyelli insanlardaki E vitamininin temel biyoaktif formudur (56).

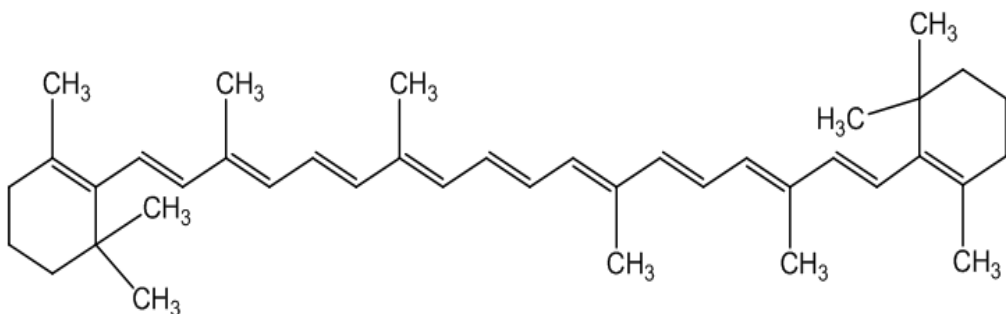


**Şekil 7.  $\alpha$ -tokoferolün yapısı**

Tokoferol çeşitlerinin antioksidan aktivitelerinin sıralanması yapıldığında en başta  $\alpha$ -tokoferol yer almaktadır. Hayati özellikle, peroksit, oksijen ve süperoksit anyon radikallerini süpürerek, lipit peroksidasyonuna karşı koruma yeteneğidir.

E vitamininin dışarıdan alınması gereklili  oldu undan v cuda yüksek dozlarda alındığında, ne kadar alınrsa o kadar yüksek koruyucu etki gösterdiği ifade edilmiştir (58).

**3-Karotenoidler:** Karotenoidler ya da çözünen isoprenoid pigmentli bileşikler olup taze meyve ve sebzelerde yaygın olarak bulunur ve bunların sar , turuncu, kirmizi renklerinden sorumludurlar. A vitamini öncüsü olan  $\beta$ -karoten (Şekil 8 ve Şekil 9) ve likopen en yaygın karotenoittir (26).

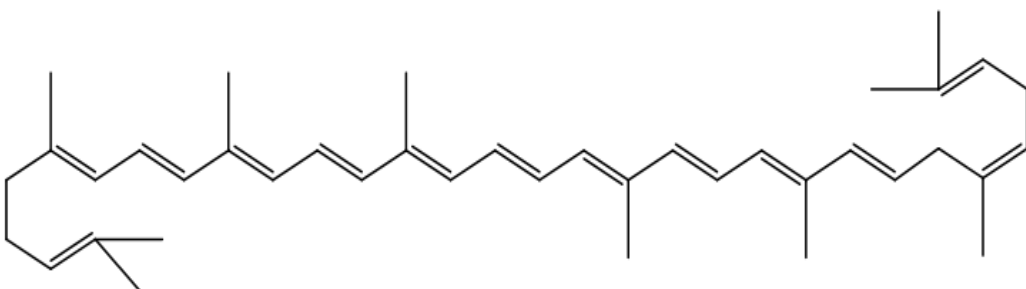


**Şekil 8.  $\beta$ -karoten yapısı**

Bu molek l 3-15 konjuge çift ba g içeren uzun polien zincirine sahiptir. Buradaki çift ba g sayısı arttıkça antioksidan özellikle de artmaktadır (41).

Karotenoидлер ksantofiller ve hidrokarbonlar olmak üzere iki grupta incelenebilir. Karotenoидlerin ROT'un güçlü bir temizleyicisi olduğu bilinmektedir. Ayrıca singlet oksijeni fiziksel ve kimyasal olarak bastırıldığı bilinmektedir.

Alfa-tokoferol gibi  $\beta$  karotenin de biyolojik membranlarda etkili radikal tutucu antioksidan olarak görev yapabileceği bildirilmiştir. Düşük oksijen varlığında bile  $\beta$ -karoten peroksil radikalleriyle tepkimeye girerek onların hasarını azaltmaktadır. Bir diğer özelliği ise proteazları aktif hale getirmesidir (9).

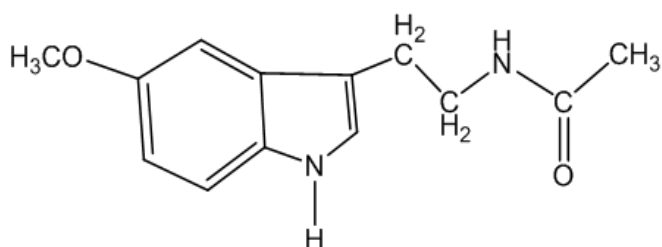


**Şekil 9. Likopen yapısı**

Likopen, serbest radikalleri etkili bir şekilde temizleyip, *in vitro* koşullarda  $H_2O_2$  ve  $NO_2$ 'yi inaktif hale getirebilmektedir.

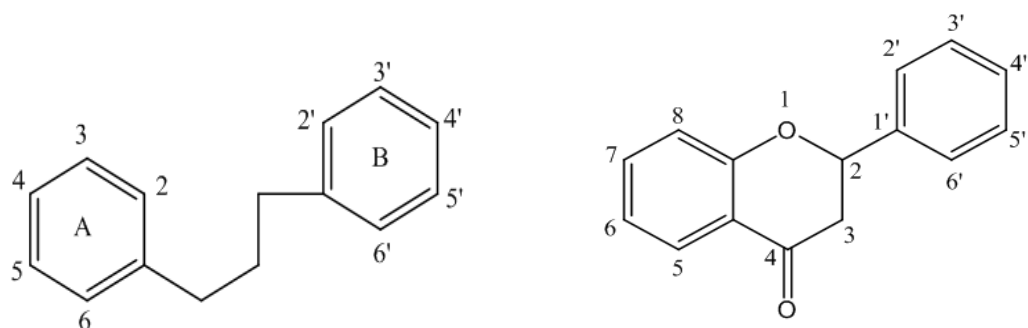
4-Melatonin (MLT): Oksidatif hasara karşı mücadele eden çok güçlü bir antioksidandır. Aynı zamanda endojen bir hormon olarak da görev yapmaktadır. Antioksidan aktivitesini, hidroksil radikalleri ile girdiği reaksiyon sonucu oluşan indol katyon radikalının ortamındaki süperoksit radikalini tutarak göstermektedir (2,57).

Günümüze kadar bilinen en güçlü antioksidan olarak kabul edilen melatonin, ayrıca vücutun biyolojik saatini korur, Alzheimer ve Parkinson hastalıklarında etkili bir hasar önleyicidir.



**Şekil 10. Melatonin yapısı**

**5-Flavonoidler:** Flavonoidler önemli bir fenolik bileşik grubudur. Yapılarında halka ve hidroksil grubu içerirler. Bu halka fenil halkası olup propan zinciri ile birleşmesinden oluşan, C<sub>6</sub>-C<sub>3</sub>-C<sub>6</sub> flavon iskeleti (Şekil 11) üzerine kurulmuştur. Bunlara ek olarak yapısında 15 tane karbon atomu bulundurmaktadır (51).

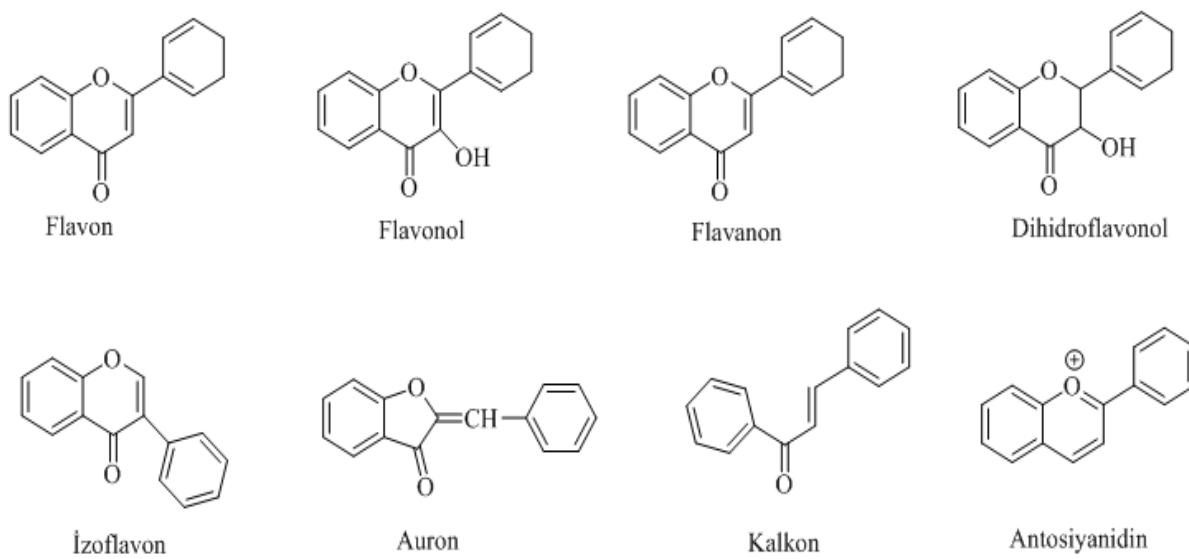


C<sub>6</sub>-C<sub>3</sub>-C<sub>6</sub> sistemi

Flavonoidlerin genel yapısı

### Şekil 11. C<sub>6</sub>-C<sub>3</sub>-C<sub>6</sub> sistemi ve flavonoidlerin genel yapısı

Bitkilerde gözümüze beyaz-sarı pigment olarak çarpan flavonoidler çeşitli sınıflandırmalara tabi tutulmuştur. Bunlar; flavon, flavonol, flavanon, dihidroflavonol, izoflavon, auron, kalkon, antosiyanyidinlerdir. Flavonoid iskeletleri Şekil 12'de gösterilmiştir.



Şekil 12. Flavonoid iskeletleri

Flavonoidlerin güçlü antioksidan özellikleri vardır. Eğer bir flavonoid yapısında ne kadar çok OH grubu barındırıysa o kadar çok güçlü antioksidan etkinliği vardır. Flavonoidler reaktif oksijen türlerini inhibe edebilirler. Bu inhibisyon yetenekleri metal şelatlama kapasitesi olan yapısal grupları sayesindedir. Flavonoidler bitkisel kaynaklıdır ve ayrıca polifenoller grubuna da dahildirler. Lipidlerin peroksidasyonunu önleyebilmektedirler. En çok bilinen flavonoidler kuersetin ve kateşindir (50).

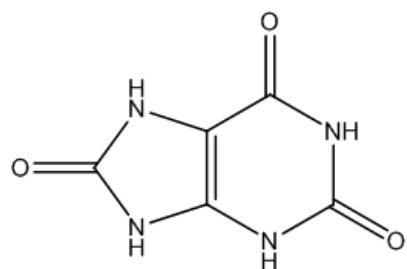
6-Glutatyon (GSH): Glutatyon, glutamik asit, sistein ve glisinden meydana gelen bir tripeptid olan glutatyon (Şekil 13) çok önemli bir antioksidandır. Tiyol grubunun sağladığı glutatyon, hidroksil ve singlet oksijen gibi daha birçok reaktif oksijen türlerinin temizleyicisi olmakla kalmayıp, diğer serbest radikallerle de reaksiyona girerek hücreleri oksidatif hasara karşı korurlar.



**Şekil 13. Glutatyon yapısı**

7-Ürik asit: İnsan pürin metabolizmasının son ürünüdür ve antioksidan olarak davranışır. Ürik asit singlet oksijen radikalının etkili bir temizleyicisidir (Şekil 14).

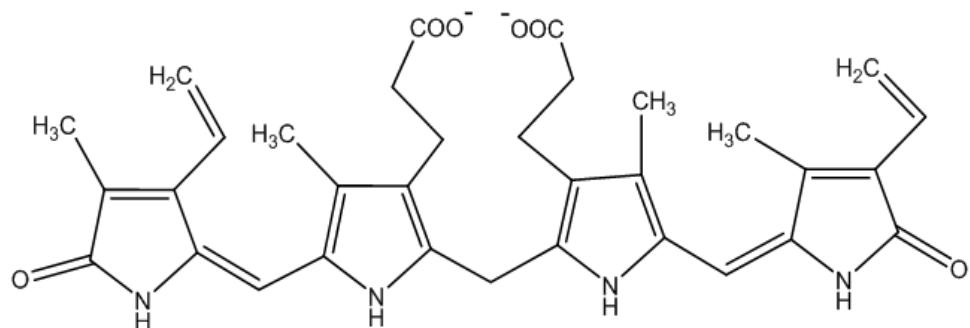
İnsan organizmasında bulunan miktarı yaklaşık 0,5 mmol/L'dir. Ürik asidin lipid radikalleri üzerine etkisi yoktur. Geçiş metalleri ile bağ yaparak C vitamininin oksitlenmesini engeller (7,44).



**Şekil 14. Ürik asit yapısı**

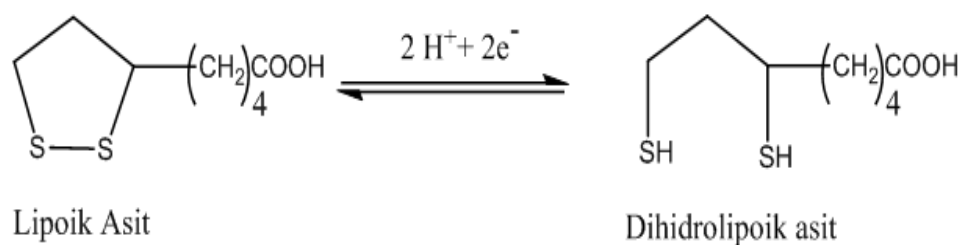
8-Bilirubin: HEM proteinlerinin parçalanması ile oluşan üründür. Peroksit radikallerinin toplayıcısı ve aktif bir süpürücüdür. OH radikali ve  $\text{H}_2\text{O}_2$ 'ye karşı güçlü antioksidan etkiye sahiptir (Şekil 15).

Hücre içinde lipid peroksidasyonunda da bir antioksidan görevi vardır. Askorbat ve ürat antioksidanları gibi hücre plazmasında bulunur (64).



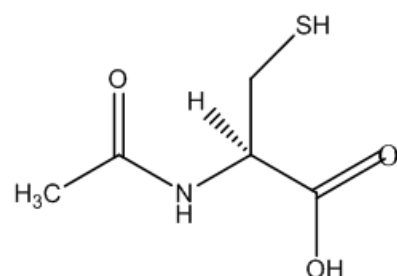
**Sekil 15. Bilirubin yapısı**

9-Lipoik Asit: Lipoik asit, dihidrolipolik asite indirgenirken serbest radikalleri temizleyip, ağır metal iyonlarıyla şelat oluşturarak antioksidan özelliği göstermektedir. (Şekil 16).



**Sekil 16. Lipoik asidin dihidrolipoik aside indirgenmesi**

10-N-asetil Sistein (NAS): Temeli sistein aminoasidi olan NAS'ın, endojen antioksidan sisteme katkısı glutatyon peroksidaz aktivitesini artırmaktır (Şekil 17).



**Sekil 17. N-asetil sistein yapısı**

## **Metal iyonlarını bağlayan proteinler**

Bu gruptaki proteinler albümin, transferin, ferritin ve seruloplazmindir. Bu proteinlerin ferroksidaz tipi aktivitesi, demir bağımlı lipit peroksidasyonunu, hidrojen peroksit ve süperoksit iyonlarından hidroksil oluşumunu inhibe eder.

1-Albümin: Koruyucu antioksidan sisteminde görev alan albümin bakırı sıkı, demiri zayıf bağlar. Albümin moleküllerinde birer tane sülfhidril molekülü bulunmaktadır. OH radikalini etkisiz hale getirmekle görevlidir (63).

2-Transferrin: Demir transport proteinidir ve hücre plazmasında iyonik halde bulunan demirin etkinliğini azaltır (23).

3-Ferritin: Dokulardaki demiri toplayıp depolar ve kan dolaşımında bulunur.

4-Seruloplazmin: Bakır transportunda görev alır. Antioksidan özelliğe sahiptir ve bu özelliğiyile demir iyonuna bağımlı olan lipid peroksidasyonunu inaktive edip 2 değerlikli Ferro demiri ( $Fe^{2+}$ ), 3 değerlikli Ferri demire ( $Fe^{3+}$ ) yükseltger (23).

## **Eksojen antioksidanlar**

Eksojen antioksidanlar üç farklı şekilde sınıflandırılırlar. Bunlar; vitamin eksojen antioksidanları, ilaç olarak kullanılan antioksidanlar ve gıdalardaki antioksidanlardır.

## **Besin Maddeleri ve Antioksidanlar**

Çoğu gıda maddesinin bozulmasından sorumlu olan oksijen, gıdada bulunan karbohidrat, yağ ve proteinlere etki ederek gıdalarda kalite sorunlarına yol açmaktadır. Otooksidasyon olarak tanımlanan süreç, hava oksijeni ile gıda bileşenleri arasında kendiliğinden meydana gelir. Gıdalarda pek istemediğimiz lezzet ve koku oluşumlarına neden olmakta ve antioksidanlar bu durumda gıda katkı maddeleri olarak kullanılmaktadır (14).

## **Doğal antioksidanlar**

Son yıllarda doğal antioksidanlara istek gittikçe artmakta bunun nedeni olarak sentetik antioksidanların kanserojen etkisi olduğu gösterilmektedir. Taze meyve ve sebzelerde bol miktarda doğal antioksidan bulunması nedeniyle günümüzde birçok bitkisel materyalden antioksidan elde etmek ve bunları kullanılabılır hale getirmek yaygınlaşmıştır (69).

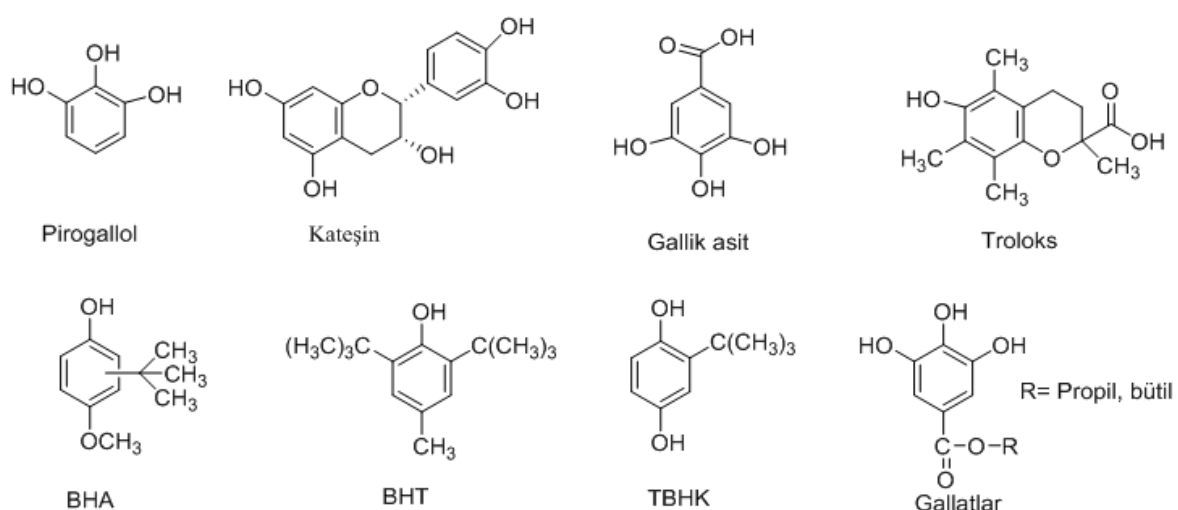
Doğal antioksidan içeren meyve ve sebzelerin tüketilmelerinin birçok hastalığa yakalanma riskini azalttığı yapılan çalışmalarla bildirilmiştir. Ancak doğal antioksidanlar sadece bitkisel kaynaklı olmayıp, hayvansal ürünlerde, enzimlerde ve mikroorganizmalarda da bulunmaktadır (30).

Polifenollerin bir grubu olan flavonoidler antimikrobiyal etki göstermektedir. Çünkü en güçlü antioksidanların fenolik bileşikler ve polifenolik bileşiklerden kaynaklandığı bilinmektedir. Koruyucu etki gösterdiği düşünülen bileşikler; genellikle bitkinin sekonder metabolitleridir.

### Sentetik antioksidanlar

Günümüzde herhangi bir antioksidanı besinlere ilave etmemizin sebebi, o besini korumak ve raf ömrünü uzatmak istememizdir. Bu sebeplerle besinlere bütillendirilmiş hidroksitoluen, bütillendirilmiş hidroksianisol, t-butil hidroksikinon, trolox, sodyum benzoat, gallik asit ve kateşin gibi sentetik antioksidanlar ilave edilmektedir.

BHA yağıların renk ve kokularını korumada sıkılıkla kullanılan bütillenmiş hidroksianisoldur. Hem yalda hem de suda çözünebilir. BHT hayvansal yağlarda bol bulunur. Besinlere direkt eklenmesinde bir sakınca yoktur. İlaç, kozmetik sektöründe ve yağ sanayinde sıkılıkla kullanılan bütillenmiş hidroksitoluendir. TBHK tersiyer butilhidrokinon olarak bilinir. Bitkisel yağlarda kullanılmasının yanı sıra gıdalarda katkı maddesi olarak da kullanılır (Şekil 18).



**Şekil 18. Gıdalara ilave edilen sentetik antioksidanların yapısı**

## **Antioksidan Aktivitesi Tayin Metodları**

Son yıllarda önemli bir konu olan antioksidanlar, oksidatif stresle ilgili hastalıkları önleyebildikleri için birçok araştırmaya konu olmuşlardır. Gıdaların yapısında bulunan antioksidanların yapıları karmaşık olduğu için bu bileşiklerin ayrılması, çalışılması pahalı ve zordur.

Laboratuvar şartlarında, *in vitro* koşullarda antioksidan aktivite tayininde kullanılan yöntemler kimyasal reaksiyonlarına göre sınıflandırılacak olursa temelde ikiye ayrılır.

### **Hidrojen atomu transferine dayalı metodlar**

#### **1-ORAC(Oksijen radikalını absorplama kapasitesi) metodu**

Oksijen radikalını absorplama kapasitesini tayin eden bir metottur. Bu metod hidrofilik zincir kırma tepkimelerinden faydalananmaktadır. Yöntemin ilerleyişi şu şekildedir; antioksidan içerdigini varsayıdığımız numune ve numuneyi içermeyen şahit için ölçüm yapılır, bu ölçüm floresans ölçümü ile kolaylıkla gerçekleştirilir. Prop olarak flurossein tercih edilir.

Peroksil radikalını başlatması için 2,2'-azobis (2-amidinopropan) dihidroklorit (APPH) kullanılır ve bu APPH flurossein fluoresansında azalma gözlenir. Eğer antioksidan içerdigini varsayıdığımız numune gerçekten antioksidan içeriyorsa APPH radikali yok edilir. Yöntemin dezavantajı ısıya karşı gösterdiği hassasiyettir (37).

#### **2-TRAP (Linoleik asit oksidasyonunun inhibisyonu) metodu**

Yöntemin amacı plazma ve serum ortamında bulunan toplam antioksidanların varlığını ölçmektedir. Metodun ilerleyişi şu şekildedir; radikal başlatıcısı olarak bilinen ABAP (2,2'-azobis(2-amidinopropan) hidroklorit) peroksil radikallerini üretmeye başlar. Gerçekleşen oksidasyon ile harcanan oksijen tayin edilir. Linoleik asit bir lipid substratıdır ve oksitlenebilme özelliğine sahiptir (19).

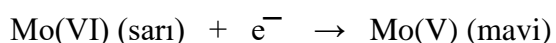
### **Elektron transferine dayalı metodlar**

#### **1-Folin-Ciocalteu ile Toplam Fenolik Bileşik Tayini**

Bu yöntem adını Folin-Ciocalteu reaktifinden almaktadır ve toplam fenolik madde tayininde kullanılan bir yöntemdir. Bu reaktifin neden olduğu rengin konsantrasyonuna bağlı olarak absorbans ölçümü yapılmaktadır.

Metodun ilk kullanım amacı protein tayinleri idi fakat günümüze kadar daha da geliştirilerek toplam fenolik madde tayin metodu olarak kullanılmaktadır. Metodun avantajları; kolay ve tekrarlanabilir olmasıdır.

Dezavantajı ise; sadece belirli fenolik bileşiklere özgü bir yöntem olmaması, incelenen yapıda bütün fenolik maddeleri açığa çıkarmasıdır. Metodun ilerleyişi şu şekildedir; FCR bazik ortam varlığında fenolik bileşikler ile tepkimeye girer ve bu reaktifteki Mo(VI) indirgenir. Ortamda görünen renk sarı iken artık maviye döner ve 760 nm'de absorbans maksimumuna ulaşılır (27).



#### 2-TEAC (Trolox ekivalenti antioksidan kapasite) metodu

Bu metod ABTS radikalinin antioksidanlar varlığında giderilmesi sonucunda renk değişiminin gözlenmesidir. ABTS radikalinin (2,2'-azinobis-(etilbenzotiazolin-6-sulfonik asit) ve rengi mavi-yeşildir. Dayanıklı bir radikal katyon olan ABTS<sup>+</sup> radikalinin absorbansı spektrofotometrede 734 nm'de takip edilir (Şekil 19).

ABTS bileşigini potasyum persülfatla okside ettiğimizde oluşan bileşik ABTS<sup>+</sup> radikalidir. Metodun ilerleyişinde ortama antioksidan ilave etmeden ilk olarak bu radikal katyonu oluşturmamız, ardından antioksidan ilave etmemiz gerekmektedir.

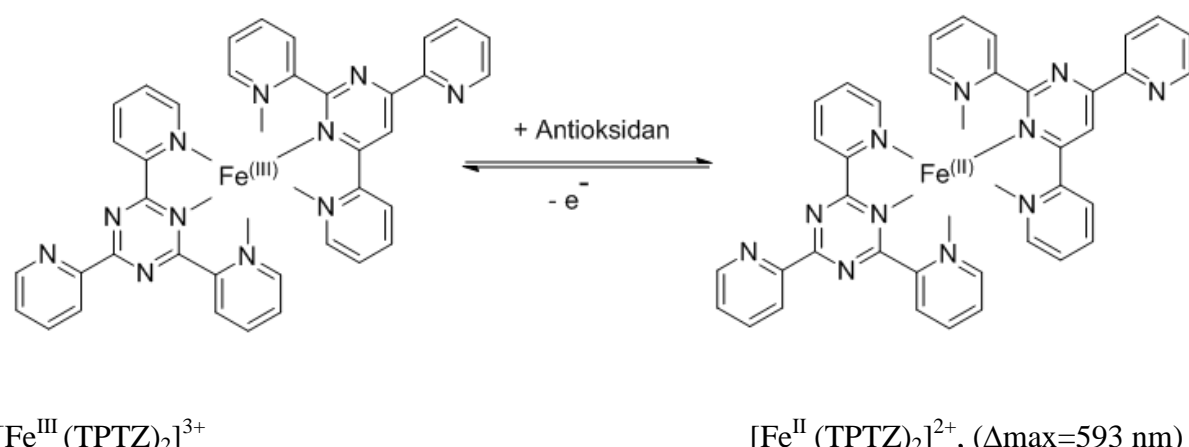
Tepkimeler sonucunda absorbans değeri spektrofotometrede azalma gösterir, daha sonra ise troloks eşdeğeri olarak hesaplama yapılır ve sonuç TEAC (trolox eşdeğeri antioksidan kapasite) değeri olarak verilir (5).



**Şekil 19. ABTS radikalinin antioksidan ile etkileşimi**

### 3-FRAP ( $\text{Fe}^{3+}$ İyonu İndirgeme Gücü) Metodu

Ferri iyonu indirgeme antioksidan potansiyeli olarak bilinen bir metottur. Yöntemin ilerleyişi şu şekildedir; düşük pH'da ( $\text{Fe}^{3+}$ -tripiridiltriazin) kompleksi antioksidanların varlığında ( $\text{Fe}^{2+}$ -tripiridiltriazin)'ye indirgenir (Şekil 20). Yöntemin hem avantajı hem dezavantajları mevcuttur. Yöntem basit ve kolay uygulanabildir ancak buna karşın koruyucu özelliğe sahip antioksidanlarla ilgili yeterli bilgi sağlayamamaktadır (15).



Şekil 20.  $\text{Fe}^{\text{III}}$  tuzlarının antioksidan ile etkileşimi

### 4-DPPH radikal giderme metodu

Bu metod radikal süpürme yeteneğine sahip antioksidanların etkinliğini tayin etmektedir. DPPH (2,2-difenil-1-pikrilhidrazil) stabil bir serbest radikaldır. Bu radikalın ortamındaki etanol varlığında rengi mordur. (Şekil 21).

Yöntemin ilerleyişi şu şekildedir; ölçüm alınmak istenen ortama DPPH çözeltisi eklenir, eğer ortamda antioksidan madde bulunuyorsa mor olan renk artık rengini sarı renge bırakır. Bu sarı renk bize difenilpikrilhidrazine dönüşüm olduğunu gösterir ve maksimum absorbans 515 nm'de ölçülür.

Tayin sonunda  $\text{EC}_{50}$  değeri elde edilir bu başlangıçta bulunan DPPH konsantrasyonunu %50 azaltabilmek için gereken antioksidan miktarıdır ve aynı zamanda antiradikal etkinlik olarak da adlandırılır.  $\text{EC}_{50}$  değeri ne kadar düşükse antioksidan kapasitesi o kadar güçlündür diye ifade edilir (19).



**Şekil 21. Antioksidan tarafından DPPH radikalının indirgenmesi**

### Diğer Metodlar

*In vitro* şartlarda antioksidanların serbest radikalleri yakalama kabiliyetlerinin ölçümü için bazı yöntemler kullanılmaktadır. Bunlar;  $\text{O}_2^\bullet$  radikalı giderme kapasitesi,  $\text{OH}^\bullet$  radikalı giderme kapasitesi ve peroksinitrit ( $\text{ONOO}^-$ ) giderici kapasitedir.

### Çalışmada Kullanılan Meyve ve Genel Özellikleri

*Sorbus* (üvez) L. cinsi gülgiller (Rosaceae) familyasında yer almaktadır. Ülkemizde doğal olarak yayılış gösteren 12 türü ve 17 taksonu vadır (33). Bunlardan en önemlileri üvez (*Sorbus domestica* L.), akçaağaç yapraklı üvez (*Sorbus torminalis*) ve kuş üvezi (*Sorbus aucuparia*)’dır. Ülkemizde yetişen *Sorbus* türleri farklı yörenlerde değişik isimlerle (eyvaz, ivaz, iveauz, övez gibi) anılmaktadır (12).

*Sorbus domestica* L. türü genel olarak 5-10 m yüksekliğinde olan, kışın yapraklarını döken, Mayıs-Haziran ayında beyaz renkli çiçekler açan bir ağaçtır (Şekil 22) ve (Şekil 23), (12).



**Şekil 22. Üvez (*Sorbus domestica* L.) meyveleri**

Türkiye'de Kuzey Anadolu'nun Batı bölümü, İç Anadolu'nun kuzeyi, Marmara bölgesi ve Trakya'da yabani olarak yetiştigi gibi, meyveleri için birçok bölgede bahçe tarımı da yapılmaktadır (13). Yayılış alanı içerisinde (1000-1300 m) kuraklığa oldukça dayanıklıdır.

Üvez meyvelerinde tanenler, uçucu yağlar, organik asitler, renk pigmentleri, fenolik asitler ve bunların türevleri bulunmaktadır. Bunlardan başlıcaları; benzoik asit türevleri, sinnamik asit türevleri, kafeik asit, ferulik asit ve klorojenik asittir. Meyvelerde bunlara ilaveten kuersetin, rutin gibi flavonoidler bulunmaktadır.



**Şekil 23. Üvezin (*Sorbus domestica* L.) yaprak ve çiçeği**

Üvez besin değeri yüksek bir meyvedir ve geleneksel olarak anti-diyabetik ajan şeklinde kullanılmaktadır. Kurutulan meyveleri diyabetin semptomlarına iyi geldiği için anti-diyabetik (hipoglisemik) ajan olarak tip-2 diyabette kullanılır.

Üvezin çeşitli kısımları modern tipta ve alternatif tipta oldukça çok kullanılmaktadır. Meyveleri ve yaprakları konstipasyon edici etkilerinden dolayı infüzyon (çay) halinde (%5'lik), yaprakları ise infüzyon (çay) halinde (%5'lik) şeker hastalığına karşı kullanılmaktadır (13).

Bu tez çalışmasında üvez meyvelinin ve çiçeklerinin antioksidan etkisinin olup olmadığı çeşitli metodlar kullanılarak incelenmiştir.

## **GEREÇ VE YÖNTEMLER**

### **GEREÇ**

#### **Bitki Örnekleri**

Deneyde kullanılan bitkisel materyal üvez, Kırklareli ilinin Babaeski ilçesinden Eylül ayında toplandı. Bitkilerin yaprakları, çiçekleri ve meyveleri birbirinden ayrıldıktan sonra derin dondurucada kullanılıncaya kadar bekletildi.

#### **Kimyasal Maddeler ve Ekipmanlar**

Analizlerde kullanılan kimyasal maddeler analitik saflıkta olup, Merc ve Sigma-Aldrich'ten satın alındı.

Çalışmalarda analitik terazi (presica X13 220A), çalkalamalı su banyosu (Clifton 100-400 rpm; termostatlı), spektrofotometre (Shimadzu UV-1601), pH-metre (WTW pH 3L5i), santrifüj (MSE Mistral 2000), soğutmalı santrifüj (Hettich 38 R), LC-MS/MS (Agilent Technologies 6420 Triple Quad), mikro pipetler ve eppendorflar kullanılan başlıca ekipmanlardır.

#### **Kullanılan Kimyasal Çözeltiler**

**% 2'lik Na<sub>2</sub>CO<sub>3</sub> Çözeltisi:** 2 g Na<sub>2</sub>CO<sub>3</sub> tartışarak destile su ile balon jojede 100 mL'ye tamamlandı.

**Folin-Ciocalteau Reaktifi:** Ticari olarak satın aldığı şekilde kullanıldı.

**% 5'lik Sodyum Nitrit Çözeltisi:** 5 g NaNO<sub>2</sub> tartılarak balon pojede destile su ile 100 mL'ye tamamlandı.

**% 10'luk Al(NO<sub>3</sub>)<sub>3</sub>.9H<sub>2</sub>O Çözeltisi:** 10 g Al(NO<sub>3</sub>)<sub>3</sub>.9H<sub>2</sub>O tartılarak balon pojede destile su ile 100 mL'ye tamamlandı.

**% 4.3'lük NaOH Çözeltisi:** 4.3 g NaOH tartılarak balon pojede destile su ile 100 mL'ye tamamlandı.

**0.1 M Fosfat Tamponu (pH=7.4):** KH<sub>2</sub>PO<sub>4</sub> (13.609 g/L) ve Na<sub>2</sub>HPO<sub>4</sub> (14.196 g/L) çözeltilerinin pH= 7.4 olacak şekilde (yaklaşık 60/225 mL oranında) karıştırılması ile hazırlandı.

**40 mM H<sub>2</sub>O<sub>2</sub> Çözeltisi:** 0.409 mL H<sub>2</sub>O<sub>2</sub> alınarak balon pojede 0.1 M fosfat tamponu (pH=7.4) ile 100 mL'ye tamamlandı.

**0.2 M Fosfat Tamponu (pH=6.6):** KH<sub>2</sub>PO<sub>4</sub> (27.218 g/L) ve Na<sub>2</sub>HPO<sub>4</sub>.2H<sub>2</sub>O (35.598 g/L) çözeltilerinin pH=6.6 olacak şekilde karıştırılması ile hazırlandı.

**1 mM DPPH Çözeltisi:** 0.01972 g DPPH tartılarak etanolde çözüldü ve balon pojede 100 mL'ye tamamlandı. (Günlük hazırlanır ve ışıktan korunur.)

**% 1'lik K<sub>3</sub>Fe(CN)<sub>6</sub> Çözeltisi:** 1 g K<sub>3</sub>Fe(CN)<sub>6</sub> tartılarak balon pojede destile su ile 100 mL'ye tamamlandı.

**% 10'luk TCA Çözeltisi:** 10 g Trikloroasetik asit tartılarak destile suda çözüldü ve balon pojede 100 mL'ye tamamlandı.

**% 0.1'lük FeCl<sub>3</sub> Çözeltisi:** 0.1666 g FeCl<sub>3</sub>.6H<sub>2</sub>O tartılarak destile suda çözüldü ve balon pojede 100 mL'ye tamamlandı.

**2 mM FeCl<sub>2</sub> Çözeltisi:** 0.0398 g FeCl<sub>2</sub>.4H<sub>2</sub>O tartılarak destile suda çözüldü ve balon pojede 100 mL'ye tamamlandı.

**5 mM Ferrozin Çözeltisi:** 0.0616 g Ferrozin tartılarak destile suda çözüldü ve balon pojede 25 mL'ye tamamlandı.

**156 µM NBT (Nitrotetrazoliumblue klorür) Çözeltisi:** 0.0128 g NBT tartılarak 0.1 M fosfat tamponunda (pH=7.4) çözüldü ve balon pojede 100 mL'ye tamamlandı.

**468  $\mu$ M NADH (Nikotin amid adenin di nükleotid) Çözeltisi:** 0.0332 g NADH tartılarak 0.1 M fosfat tamponunda (pH=7.4) çözüldü ve balon pojede 100 mL'ye tamamlandı.

**60  $\mu$ M PMS (Phenozinemetha sülfat) Çözeltisi:** 0.0018 g PMS tartılarak 0.1 M fosfat tamponunda (pH=7.4) çözüldü ve balon pojede 100 mL'ye tamamlandı.

**4 mM Amonyum Molibdat Çözeltisi:** 0.2964 g Amonyum molibdat tartılarak destile suda çözüldü ve balon pojede 60 mL'ye tamamlandı.

**28 mM Sodyum Fosfat Çözeltisi:** 0.2754 g Sodyum fosfat tartılarak destile suda çözüldü ve balon pojede 60 mL'ye tamamlandı.

**0.6 M Sülfürik Asit Çözeltisi:** 1.9 mL der.  $H_2SO_4$  (18.76 M) çözeltisinden alınarak içinde bir miktar destile su bulunan 60 mL'lik balon pojeye aktarıldı ve destile su ile tamamlandı.

**Belirteç Çözeltisi:** Eşit miktarlarda alınan amonyum molibdat, sodyum fosfat ve sülfürik asit çözeltilerinin karıştırılmasıyla hazırlandı.

**% 80'lik Aseton Çözeltisi:** 40 mL saf aseton alınarak destile su ile balon pojede 50 mL'ye tamamlandı.

**7 mM ABTS Çözeltisi:** 8 mg ABTS tartılıp 1 mL suda çözülür. 13.2 mg potasyum persülfat tartılıp 10 mL suda çözülür. Çözeltilerden 0.5'er mL karıştırılır ve 12-16 saat oda sıcaklığında karanlıkta bekletilir. ABTS çözeltisi kullanılmadan önce absorbansı 734 nm'de  $0.7 \pm 0.025$  olacak şekilde 0.1 M fosfat tamponuyla (pH=7.4) seyreltildi.

**% 4'lük Vanilin-Metanol Çözeltisi:** 2 g vanilin tartılıp 50 mL'ye metanolle tamamlandı.

**0.04 M Fosfat Tamponu (pH=7):**  $KH_2PO_4$  (5.44 g/L) ve  $Na_2PO_4$  (5.68 g/L) çözeltileri pH=7 olacak şekilde karıştırıldı.

**Linoleik Asit Emülsiyonu:** 175 mg Tween-20 ve 155  $\mu$ L linoleik asidi fosfat tamponuyla 50 mL'ye tamamlayarak hazırlandı.

**% 75'lik Etanol Çözeltisi:** 375 mL saf etil alkol alınarak destile su ile balon pojede 500 mL'ye seyreltildi.

**% 30'luk NH<sub>4</sub>SCN Çözeltisi:** 30 g NH<sub>4</sub>SCN tartılarak destile suda çözüldü, balon jojede 100 mL'ye tamamlandı.

**% 3.5'luk HCl Çözeltisi:** 9.46 mL der. HCl (%37'lik) çözeltisinden pipetle alınarak içinde bir miktar destile su bulunan 100 mL'lik balon jojeye aktarıldı ve destile su ile tamamlandı.

**20 mM FeCl<sub>2</sub> Çözeltisi:** 0.398 g FeCl<sub>2</sub>.4H<sub>2</sub>O tartılarak %3.5'luk HCl ile balon jojede 100 mL'ye tamamlandı.

**0.2 M Fosfat Tamponu (pH=7.4):** KH<sub>2</sub>PO<sub>4</sub> (27.218 g/L) ve Na<sub>2</sub>HPO<sub>4</sub>.2H<sub>2</sub>O (35.598 g/L) çözeltilerinin pH=7.4 olacak şekilde karıştırılması ile hazırlandı.

**10 mM 2-deoksiriboz Çözeltisi:** 0.1341 g 2-deoksiriboz tartılarak destile suda çözüldü ve balon jojede 100 mL'ye tamamlandı.

**10 mM FeSO<sub>4</sub>-EDTA Çözeltisi:** 0.5702 g FeSO<sub>4</sub>-EDTA tartılarak destile suda çözüldü ve balon jojede 100 mL'ye tamamlandı.

**10 mM H<sub>2</sub>O<sub>2</sub> Çözeltisi:** 0.102 mL H<sub>2</sub>O<sub>2</sub> alınarak balon jojede 0.1 M fosfat tamponu (pH=7) ile 100 mL'ye tamamlandı.

**% 2.8'lik TCA Çözeltisi:** 2.8 g Trikloro asetik asit tartılarak destile suda çözüldü ve balon jojede 100 mL'ye tamamlandı.

**50 mM NaOH Çözeltisi:** 0.2 g NaOH tartılıp destile suda çözüldü ve balon jojede 100 mL'ye tamamlandı.

**% 1'lik TBA Çözeltisi:** 1 g tiyobarbütrik asit tartılıp destile suda çözüldü ve balon jojede 100 mL'ye tamamlandı.

**10<sup>-2</sup> M CuCl<sub>2</sub> Çözeltisi:** CuCl<sub>2</sub>.2H<sub>2</sub>O'den 0.4262 g tartılarak destile su ile 250 mL'ye tamamlanarak hazırlandı.

**Amonyum asetat tamponu:** 1 M (pH=7), NH<sub>4</sub>Ac'den 19.27 g tartılarak destile su ile 250 mL'ye tamamlanarak hazırlandı.

**Neokuproin çözeltisi:** 7.5×10<sup>-3</sup> M, Neokuproin (2.9 dimetil 1-10 fenantrolin)'den 0.039 g tartılarak %96'lık etil alkol ile 25 mL'ye tamamlanarak hazırlandı.

## KULLANILAN YÖNTEMLER

### **Ekstraktların Hazırlanışı**

Derin dondurucudan alınan taze bitki materyali blender yardımıyla öğütülkerek homojenize hale getirildi, aseton ve su çözücüleri kullanılarak ekstraktlar hazırlandı.

Aseton ekstraksiyonu için 25'er g meyve ve çiçek 500 mL çözücü içinde oda sıcaklığında çalkalamalı su banyosunda 100-150 rpm'de 3 saat inkübe edildi. Elde edilen ekstraktlar, süzgeç kağıdında süzüldü ve süzüntülerin çözücüleri evaporatörde 40 °C' de uçuruldu.

Su ekstraksiyonu için 25 g meyve, 500 mL suda 30 dk boyunca manyetik karıştırıcıda ısıtılarak karıştırdı. Elde edilen su ekstraktları süzgeç kağıdından süzüldü ve süzüntü liyofilize edildi.

Ekstrelerin susuz kalıntıları 0.001 g'luk porsiyonlara ayrılarak eppendorflara konuldu ve kullanılıncaya kadar derin dondurucuda muhafaza edildi.

### **Toplam Fenolik Bileşik Tayini (TPC)**

Üvez (*Sorbus domestica* L.) meyvesi ve çiçeklerinin su ve aseton ekstrelerinde bulunan toplam fenolik madde içerikleri Slinkard ve Singleton tarafından modifiye edilen Folin-Ciocalteu metoduna (FCR) göre belirlenmiştir (61). FC reaktifi fosfotungistik ( $H_3PW_{12}O_{40}$ ) ve fosfomolibdik ( $H_3PMo_{12}O_{40}$ ) asitlerin karışımı olup fenol oksidasyonu sırasında bu oksitler mavi renkli bileşiklere indirgenir. Bu renk değişimi polifenolik bileşik miktarı ile doğru orantılı olup 760 nm'de spektrofotometrede takip edilir.

Bitkilerin 1000 µg/mL konsantrasyonlarında hazırlanan aseton ve su ekstraktlarından 1 mL alındı. Destile suyla hacimler 46 mL'ye tamamlandıktan sonra 1 mL Folin beliteci eklendi. 3 dakika sonra % 2'lik  $Na_2CO_3$  çözeltisinden 3 mL katılarak oda şartlarında 2 saat çalkamalı su banyosunda 150 rpm'de tutuldu. Örnek yerine destile su içeren şahit denemeye karşı, 760 nm'de absorbans ölçüldü.

50-250 µg/mL olacak şekilde hazırlanan standartlar (gallik asit ve pirokateşol) için grafikler çizildi. Okunan absorbans ile konsantrasyon arasında çizilen grafiklerin denklemlerinden ekstraktların toplam fenolik madde miktarları g ekstract başına mg olarak hesaplandı.

## **Toplam Flavonoid İçerığının Tayini**

Bitkilerin su ve aseton ekstraktlarının bulunan toplam flavonoid madde içeriği Zihishen ve arkadaşlarının uygulamış olduğu metoda göre belirlendi (70).

Bitkilerin 1000 µg/mL konsantrasyonlarında hazırlanan su ve aseton ekstraktlarından 10 mL alındı. Üzerine 1 mL %5'lik sodyum nitrit ilave edilerek 6 dk bekletildi ve flavonoid-alüminyum kompleksi oluşturmak için 1 mL %10'luk alüminyum nitrat eklendi. 6 dk sonra 10 mL %4.3'lük NaOH ilave edildi ve toplam hacim destile su ile 25 mL'ye tamamlandı. Oda sıcaklığında 15 dk sonra son çözelti iyici karıştırıldı ve 510 nm'de şahite karşı absorbansı ölçüldü.

Standart olarak kullanılan 50-250 µg/mL konsantrasyondaki gallik asit ve kuersetin için de aynı deneme yapıldı. Okunan absorbans ile konsantrasyon arasında çizilen grafiklerin denklemlerinden, örneklerin toplam flavonoid madde miktarları mg gallik asit/g taze ekstrakt ve mg kuersetin/g taze ekstrakt olarak tanımlandı.

## **Demir (II) İyonlarını Şelatlama Aktivitesinin Tayini**

Farklı konsantrasyonlardaki ekstraktların Fe<sup>2+</sup> iyonlarını şelatlama aktivitesi Oyaizu ve arkadaşlarının metoduna göre yapıldı (48). Metod Fe<sup>2+</sup> iyonlarını bağlamak üzere, güçlü bir demir şelatlayıcı olan ferrozin reaktifi ile ortamda bulunan metal bağlayıcı bileşiklerin yarışmasına dayanır. Şelatlama gücü yüksekse kırmızı renkli Fe<sup>2+</sup>/ferrozin kompleksinin oluşumu engellenir.

0.4 mL ekstrakta 0.05 mL 2 mM FeCl<sub>2</sub> çözeltisi eklendi. Reaksiyon 0.2 mL 5mM Ferrozin çözeltisi ilave edilerek başlatıldı. Toplam hacim etanolle 4 mL'ye ayarlandı. Sonra karışım vorteksle hızlıca karıştırılıp 10 dk oda sıcaklığında bekletildi.

Bu süre sonunda absorbansları 562 nm'de okundu. Kontrol; ferrozin ve FeCl<sub>2</sub> içermektedir. Standart olarak askorbik asit, EDTA, BHA ve BHT kullanıldı. Aşağıdaki denkleme göre % metal şelatlama etkisi değeri hesaplandı.

$$\text{Metal şelatlama (\%)} = [ (A_{\text{kontrol}} - A_{\text{örnek}}) / A_{\text{kontrol}} ] \times 100$$

A<sub>kontrol</sub>: Kontrolün absorbansı

A<sub>örnek</sub> : Örnek ya da standartların absorbansı

## **DPPH• Radikal Giderme Aktivitesinin Tayini**

Serbest radikal yakalama etkinliği deneyi DPPH• (1,1 difenil-2-pikrilhidrazil) radikalı kullanılarak Blois'in metoduna göre çalışıldı (17). Metod ekstraktların bir proton veya bir elektron verebilme yeteneğinin, mor renkli DPPH çözeltisinin rengini açması esasına dayanır. Reaksiyon karışımının absorbansının düşmesi yüksek serbest radikal giderme aktivitesinin göstergesidir.

Ekstraktlar ve standartlar 50-250 µg/mL konsantrasyonlarında hazırlandı. 3 mL 0.1 mM DPPH üzerine farklı konsantrasyonlardaki ekstrakt ve standart çözeltilerden 1 mL eklendi. Vortexle karıştırıldıktan sonra oda şartlarında karanlıkta 30 dk bekletildi. 517 nm'de absorbansları okundu. Kontrol olarak sadece etil alkol kullanıldı. Standart olarak askorbik asit, BHA, BHT, α-tokoferol kullanıldı. Aşağıdaki denkleme göre % DPPH• yakalama etkisi değerleri hesaplandı.

$$\text{DPPH• yakalama etkisi (\%)} = [ (A_{\text{kontrol}} - A_{\text{örnek}}) / A_{\text{kontrol}} ] \times 100$$

$A_{\text{kontrol}}$  = Kontrolün absorbansı

$A_{\text{örnek}}$  = Örnek ya da standartların absorbansı

## **H<sub>2</sub>O<sub>2</sub> Giderme Aktivitesinin Tayini**

Ekstraktların H<sub>2</sub>O<sub>2</sub> giderme aktivitesinin tayini Ruch ve arkadaşlarının belirledikleri metoda göre yapıldı (59). Reaksiyon ortamına eklenen belirli mikardaki hidrojen peroksit çözeltisinin ekstrakt tarafından giderilmesi 230 nm'deki absorbans değişimiyle ölçülür.

3.4 mL fosfat tamponu (100 mM pH=7.4) ve 0.6 mL H<sub>2</sub>O<sub>2</sub> çözeltisine (100 mM, pH=7.4 fosfat tamponunda 40 mM) 1 mL ekstrakt ilave edildi. Absorbans 10 dk sonra 230 nm'de okundu. Kontrol; fosfat tamponu (100 mM, pH=7.4) ve H<sub>2</sub>O<sub>2</sub> çözeltisi içermektedir. Standart olarak askorbik asit, BHA, BHT ve α-tokoferol kullanıldı. Ekstraktlar ve standartlar 50-250 µg/mL konsantrasyonlarında hazırlandı. Aşağıdaki denkleme göre % H<sub>2</sub>O<sub>2</sub> giderme etkisi değerleri hesaplandı.

$$\text{H}_2\text{O}_2 \text{ giderme etkisi (\%)} = [ (A_{\text{kontrol}} - A_{\text{örnek}}) / A_{\text{kontrol}} ] \times 100$$

$A_{\text{kontrol}}$  = Kontrolün absorbansı

$A_{\text{örnek}}$  = Örnek ya da standartların absorbansı

## **Toplam Ferrik İyonlarını ( $\text{Fe}^{3+}$ ) İndirgeme Kapasitesinin Tayini**

Ekstraktların toplam indirgeme kapasitesi tayini Oyaizu metoduna göre yapıldı (48). Ortamda indirgen madde,  $\text{Fe}^{3+}$  iyonlarını  $\text{Fe}^{2+}$  iyonlarına indirger ve  $\text{FeCl}_3$  ilavesiyle oluşan Prusya mavisi renginde olan kompleksin absorbansı ölçülür. Yüksek absorbans değeri yüksek indirgeme kapasitesinin göstergesidir.

1 mL ekstrakta, 2,5 mL fosfat tamponu (0,2 M, pH=6,6) ve 2,5 mL %1'lik  $\text{K}_3\text{Fe}(\text{CN})_6$  eklendi. Karışım 50 °C'de 20 dk inkübe edildikten sonra 2,5 mL %10'luk TCA ilave edildi ve 2000 rpm'de 10 dk santrifüj yapıldı. Santrifüj sonrası çözeltinin üst tabakasından 2,5 mL alınarak 2,5 mL destile su ve 0,5 mL %1'lik  $\text{FeCl}_3$  çözeltisi ile karıştırıldı. 700 nm'de absorbanslar ölçüldü. Standart olarak askorbik asit, BHA, BHT ve  $\alpha$ -tokoferol kullanıldı.

## **Süperoksit Anyon Radikalini Giderme Aktivitesinin Tayini**

Ekstraktların süperoksit anyon radikalini giderme aktivitesi, nitrobluetetrazolium ürününün spektrofotometrik ölçümüyle belirlendi (47). Deney koşullarında NADH/PMS/O<sub>2</sub> sistemi ile üretilen süperoksit radikalı sarı renkli olan NBT'yi mavi-mor renkli formazon türevine indirger. Düşük absorbans değerleri süperoksit radikalini gideren bileşiklerden dolayıdır.

1 mL 156  $\mu\text{M}$  NBT çözeltisi (0,1 M, pH=7,4 fosfat tamponunda) ve 1 mL 468  $\mu\text{M}$  NADH çözeltisi (0,1 M, pH=7,4 fosfat tamponunda) ve 1 mL ekstrakt veya standartlar karıştırıldı. Karışma 10  $\mu\text{L}$  60  $\mu\text{M}$  PMS çözeltisi (0,1 M, pH=7,4 fosfat tamponunda) ilave edilerek reaksiyon başlatıldı. Karışım 25 °C'de 5 dk inkübe edildi ve absorbansı 560 nm'de ölçüldü. Standart olarak askorbik asit, BHA ve BHT kullanıldı. Kontrol çözeltisine ekstraktlar yerine 1 mL su ilave edilerek aynı işlemler yapıldı. Ekstraktlar ve standartlar 50-250  $\mu\text{g/mL}$  konsantrasyonlarında hazırlandı. Aşağıdaki denkleme göre % inhibisyon değerleri hesaplandı.

$$\% \text{ inhibisyon} = [ (\text{A}_{\text{kontrol}} - \text{A}_{\text{örnek}}) / \text{A}_{\text{kontrol}} ] \times 100$$

$\text{A}_{\text{kontrol}}$ = Kontrolün absorbansı

$\text{A}_{\text{örnek}}$ = Örnek ya da standartların absorbansı

## **ABTS•<sup>+</sup> Radikal Giderme Aktivitesinin Tayini**

Ekstraktların ABTS•<sup>+</sup> radikal giderme aktivitesi Re ve arkadaşlarının metoduna göre belirlendi (55).

ABTS•<sup>+</sup> radikali, 7 mM ABTS çözeltisi ve 2,45 mM potasyum persülfat çözeltisi arasındaki reaksiyonla oluşturuldu. Oda sıcaklığında 12 saat karanlıkta bekletildi. Kullanmadan önce fosfat tamponuya (0,1 M, pH=7,4) absorbans 734 nm'de 0,7±0,025 olacak şekilde seyreltildi. 3 mL ABTS çözeltisi, 1 mL ekstrakt (veya standart) eklendi. 30 dk sonra 734 nm'de absorbans okundu. Aşağıdaki denkleme göre % inhibisyon değerleri hesaplandı. Burada,

$$\% \text{ İnhibisyon} = [(A_{\text{kontrol}} - A_{\text{örnek}}) / A_{\text{kontrol}}] \times 100$$

$A_{\text{kontrol}}$ = Kontrolün absorbansı

$A_{\text{örnek}}$ = Örnek ya da standartın absorbansı

### **Fosfomolibden Metodu ile Toplam Antioksidan Tayini**

Ekstraktların toplam antioksidan kapasiteleri Prieto ve arkadaşlarının metoduna göre belirlendi (52).

Ekstrakt ve standart çözeltilerin 50-250 µg/mL konsantrasyonlarından 0,4 mL alınıp, amonyum molibdat (4mM), sodyum fosfat (28 mM) ve sülfürik asit (0,6 M) içeren belirteç çözeltisinden 3,6 mL ilave edilerek karıştırıldı. Reaksiyon karışımı su banyosunda 90 °C'de 90 dk inkübe edildi. Soğutuluktan sonra fosfomolibden kompleksinin absorbansı kontrole karşı 695 nm'de ölçüldü.

Standart olarak askorbik ve α-tokoferol kullanıldı. Askorbik asit için yapılan denemeden okunan absorbans ile konsantrasyon arasında çizilen grafik denkleminde ekstraktların antioksidan aktiviteleri askorbik asit ekivalenti (mg Askorbik asit/g ekstrakt) olarak ifade edildi.

### **Antosiyinan Tayini**

Ekstraktlarının antosiyinan tayini Smidova ve arkadaşlarının metoduna göre belirlendi (62).

1000 µg/mL konsantrasyonlarındaki ekstraktların 0,5 mL'sine, 3 mL Vanilin-metanol (%4'lük v/v) çözeltisi ilave edildi. Daha sonra 1,5 mL %37'lik HCl eklendi. Son karışım oda sıcaklığında 15 dk bekletildikten sonra absorbansı 500 nm'de ölçüldü. Standart olarak kateşin kullanıldı. 50-250 µg/mL konsantrasyonlarındaki kateşin denemelerinden okunan absorbanslar ile absorbans-konsantrasyon grafiği oluşturuldu. Bitki ekstraktlarının antosiyinan miktarı mg kateşin ekivalent/g ekstrakt olarak hesaplandı.

## **Linoleik Asit Sisteminde Ferrik Tiyosiyonat (FTC) Metodu ile Toplam Antioksidan Aktivite Tayini**

Bu metodda *in vitro* koşullarda linoleik asit oksidasyonu oluşturulur ve yöntem oksidasyon sonucu oluşan peroksitleri ölçme esasına dayanır. Belirli aralıklarla inkübasyondaki karışımından örnek alınarak spektrofotometrik ölçüm ile peroksitlerin oluşumu takip edilir. Yüksek absorbans değeri yüksek peroksit konsantrasyonunu ifade eder. Analiz Pan vd. (2007), Mitsuda vd. (1966)'nin uyguladığı yöntemler modifiye edilerek uygulanmıştır (45).

Bitki ekstraktları ve standart çözeltilerinin 1 mL'sine 1,5 mL fosfat tamponu (0,04 mM, pH=7.4) ve 2,5 mL linoleik asit emülsyonu eklendi. Çözeltiler karıştırıldıktan sonra 37 °C'de karanlıkta inkübe edildi. 12 saatte bir çözeltilerden 0.1 mL alınıp üzerine 3.7 mL %75'lik etil alkol ve 0.1 mL %30'luk NH<sub>4</sub>SCN eklendi. 3 dk sonra reaksiyon karışımılarına 0.1 mL FeCl<sub>2</sub> (20 mM) çözeltisi eklendi. 5 dk sonra oluşan rengin absorbansı 500 nm'de okundu. Oluşan peroksitler Fe<sup>2+</sup> iyonlarını Fe<sup>3+</sup>'e yükseltter. Oluşan Fe<sup>3+</sup>tiyosiyonat ile reaksiyona girerek 500 nm'de maksimum renge sahip bir kompleks oluşturur. Kontrol, antioksidan madde içermeyip 2.5 mL fosfat tamponu (0.04 M, pH=7) ve 2.5 mL linoleik asit emülsyonu içerir. Ekstract ve standartlar 50-250 µg/mL konsantrasyonlarında hazırlandı. Standart olarak askorbik asit, BHA, BHT ve α-tokoferol kullanıldı.

$$\text{Lipid peroksidasyonu inhibisyonu (\%)} = [1 - (A_{\text{örnek}} / A_{\text{kontrol}})] \times 100$$

Burada A<sub>kontrol</sub>, kontrolün maksimuma ulaştığı anda verdiği absorbans değeri, A<sub>örnek</sub> ise ekstract ya da standartların maksimuma ulaştığı andaki absorbans değerini ifade eder.

## **Hidroksil Radikal Giderme Aktivitesi**

Ekstractların hidroksil radikal giderme aktivitesi Bajpai ve arkadaşlarının metoduna göre belirlendi (8).

450 µL 0.2 M sodyum fosfat tamponu (pH=7.4), 150 µL 10 mM 2-deoksiriboz, 150 µL 10 mM FeSO<sub>4</sub>-EDTA, 525 µL destile su ve 75 µL ekstract çözeltisinden (50, 100, 150, 200, 250 µg/mL) ibaret olan reaksiyon karışımına 150 µL 10 mM H<sub>2</sub>O<sub>2</sub> ilave edilerek reaksiyon başlatıldı. 37 °C'de 4 saat inkübasyondan sonra sırasıyla 750 µL %2.8'lik TCA ve 50 mM NaOH'deki %1'lik TBA çözeltisinden 750 µL ilave edildi ve tüpler 10 dk kaynatıldı. Soğutulduktan sonra 520 nm'de kontrole karşı absorbans değeri okundu. Ekstract çözeltisi

yerine destile su içeren reaksiyon karışımı kontrol olarak kullanıldı. Standart olarak askorbik asit (50, 100, 150, 200, 250 µg/mL) kullanıldı.

Hidroksil radikal giderme aktivitesi (% inhibisyon) aşağıdaki formül yardımıyla hesaplandı.

$$\text{Hidroksil radikal giderme aktivitesi (\%)} = [(\text{A}_{\text{kontrol}} - \text{A}_{\text{örnek}}) / \text{A}_{\text{kontrol}}] \times 100$$

$\text{A}_{\text{kontrol}}$  = Kontrolün absorbansı

$\text{A}_{\text{örnek}}$  = Ekstrakt ya da standartların absorbansı

### **Bakır İyonlarını İndirgeme Potansiyeli (CUPRAC Metodu)**

Bitki ekstraktlarının bakır iyonlarını indirgeme gücü Cardenas ve arkadaşlarının metoduna göre belirlendi (20). Bitki ekstraktları ve standartların 50-250 µg/mL konsantrasyonları kullanıldı.

Metotta öncelikle her bir deney tüپüne 1 mL 10 mM CuCl<sub>2</sub>, 1 mL 7.5 mM neokuproin, NH<sub>4</sub>Ac tamponu (1 M, pH=7.0) çözeltisi eklenir. Daha sonra her tüpe farklı konsantrasyonlardaki ekstraktlardan 0,5 mL eklenip, toplam hacim 4.1 mL olacak şekilde saf su ilave edildi. Tüpler ağızları kapalı bir biçimde oda sıcaklığında karanlıkta 30 dakika bekletildi. Aynı işlemler aynı konsantrasyonlarda hazırlanan askorbik asit çözeltileri içinde yapıldı. Bu süre sonunda absorbansları 450 nm'de okundu. Testin sonuçları EC<sub>50</sub> değerleri kullanılarak da değerlendirildi.

### **LC-MS/MS Yöntemi ile Fenolik Madde Analizi**

Çalışmada LC-MS/MS (Yüksek Performanslı Sıvı Kromatografisi/ Sıralı Kütle Spektrofotometresi) olarak Agilent Technologies 6460 Triple Quad kullanılmıştır.

Bir LC-MS/MS sistemi, bir elektrosprey iyonlaştırıcı kaynak ile donatılmış bir kütle spektrometresi ile birleştirilen ikili pompa ve otomatik örnekleyiciden oluşmaktadır. Reverse faz LC ayırmı Agilent Zorbax SB-C8 kolonu kullanılarak gerçekleştirildi ve koruma kartuşu kullanılarak koruma sağlandı (67).

Kütle spektrometresi aşağıdaki parametrelerle negatif iyon modunda çalıştırıldı; kapiler voltaj 3.0kv, koni voltajı 20v; ve ekstraktör 2v. Kaynak sıcaklığı 100 derece, desolvasyon sıcaklığı 350 derece, koni gaz akış hızı 30l/sa ve desolvasyon gaz akış hızı 350l/sa. Mobil faz bileşenleri; %0.1'lik formik asit ve asetonitril. Enjeksiyon hacmi 10 mL ve kolonun sıcaklığı 25 °C. Mobil fazın akış hızı 0.300mL/dakikadır.

2,5-dihidroksibenzoik asit, 2-hidroksitrans sinnamik asit, absisik asit, kafeik asit, kateşin, klorojenik asit, ellagik asit, epikateşin, etilgallat, gallik asit, gibberallik asit, indol-3-asetik asit, izo-hamnetin, kamferol, jasmonik asit, kumarin, lutolein, mirisetin, naringin, p-kumarik asit, piropil gallat, protokatekuik asit, quersetin, resveratrol, rutin, salisilik asit, sinapik asit, siringik asit, trans ferulik, glutatyon, okside glutatyon kullanılan standart maddelerdir.

Yöntem kullanılan standart maddeler yardımıyla analizi yapılan üvez meyvesinin hangi fenolik bileşikleri içerdigi ve bunların miktarlarını tayin etmede kullanılmaktadır.

### **Klorofil Tayini**

Üvez yaprağının klorofil içeriği Arnon tarafından modifiye edilen metoda göre belirlendi (6).

100 mg kurutulmuş yaprak, eser miktardaki  $\text{CaCO}_3$  ve 6 mL soğuk asetonla (%80'lük) homojenize edildi. Yaprak homojenatları 20 dk boyunca 15 °C'de 3500 rpm'de santrifüjlendi. Süpernatantların yaklaşık olarak 4,8-5,8 mL'si alındı. Toplam klorofil içeriği, süpernatantların 645 ve 663 nm'de absorbanslarının ölçümü ile belirlendi.

Bitkilerin klorofil a, klorofil b ve toplam klorofil içerikleri aşağıdaki formüllere göre mg/kg cinsinden hesaplandı.

$$\text{Klorofil a miktarı (mg/kg)} = 12.7 \times A_{663} - 2.69 \times A_{645}$$

$$\text{Klorofil b miktarı (mg/kg)} = 22.9 \times A_{645} - 4.68 \times A_{663}$$

$$\text{Toplam klorofil miktarı (mg/kg)} = 20.2 \times A_{645} + 8.02 \times A_{663}$$

### **İstatistik Analizler**

Deneylerde üç paralel ölçüm alındı ve standart sapmalar hesaplandı. Grafikler MATLAB 2017 programında çizildi.

## BULGULAR

Üvez meyvesi için aseton ve su ekstraktlarının, çiçeği için aseton ekstraktlarının antioksidan özellikleri çeşitli metodlar kullanılarak incelendi.

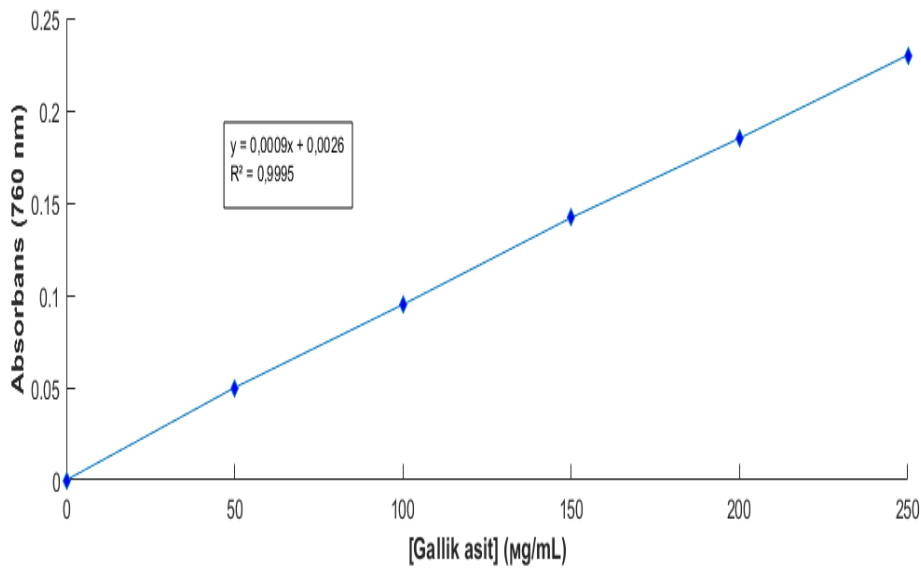
Üvez meyvesiyle hazırlanan aseton ve su ekstraktlarında bileşiklerin verimleri taze ekstrakt cinsinden sırasıyla 148.37, 327.36 mg/g olarak, çiçeği ile hazırlanan aseton ekstraktının veriminin 61.708 mg/g olarak hesaplandı. Tablo 2'de görüldüğü üzere en yüksek verimin su ekstraktında olduğu sonucuna varılmıştır.

**Tablo 2. Üvezin ekstrakt verimleri**

<b>Ekstrakt</b>	<b>Meyve-Su</b>	<b>Çiçek-Aseton</b>	<b>Meyve-Aseton</b>
<b>Ham Madde (g)</b>	25	25	25
<b>Ekstraksiyon Verimi (mg)</b>	327.36	61.708	148.37
<b>Ekstraksiyon Verimi (%)</b>	32.736	6.170	14.837

## TOPLAM FENOLİK BİLEŞİK (TPC) TAYİNİ

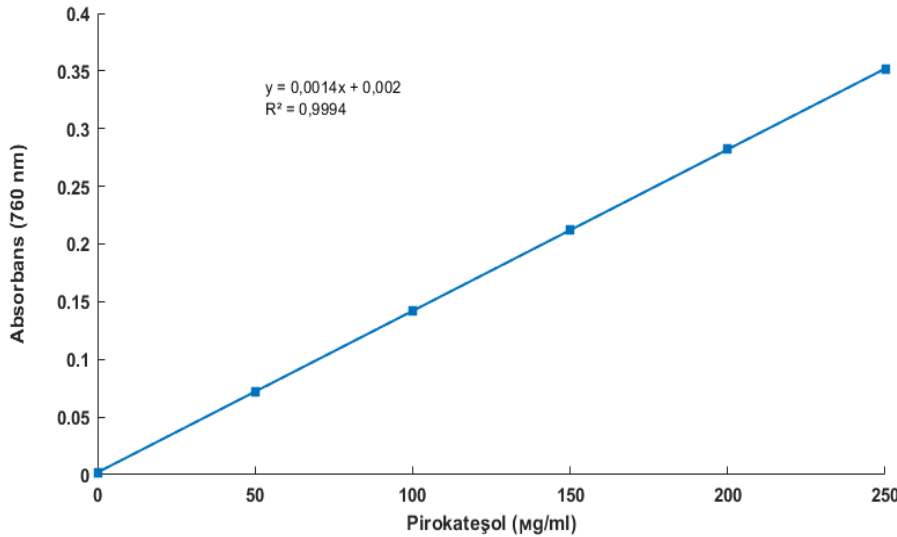
Üvez meyvesinin aseton ve su ekstraktları ve çiçeğinin aseton ekstraktında bulunan toplam fenolik bileşikleri tayin etmek amacıyla Folin-Ciocalteu reaktifi (FCR) kullanıldı. Standart grafikler gallik asit ve pirokateşol ile hazırlandı (Şekil 24 ve Şekil 25). Ekstraktların içerdiği toplam fenolik bileşik miktarları gallik asit eşdeğeri (GAE) ve pirokateşol eşdeğeri (PKE) ekivalenti olarak saptandı.



**Şekil 24. Gallik asit standart grafiği**

Gallik asit standart grafiği denklemi  $y=0,0009x+0,0026$  bulundu hesaplama aşağıdaki formüle göre yapıldı.

$$\text{Absorbans}_{(760 \text{ nm})} = 0.0009 \text{ [Gallik Asit]} + 0.0026$$



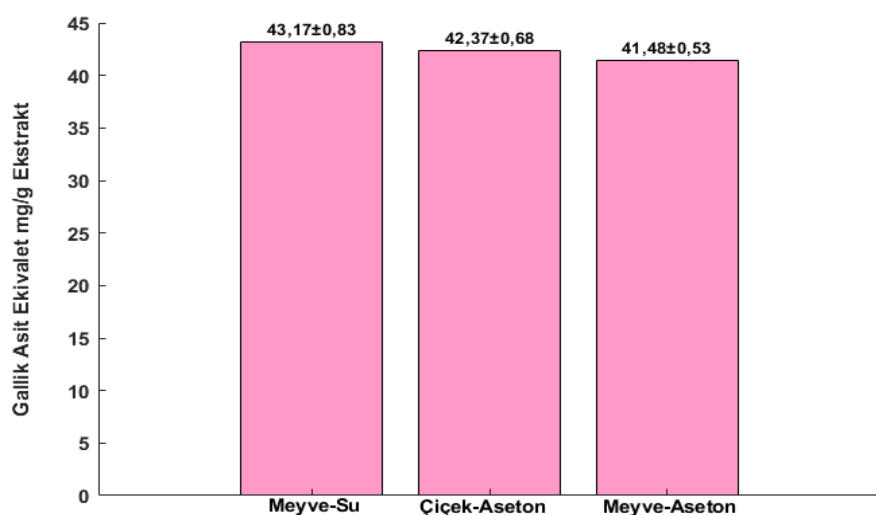
**Şekil 25. Pirokateşol standart grafiği**

Pirokateşol standart grafiği denklemi  $y=0,0014x+0,002$  bulundu ve hesaplama aşağıdaki formüle göre yapıldı

$$\text{Absorbans}_{(760\text{nm})} = 0.0014 \text{ [Pirokateşol]} + 0.002$$

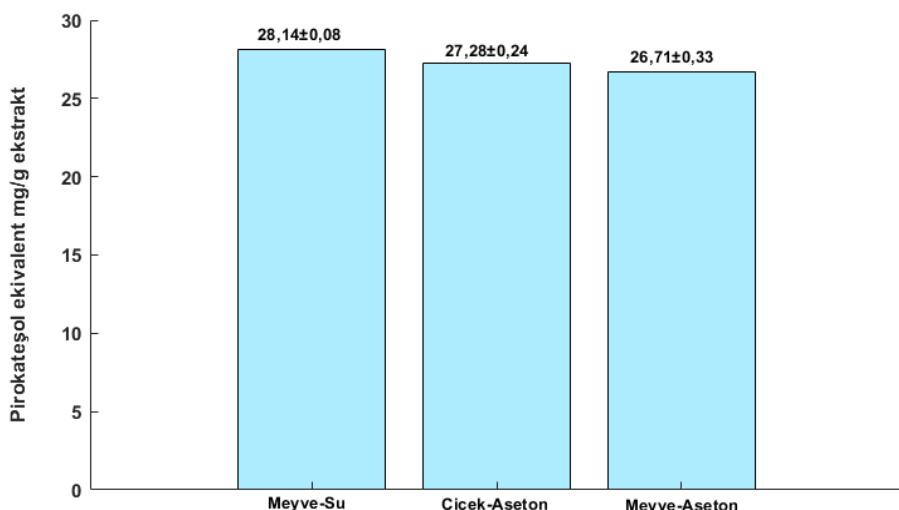
Üvez meyvesinin aseton ve su ekstraktları ile çiçeğinin aseton ekstraktlarından elde edilen fenolik madde içerikleri gallik asit ve pirokateşol eşdeğer miktarı olarak Şekil 26 ve Şekil 27'de gösterilmiştir. Ekstrakte edilen fenolik bileşikler kıyaslandığında; gallik asit ve pirokateşol standartları için meyve-su ekstraktının diğer yapılan ekstraktlara nazaran daha çok fenolik bileşik içeriği gözlenmiştir.

Standart grafikler yardımıyla gallik asit eşdeğeri olarak ekstraktların içeriği fenolik madde miktarlarının  $41,48\pm0,53$  –  $43,17\pm0,83$  mg/g ve pirokateşol eşdeğeri olarak  $26,71\pm0,33$  –  $28,14\pm0,08$  mg/g arasında değiştiği belirlendi.



**Şekil 26. Üvez ekstraktlarının gallik asit eşdeğeri cinsinden fenolik madde içerikleri**

Üvezin meyvesinin aseton ekstraktının  $41,48\pm0,43$  mg/g, su ekstraktının  $43,17\pm0,83$  mg/g ve çiçeğinin aseton ekstraktının ise  $42,37\pm0,68$  mg/g gallik asit eşdeğeri cinsinden fenolik madde bulundurduğu belirlendi.

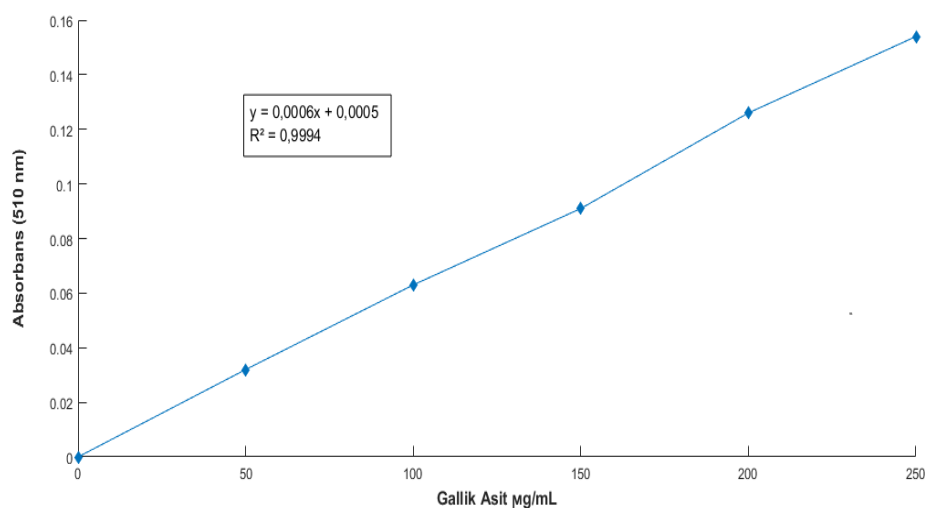


**Şekil 27. Üvez ekstraktlarının pirokateşol eşdeğeri olarak fenolik madde içerikleri**

Üvezin meyvesinin aseton ekstraktının  $26.71\pm0,33$  mg/g, su ekstraktının  $28.14\pm0,08$  mg/g ve çiçeğinin aseton ekstraktının  $27.28\pm0,24$  mg/g olarak fenolik madde içerdiği belirlendi.

### TOPLAM FLAVONOİD İÇERİĞİNİN BELİRLENMESİ

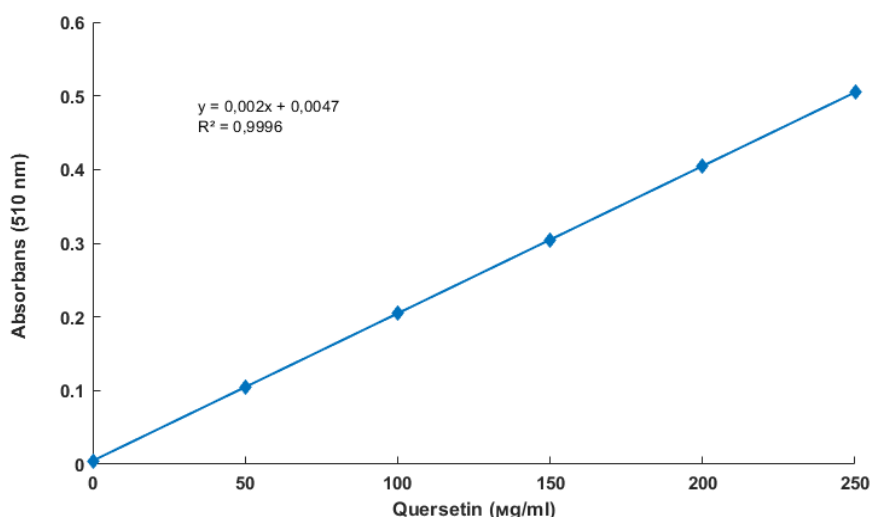
Üvezin meyvesinin aseton ve su ekstraktları ile çiçeğinin aseton ekstraktlarındaki toplam flavonoid içeriğini belirlemek için gallik asit ve quersetin kullanıldı ve standart grafikleri oluşturuldu (Şekil 28 ve Şekil 29). Ekstraktların içerdiği toplam flavonoid miktarı GAE ve QUE ekivalenti cinsinden saptandı.



**Şekil 28. Gallik asit standart grafiği**

Gallik asit standart grafiği deklemi  $y=0,0006x+0,0005$  bulundu ve hesaplama aşağıdaki formüle göre yapıldı.

$$\text{Absorbans}_{(510\text{nm})} = 0.0006 \text{ [Gallik asit]} + 0.0005$$



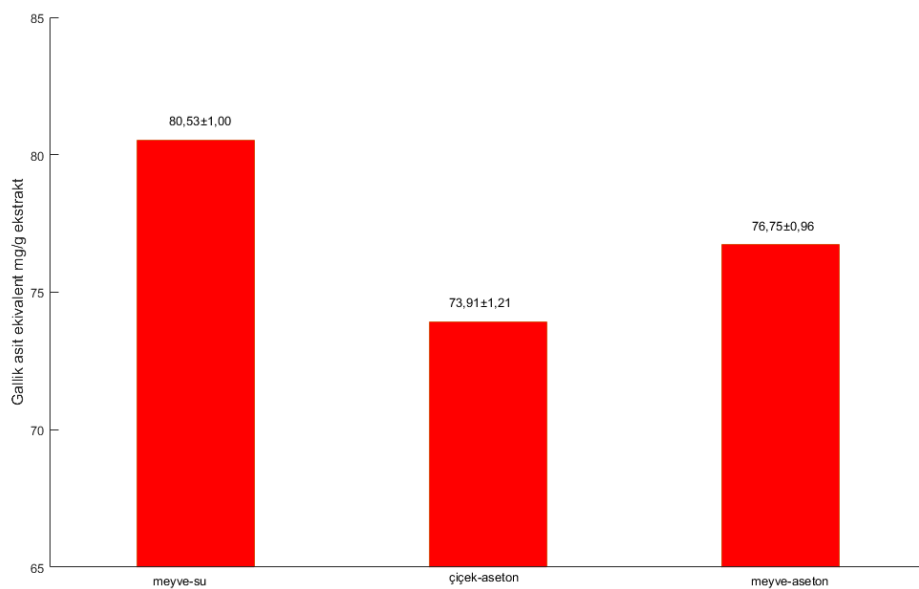
**Şekil 29. Kuersetin standart grafiği**

Kuersetin standart grafiği denklemi  $y=0,002x+0,0047$  bulundu ve hesaplama aşağıdaki formüle göre yapıldı.

$$\text{Absorbans}_{(510\text{ nm})} = 0.002 \text{ [Quersetin]} + 0.0047$$

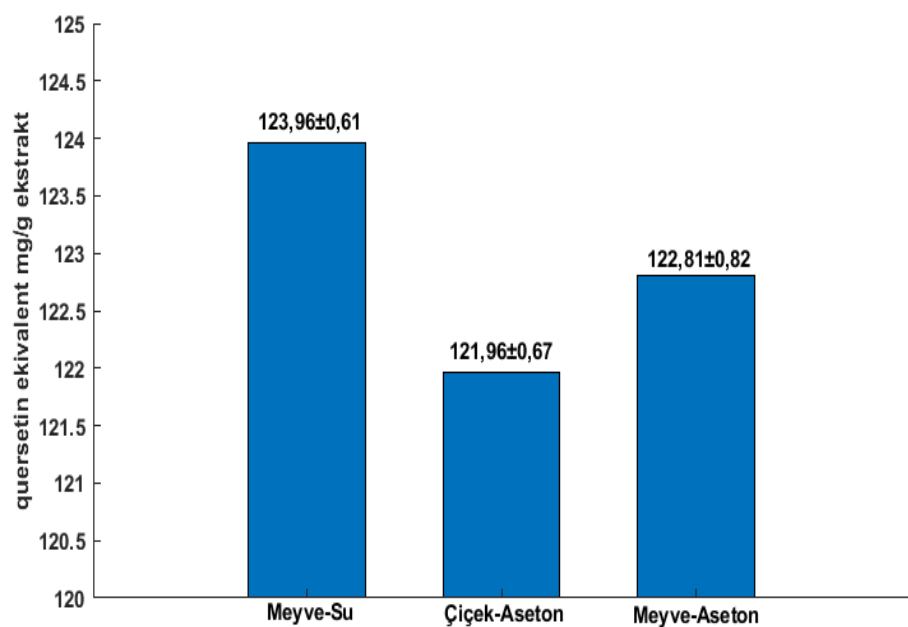
Üvezin meyvesinin aseton ve su ekstraktları ile çiçeğinin aseton ekstraktlarından elde edilen gallik asit ve quersetin eşdeğeri olan flavonoid bileşiklerine ait değerler Şekil 30 ve Şekil 31'de gösterilmiştir.

Standart grafikler yardımıyla üvez ekstraktlarının gallik asit eşdeğeri olarak  $73.91 \pm 1,21 - 80.53 \pm 1,00$  mg/g ve quersetin eşdeğeri olarak da  $121.96 \pm 0,67 - 123.96 \pm 0,61$  mg/g arasında flavonoid madde içerdikleri belirlendi.



**Şekil 30. Üvez ekstraktlarının gallik asit eşdeğeri olarak flavonoid madde içerikleri**

Üvezin meyve kısmının aseton ve su ekstraktlarının gallik asit eşdeğeri olarak flavonoid madde içeriği sırasıyla  $76.75\pm0,96$  ve  $80.53\pm1,00$  mg/g olarak belirlendi. Çiçek kısmının ise aseton ekstraktının gallik asit eşdeğeri olarak flavonoid madde içeriği  $73.91\pm1,21$  mg/g olarak hesaplandı.

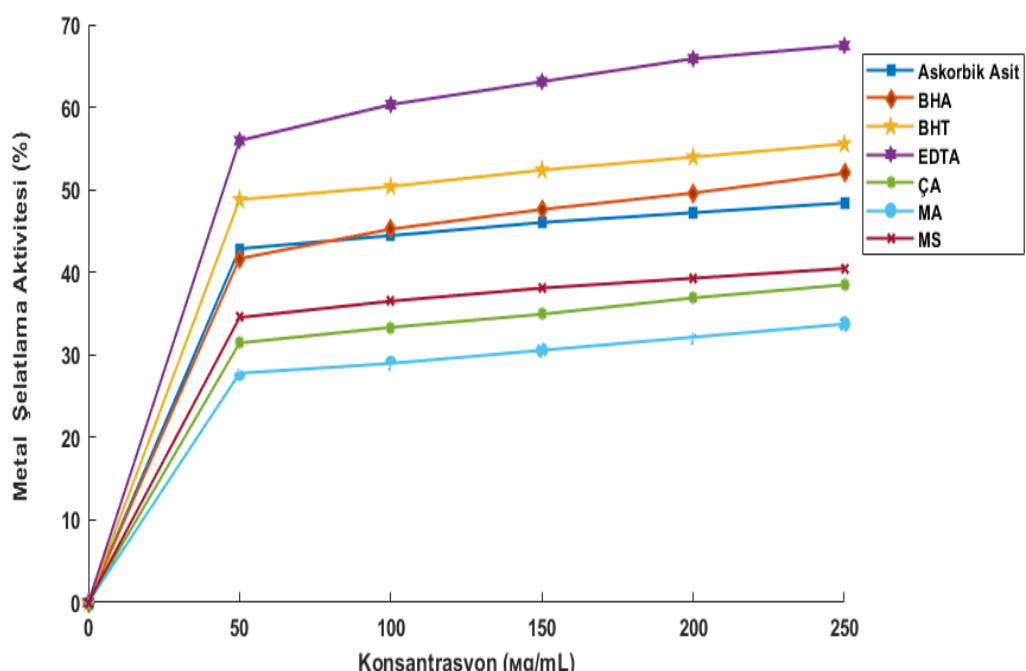


**Şekil 31. Üvez ekstraktlarının kuersetin eşdeğeri olarak flavonoid madde içerikleri**

Üvezin meyvesinin aseton ve su ekstraktlarının quersetin eşdeğeri olarak flavonoid madde içerikleri sırasıyla  $122.81 \pm 0,82$  ve  $123.96 \pm 0,61$  mg/g olarak, çiçeğinin ise aseton ekstraktının quersetin eşdeğeri olarak flavonoid madde içeriği  $121.96 \pm 0,67$  mg/g olarak belirlendi.

## DEMİR (II) İYONLARINI ŞELATLAMA AKTİVİTESİ

Reaksiyon ortamında bulunan  $\text{Fe}^{2+}$  iyonlarını bağlamak için ekstraktların ferrozin ile yarışmada olduğu bir yöntemdir. Bu yöntemde azalan absorbans metal iyonlarının şelatlandığının bir göstergesidir. Standart olarak EDTA, askorbik asit, BHA ve BHT kullanılarak ekstraktların  $\text{Fe}^{2+}$  iyonlarını şelatlama kapasitesi belirlendi (Şekil 32).



Şekil 32. Üvez ekstraktlarının metal şelatlama kapasiteleri

Grafikten de anlaşılacağı üzere, ekstraktların konsantrasyon artışı ile birlikte artan şelatlama kapasitesi gösterdiği ve standartların üvez ekstraktlarından daha yüksek aktiviteye sahip olduğu gözlendi. Ancak standartlar ve ekstraktların EDTA kadar iyi bir şelatlayıcı olmadığı da açıkça görüldü.

**Tablo 3. Standartların farklı konsantrasyonlarının  $\text{Fe}^{2+}$  iyonlarını şelatlama kapasiteleri**

Standartlar	50 $\mu\text{g/mL}$	100 $\mu\text{g/mL}$	150 $\mu\text{g/mL}$	200 $\mu\text{g/mL}$	250 $\mu\text{g/mL}$
<b>EDTA</b>	55.95 $\pm$ 0,28	60,31 $\pm$ 0,33	63.09 $\pm$ 0,39	65.87 $\pm$ 0,44	67.46 $\pm$ 0,48
<b>Askorbik Asit</b>	42.85 $\pm$ 0,67	44.44 $\pm$ 0,12	46.03 $\pm$ 0,06	47.22 $\pm$ 0,14	48.41 $\pm$ 0,11
<b>BHA</b>	41.66 $\pm$ 0,55	45.23 $\pm$ 0,41	47.61 $\pm$ 0,38	49.60 $\pm$ 0,30	51.98 $\pm$ 0,32
<b>BHT</b>	48.80 $\pm$ 0,14	50.39 $\pm$ 0,26	52.38 $\pm$ 0,23	53.96 $\pm$ 0,17	55.55 $\pm$ 0,19

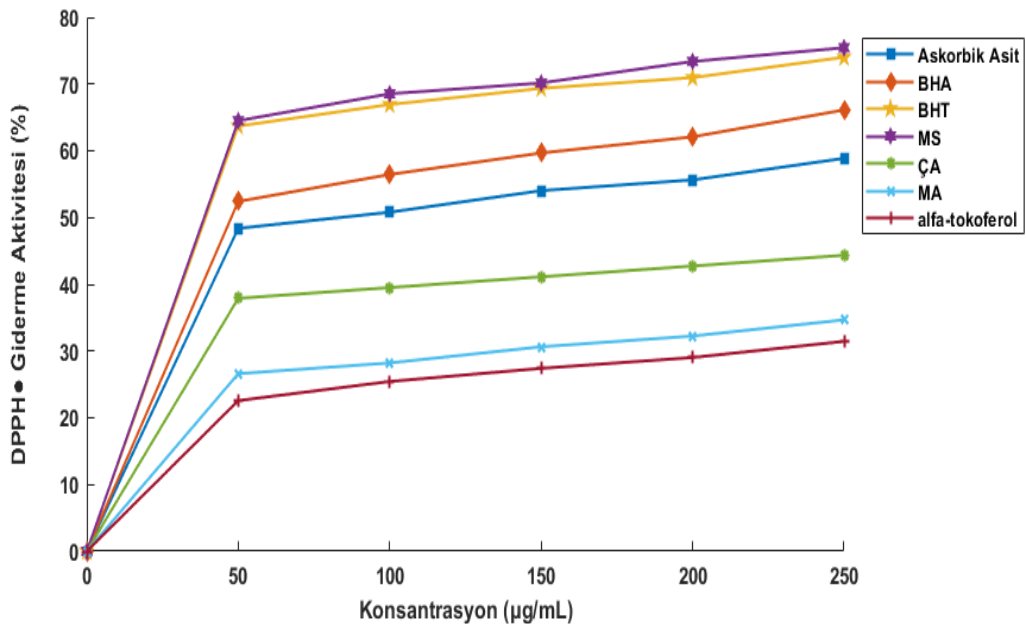
Üvezin meyvesinin aseton ekstraktının 50-250  $\mu\text{g/mL}$  konsantrasyonlarının metal şelatlama kapasitesi sırasıyla %27.77 $\pm$ 0,85, %28.96 $\pm$ 0,92, %30.55 $\pm$ 0,47, %32.14 $\pm$ 0,19, %33.73 $\pm$ 0,23 olarak tespit edildi.

Üvezin meyvesinin su ekstraktının 50-250  $\mu\text{g/mL}$  konsantrasyonlarının metal şelatlama kapasitesi ise sırasıyla %34.52 $\pm$ 0,81, %36.50 $\pm$ 0,72, %38.09 $\pm$ 0,53, %39.28 $\pm$ 0,44, %40.47 $\pm$ 0,88 olarak belirlendi.

Üvezin çiçeğinin aseton ekstraktının 50-250  $\mu\text{g/mL}$  konsantrasyonlarının metal şelatlama kapasitesi sırasıyla %31.34 $\pm$ 0,78, %33.33 $\pm$ 0,26, %34.92 $\pm$ 0,38, %36.90 $\pm$ 0,07, %38.49 $\pm$ 0,41 olarak bulundu.

### **DPPH• RADİKALİ GİDERME AKTİVİTESİNİN TAYİNİ**

Doğal antioksidanların keşfinde oldukça sık kullanılan bir yöntem olup, bu metod 517 nm'de absorbans vermeyen DPPH•H oluşumunun ölçülmesine dayanmaktadır. Standart madde askorbik asit, BHA,  $\alpha$ -tokoferol ve BHT kullanılarak üvez ekstraktlarının DPPH• radikalı giderme aktiviteleri belirlendi (Şekil 33).



**Şekil 33. Üvez ekstraktlarının DPPH• radikal giderme aktiviteleri**

Grafikten anlaşılacağı üzere, ekstraktların konsantrasyonunun artışı ile birlikte artan radikal giderme etkisi sergilediği saptandı.

**Tablo 4. DPPH• radikal giderme aktivitesinde kullanılan standart çözeltilerin farklı konsantrasyonlarının radikal giderme aktiviteleri**

Standartlar	50 µg/mL	100 µg/mL	150 µg/mL	200 µg/mL	250 µg/mL
<b>α-tokoferol</b>	48.38±0,70	50.80±0,64	54.03±0,22	55.64±0,51	58.87±0,70
<b>Askorbik Asit</b>	52.41±0,93	56.45±0,56	59.67±0,77	62.09±0,67	66.12±0,90
<b>BHA</b>	63.70±0,96	66.93±0,54	69.35±0,48	70.96±0,77	74.19±0,35
<b>BHT</b>	64.51±0,61	68.54±0,83	70.16±0,12	73.38±0,70	75.44±0,48

Üvezin meyvesinin su ekstraktının 50-250 µg/mL konsantrasyonlarının DPPH• radikal giderme aktiviteleri sırasıyla %37.90±0,32, %39.51±0,61, %41.12±0,90, %42.74±0,19, %44.35±0,48 olarak tespit edildi.

Üvezin çiçeğinin aseton ekstraktının 50-250 µg/mL konsantrasyonlarının DPPH• radikal giderme aktiviteleri sırasıyla %26.61±0,29, %28.22±0,58, %30.64±0,51, %32.25±0,80, %34.67±0,77 olarak belirlendi.

Üvezin meyvesinin aseton ekstraktının 50-250 µg/mL konsantrasyonlarının DPPH• radikalı giderme aktivitelerinin ise sırasıyla %22.58±0,06, %25.44±0,41, %27.41±0,93, %29.03±0,22, %31.45±0,16 olarak arttığı gözlandı. Ayrıca üvez ekstraktlarının yarısının yok edildiği konsantrasyon olan EC<sub>50</sub> değeri hesaplanarak da sonuçlar değerlendirildi (Tablo 5).

**Tablo 5. DPPH• radikalı giderme aktivitesi verilerinden hesaplanan EC<sub>50</sub> değerleri**

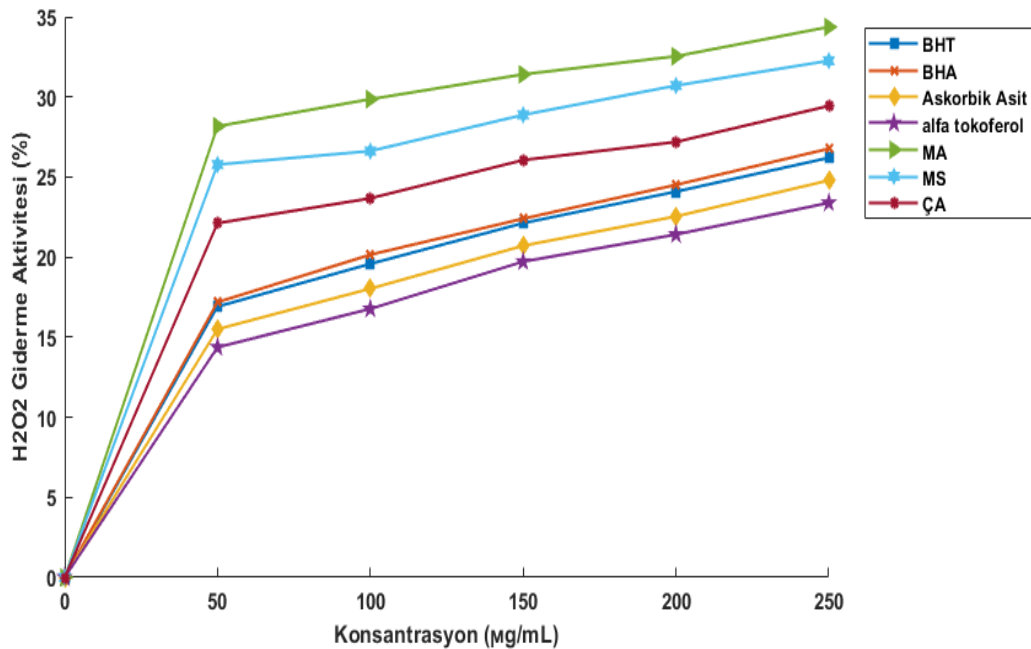
EC <sub>50</sub> (µg/mL)		
Ekstraktlar		
Meyve-su	Çiçek-aseton	Meyve- aseton
9.86±0,25	10.66±0,75	14.08±0,44
Standartlar		
α-tokoferol	Askorbik asit	BHA
15.71±0,75	17.53±0,43	19.55±0,59
		16.86±0,33

Tablo 5'te görüldüğü gibi, en düşük EC<sub>50</sub> değerinin meyve-su ekstraktında olduğu, dolayısıyla en yüksek radikal giderme aktivitesine meyve-su ekstraktında rastlandığı saptandı.

## H<sub>2</sub>O<sub>2</sub> GİDERME AKTİVİTESİ

Asıl üretimi süperoksitin dismutasyonu sonucu oluşan H<sub>2</sub>O<sub>2</sub>, serbest radikal olmadığı halde hücre zarından kolaylıkla geçebilen uzun ömürlü bir oksitleyici bileşiktir.

Ekstraktlar arasında en yüksek H<sub>2</sub>O<sub>2</sub> giderme aktivitesi gösteren ve standartlarla kıyaslanabilecek ölçüde olan meyve-aseton ekstraktıdır (Şekil 34).



**Şekil 34. Üvez ekstraktlarının ve standartların  $H_2O_2$  giderme aktiviteleri**

Grafikten de anlaşılacağı üzere konsantrasyon artışı ile artan bir  $H_2O_2$  giderme aktivitesi olduğu gözlenmektedir. Çalışmada kullanılan ekstraktların standartlardan daha fazla  $H_2O_2$  giderme aktivitesi göstermiştir.

**Tablo 6.  $H_2O_2$  giderme aktivitesinde kullanılan standart çözeltilerin radikal giderme aktiviteleri**

Standartlar	50 µg/mL	100 µg/mL	150 µg/mL	200 µg/mL	250 µg/mL
<b>α-tokoferol</b>	14.37±0,61	16.77±0,67	19.72±0,55	21.41±0,42	23.39±0,72
<b>Askorbik Asit</b>	15.50±0,44	18.03±0,86	20.71±0,33	22.54±0,42	24.79±0,20
<b>BHA</b>	17.19±0,21	20.15±0,26	22.40±0,38	24.51±0,41	26.77±0,39
<b>BHT</b>	16.91±0,03	19.58±0,15	22.12±0,11	24.09±0,18	26.20±0,14

Üvezin meyvesinin aseton ekstraktının 50-250 µg/mL konsantrasyonlarının  $H_2O_2$  giderme aktiviteleri sırasıyla %28.17±0,84, %29.86±0,89, %31.41±0,93, %32.54±0,80, %34.37±0,72 olarak belirlendi.

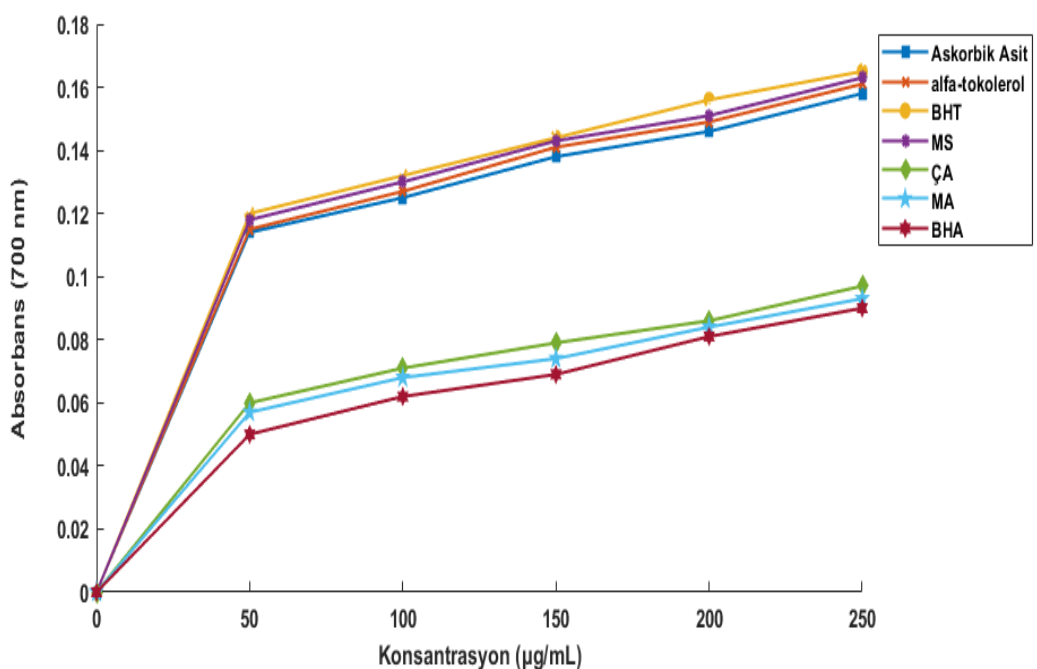
Üvezin meyvesinin su ekstraktının ise 50-250  $\mu\text{g/mL}$  konsantrasyonlarının  $\text{H}_2\text{O}_2$  giderme aktiviteleri sırasıyla  $\%25.78 \pm 0,18$ ,  $\%26.62 \pm 0,37$ ,  $\%28.88 \pm 0,11$ ,  $\%30.71 \pm 0,27$ ,  $\%32.26 \pm 0,71$  olarak bulundu.

Üvezin çiçeğinin aseton ekstraktının 50-250  $\mu\text{g/mL}$  konsantrasyonlarının  $\text{H}_2\text{O}_2$  giderme aktiviteleri ise sırasıyla  $\%22.12 \pm 0,33$ ,  $\%23.67 \pm 0,58$ ,  $\%26.06 \pm 0,85$ ,  $\%27.19 \pm 0,32$ ,  $\%29.44 \pm 0,17$  olarak tespit edildi.

### **TOPLAM FERRİK İYONLARINI ( $\text{Fe}^{3+}$ ) İNDİRİGEME KAPASİTESİNİN TAYİNİ**

Geçiş elementlerinin en önemlileri olan Fe ve Cu serbest radikal reaksiyonlarında katalizör görevi görerek serbest radikal reaksiyonlarını hızlandırır. Bu yüzden  $\text{Fe}^{3+}$  toksik etki göstermektedir.

Antioksidan aktivitenin bir başka göstergesi de bir bileşigin elektronlarını verebilme özelliğinden kaynaklanmaktadır. Ekstraktların ve standart maddelerin  $\text{Fe}^{3+}$ 'ü indirgeme kapasitesini belirlemek üzere 50-250  $\mu\text{g/mL}$  konsantrasyonları kullanıldı ve absorbansı 700 nm'de okundu. Ekstraktların indirgeme kapasitesi askorbik asit, BHA, BHT ve  $\alpha$ -tokoferol ile karşılaştırılarak konsantrasyon-absorbans grafikleri oluşturuldu (Şekil 35).



Şekil 35. Üvez ekstraktlarının  $\text{Fe}^{3+}$ ,  $\text{Fe}^{2+}$ , ve indirgeme kapasiteleri

Şekil 35'te görülebileceği gibi indirgeme kapasitesi tayininde üvez ekstraktlarının, standartlarla karşılaştırması yapıldığında çok yüksek aktiviteye sahip olmadığı gözlandı.

**Tablo 7. Standart çözeltilerin  $\text{Fe}^{3+}$  iyonlarını indirgeme kapasiteleri**

Standartlar	50 $\mu\text{g/mL}$	100 $\mu\text{g/mL}$	150 $\mu\text{g/mL}$	200 $\mu\text{g/mL}$	250 $\mu\text{g/mL}$
<b><math>\alpha</math>-tokoferol</b>	0.115±0,022	0.127±0,058	0.141±0,044	0.149±0,031	0.161±0,018
<b>Askorbik Asit</b>	0.114±0,091	0.125±0,087	0.138±0,062	0.146±0,057	0.158±0,080
<b>BHA</b>	0.120±0,048	0.132±0,071	0.144±0,078	0.156±0,039	0.165±0,019
<b>BHT</b>	0.118±0,035	0.130±0,044	0.143±0,081	0.151±0,059	0.163±050

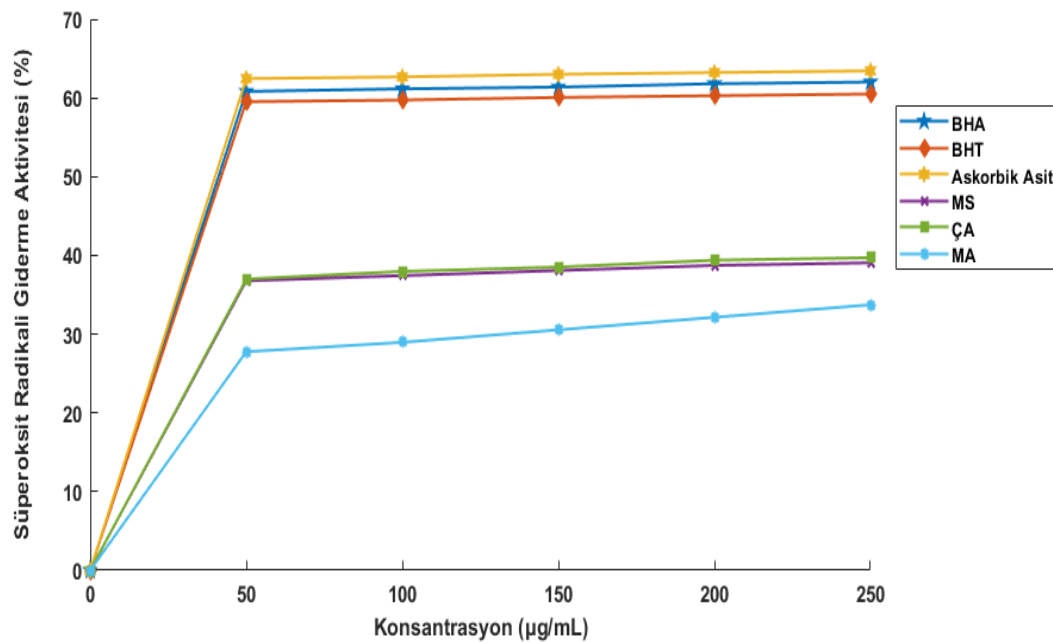
Üvezin meyvesinin su ekstraktının 50-250  $\mu\text{g/mL}$  konsantrasyonlarının  $\text{Fe}^{3+}$  iyonlarını indirgeme kapasiteleri sırasıyla 0.060±0,007, 0.071±0,009, 0.079±0,002, 0.086±0,004, 0.097±0,018 olarak tespit edildi.

Üvezin meyvesinin aseton ekstraktının 50-250  $\mu\text{g/mL}$  konsantrasyonlarının  $\text{Fe}^{3+}$  iyonlarını indirgeme kapasiteleri ise sırasıyla 0.050±0,010, 0.062±0,013, 0.069±0,015, 0.081±0,011, 0.090±0,018 olarak bulundu.

Üvezin çiçeğinin aseton ekstraktının 50-250  $\mu\text{g/mL}$  konsantrasyonlarının ise  $\text{Fe}^{3+}$  iyonlarını  $\text{Fe}^{2+}$ 'ye indirgeme kapasitesinin sırasıyla 0.057±0,021, 0.068±0,026, 0.074±0,030, 0.084±0,049, 0.093±0,081 olarak arttığı belirlendi.

## SÜPEROKSİT RADİKALİ GİDERME AKTİVİTESİ

Süperoksit radikalının oluşumu PMS/NADH/ $\text{O}_2$  sistemi kullanılarak oluşturuldu. BHT, BHA ve askorbik asit standart olarak kullanıldı ve %inhibititon grafiği oluşturuldu (Şekil 36).



**Şekil 36. Üvez ekstraktlarının süperoksit radikal giderme aktiviteleri**

Grafikten de anlaşılacağı üzere konsantrasyon artışı ile birlikte radikal giderme aktivitesinin tüm konsantrasyonları ile orantılı olduğu ve sonuç olarak inhibisyon değerinin konsantrasyona bağımlı olduğu sonucuna varıldı.

**Tablo 8. Standartların farklı konsantrasyonlarının süperoksit radikal giderme aktiviteleri**

Standartlar	50 µg/mL	100 µg/mL	150 µg/mL	200 µg/mL	250 µg/mL
<b>BHA</b>	60.82±,69	61.15±0,34	61.37±0,71	61.80±0,63	62.02±0,39
<b>BHT</b>	59.52±0,12	59.73±0,88	60.06±0,52	60.28±0,29	60.50±0,05
<b>Askorbik Asit</b>	62.45±0,91	62.67±0,68	63.00±0,32	63.22±0,08	63.43±0,85

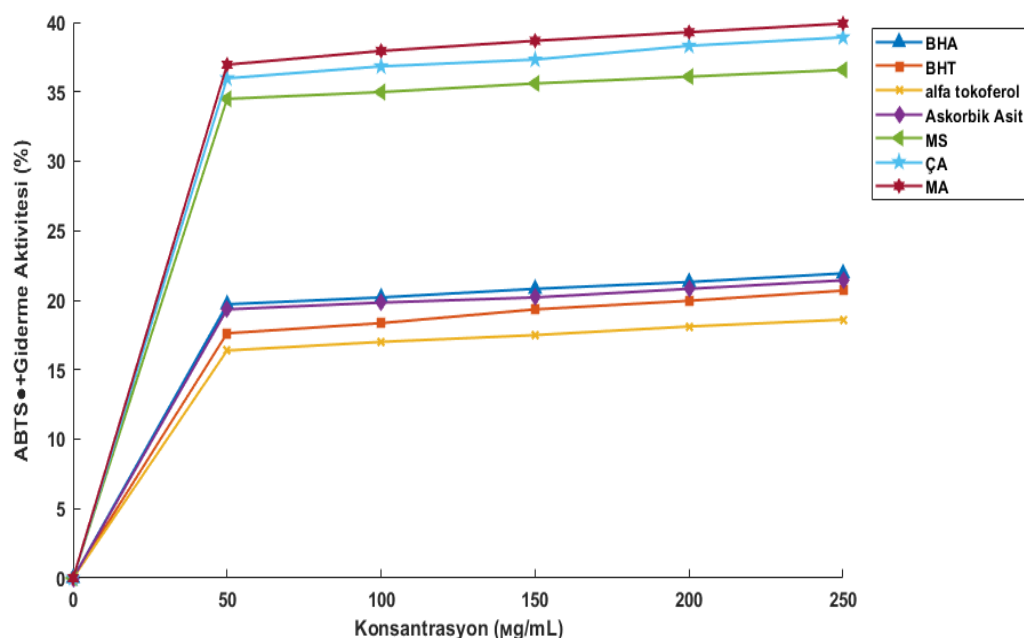
Üvezin meyvesinin su ekstraktının 50-250 µg/mL konsantrasyonlarının süperoksit radikal giderme aktivitelerinin sırasıyla %36.77±0,91, %37.43±0,19, %38.08±0,48, %38.73±0,77, %39.06±0,42 olarak arttığı belirlendi.

Üvezin çiçeğinin aseton ekstraktının ise 50-250 µg/mL konsantrasyonlarının süperoksit radikal giderme aktiviteleri sırasıyla %36.99±0,67, %37.97±0,60, %38.52±0,01, %39.39±0,06, %39.71±0,73 olarak bulundu.

Üvezin meyvesinin aseton ekstraktının 50-250  $\mu\text{g/mL}$  konsantrasyonlarının süperoksit radikalı giderme aktiviteleri ise sırasıyla  $\%34.71 \pm 0,16$ ,  $\%35.47 \pm 0,33$ ,  $\%35.79 \pm 0,97$ ,  $\%36.23 \pm 0,50$ ,  $\%36.45 \pm 0,26$  olarak gözlandı.

### **ABTS<sup>•+</sup> RADİKALİ GİDERME AKTİVİTESİNİN TAYİNİ**

Ekstraktların ve standartların 50-250  $\mu\text{g/mL}$  konsantrasyonlarında çalışıldı. Ekstraktların inhibisyon oranları standartların inhibisyon oranları ile karşılaştırıldı (Şekil 37).



**Şekil 37. Üvez ekstraktlarının ABTS<sup>•+</sup> radikal giderme aktiviteleri**

Grafikten de görüldüğü gibi ABTS<sup>•+</sup> radikal giderme aktivitesi konsantrasyona bağımlıdır. Üvez ekstraktlarının askorbik asit,  $\alpha$ -tokoferol, BHA ve BHT'den daha etkili aktivite gösterdiği gözlenmiştir.

**Tablo 9. Standart çözeltilerin ABTS<sup>•+</sup> radikal giderme aktiviteleri**

Standartlar	50 $\mu\text{g/mL}$	100 $\mu\text{g/mL}$	150 $\mu\text{g/mL}$	200 $\mu\text{g/mL}$	250 $\mu\text{g/mL}$
<b>BHA</b>	$19.71 \pm 0,55$	$20.20 \pm 0,29$	$20.82 \pm 0,71$	$21.31 \pm 0,45$	$21.93 \pm 0,88$
<b>BHT</b>	$17.62 \pm 0,91$	$18.35 \pm 0,02$	$19.34 \pm 0,50$	$19.96 \pm 0,92$	$20.69 \pm 0,33$
<b><math>\alpha</math>-tokoferol</b>	$16.38 \pm 0,06$	$17.00 \pm 0,49$	$17.49 \pm 0,23$	$18.11 \pm 0,65$	$18.60 \pm 0,33$
<b>Askorbik Asit</b>	$19.34 \pm 0,50$	$19.83 \pm 0,24$	$20.20 \pm 0,02$	$20.82 \pm 0,71$	$21.043 \pm 0,71$

Üvezin meyvesinin su ekstraktının 50-250  $\mu\text{g/mL}$  konsantrasyonlarının ABTS $\cdot^+$  radikali giderme aktiviteleri sırasıyla  $\%34.49\pm0,72$ ,  $\%34.98\pm0,46$ ,  $\%35.60\pm0,88$ ,  $\%36.09\pm0,62$ ,  $\%36.58\pm0,36$  olarak belirlendi.

Üvezin çiçeğinin aseton ekstraktının 50-250  $\mu\text{g/mL}$  konsantrasyonlarının ABTS $\cdot^+$  radikali giderme aktivitelerinin ise sırasıyla  $\%35.97\pm0,94$ ,  $\%36.83\pm0,73$ ,  $\%37.32\pm0,47$ ,  $\%38.31\pm0,95$ ,  $\%38.92\pm0,37$  olduğu bulundu.

Üvezin meyvesinin aseton ekstraktının 50-250  $\mu\text{g/mL}$  konsantasyonlarının ABTS $\cdot^+$  radikali giderme aktivitelerinin sırasıyla  $\%36.95\pm,41$ ,  $\%37.94\pm0,89$ ,  $\%38.67\pm0,49$ ,  $\%39.29\pm0,42$ ,  $\%39.91\pm0,85$  olduğu tespit edildi. ABTS $\cdot^+$  radikalının  $\%50$ 'sini gidermek için gerekli konsantrasyon olan EC<sub>50</sub> değerleri hesaplanarak da sonuçlar değerlendirilmiştir (Tablo 10).

**Tablo 10. Ekstraktlar ile standartların ABTS $\cdot^+$  radikali verilerinden hesaplanan EC<sub>50</sub> değerleri**

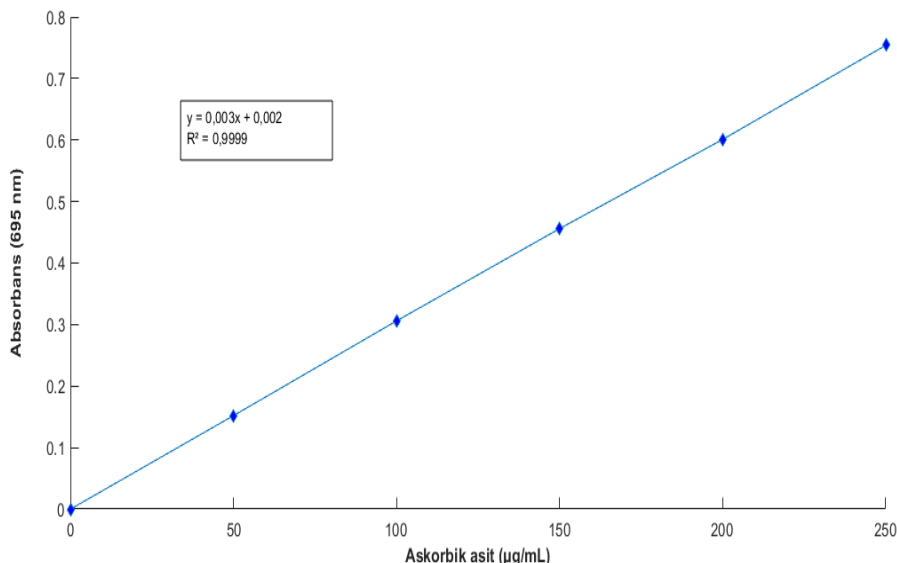
EC <sub>50</sub> ( $\mu\text{g/mL}$ )		
Ekstraktlar		
Meyve-su	Ciçek-aseton	Meyve-aseton
10.97 $\pm$ 0,25	10.73 $\pm$ 0,75	9.14 $\pm$ 0,50
Standartlar		
BHA	BHT	$\alpha$ -tokoferol
6.48 $\pm$ 0,25	5.07 $\pm$ 0,50	5.65 $\pm$ 0,50
Askorbik asit		
6.35 $\pm$ 0,45		

## FOSFOMOLİBDEN METODU İLE TOPLAM ANTİOKSİDAN AKTİVİTE TAYİNİ

Yöntemin esası amonyum molibdat, sodyum fosfat ve sülfürik asit ilave ederek hazırlanan belirteç çözeltisindeki Mo(VI)'nın antioksidanların etkisiyle Mo(V)'e indirgenmesidir. Askorbik asit ve  $\alpha$ -tokoferol standart olarak kullanıldı ve ekstraktların antioksidan aktivite göstergeleri mg askorbik asit ekivalenti (mg A.Asit/g ekstrakt) cinsinden hesaplandı. Askorbik asit standart grafiği şekil 38'de gösterilmiştir.

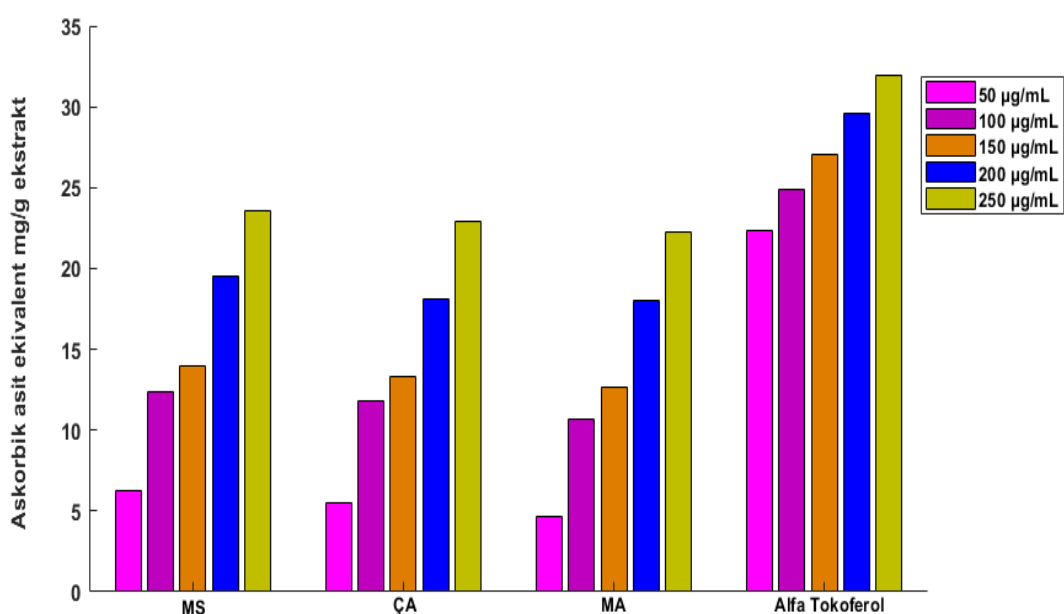
Askorbik asit standart grafiği denklemi  $y=0,003x+0,002$  bulundu ve hesaplama aşağıdaki formüle göre yapıldı.

$$\text{Absorbans}_{(695 \text{ nm})} = 0,003[\text{Askorbik Asit}] + 0,002$$



**Şekil 38. Askorbik asit standart grafiği**

Antioksidan kapasite tayini metodunda üvez ekstraktlarının askorbik asit eşdeğeri açısından antioksidan kapasiteleri Şekil 39'da verilmiştir.



**Şekil 39. Üvez ekstraktlarının antioksidan kapasiteleri**

Üvezin meyvesinin su ekstraktının 50-250  $\mu\text{g/mL}$  konsantrasyonlarının antioksidan kapasitelerinin askorbik asit eşdeğeri cinsinden sırasıyla; 6,23 mg/g, 12,33 mg/g, 13,93 mg/g, 19,53 mg/g, 23,54 mg/g olduğu belirlendi.

Üvezin çiçeğinin aseton ekstraktının 50-250  $\mu\text{g/mL}$  konsantrasyonlarının ise antioksidan kapasitelerinin sırasıyla; 5,52 mg/g, 11,81 mg/g, 13,33 mg/g, 18,13 mg/g, 22,91 mg/g olduğu gözlenirken, üvezin meyvesinin aseton ekstraktının ise 50-250  $\mu\text{g/mL}$  konsantrasyonlarının antioksidan kapasitelerinin ise sırasıyla; 4,66 mg/g, 10,66 mg/g, 12,63 mg/g, 18,03 mg/g, 22,21 mg/g olduğu belirlendi. Çalışılan ekstraktların  $\alpha$ -tokoferole göre daha düşük antioksidan kapasiteye sahip olduğu gözlendi. Fakat konsantrasyona bağlı olarak antioksidan kapasitesi artış göstermiştir.

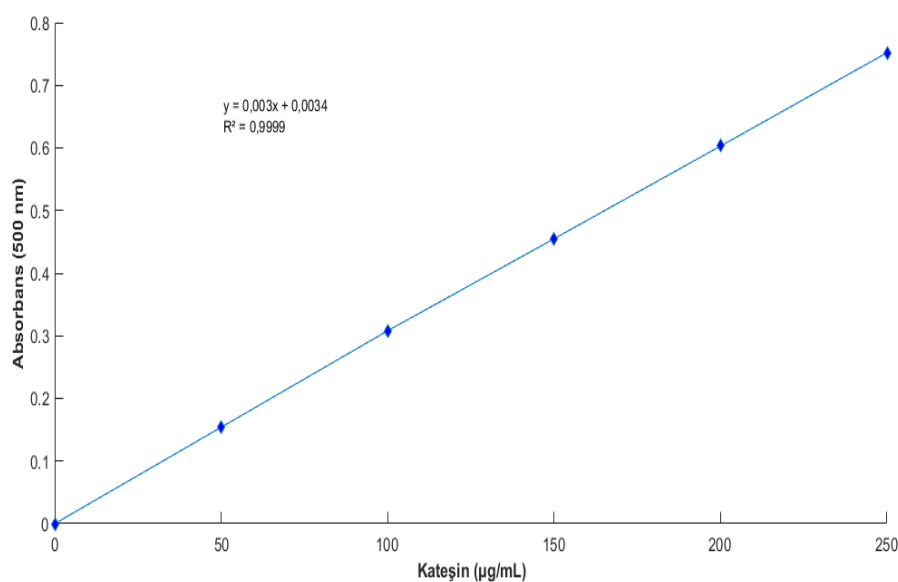
## ANTOSİYANİN TAYİNİ

Antosiyinanlar meyvelere kırmızı, mor-siyah ve mavi rengi veren suda çözünebilen doğal pigmentler olarak bilinir. Bulundukları bitkide serbest olarak değil de şekerler ile beraber bulunurlar.

Çalışmada kullanılan üvez meyvesi ve çiçeğindeki antosiyanan içeriği kateşin kullanılarak ve kateşin standart grafiği hazırlanarak belirlendi (Şekil 40). Antosiyinan tayini, bitki ekstraktlarının 1000  $\mu\text{g/mL}$  çözeltileri kullanılarak belirlendi. Sonuçlar mg/g kateşin ekivalenti olarak hesaplanmıştır ( $R^2: 0,9954$ ).

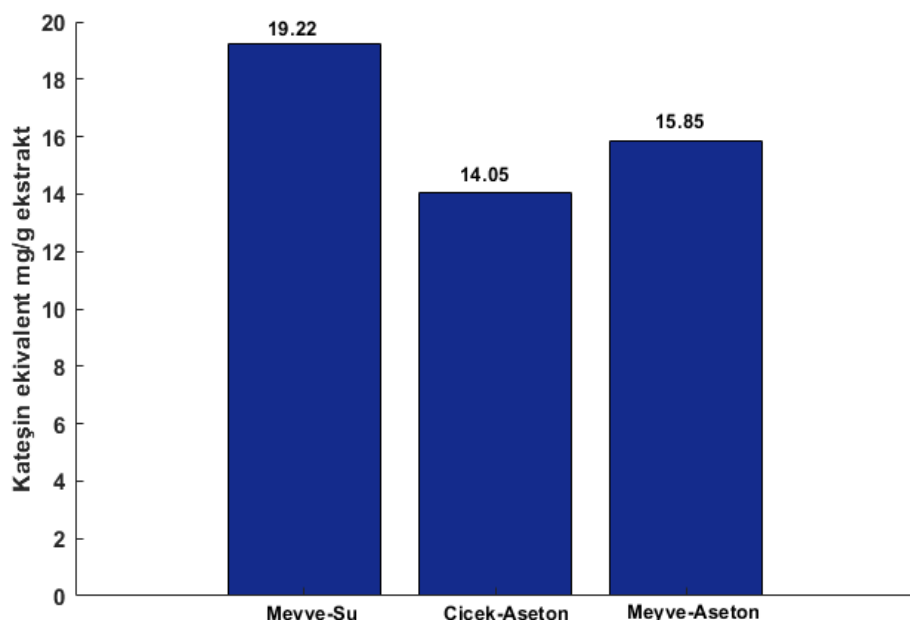
Kateşin standart grafiği denklemi  $y=0,003x+0,0034$  bulundu ve hesaplama aşağıdaki formüle göre yapıldı.

$$\text{Absorbans}_{(500 \text{ nm})} = 0,003[\text{Kateşin}] + 0,0034$$



**Şekil 40. Kateşin standart grafiği**

Üvezin çiçeğinin aseton ekstraktının antosianin içeriği kateşin ekivalenti olarak 14,05 mg/g iken, üvezin meyvesinin su ekstraktının antosianin içeriğinin kateşin ekivalenti olarak 19,22 mg/g olduğu, aseton ekstraktının ise antosianin içeriğinin kateşin ekivalenti olarak 15,85 mg/g olarak belirlenmiştir.

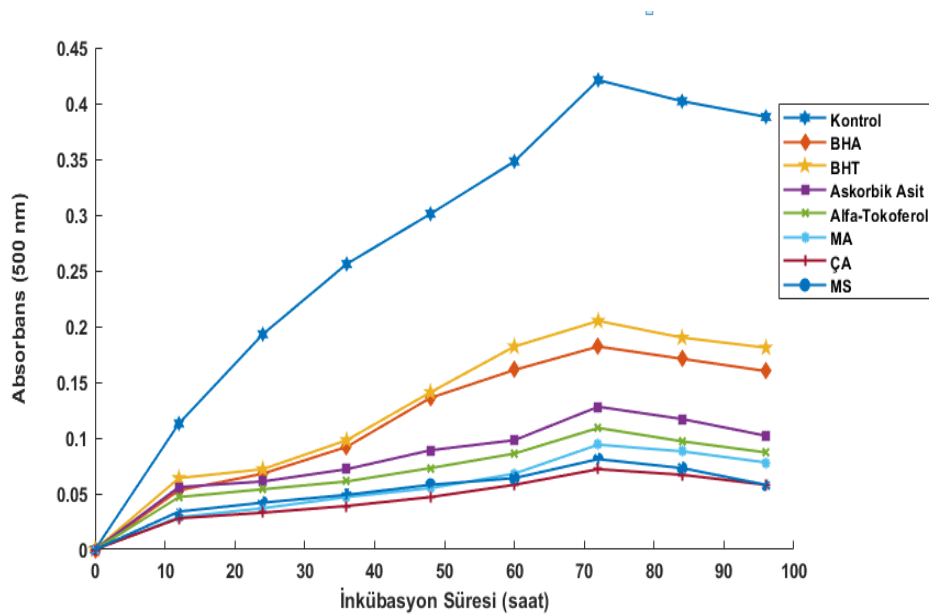


**Şekil 41. Kateşin eşdeğeri olarak antosianin içerikleri**

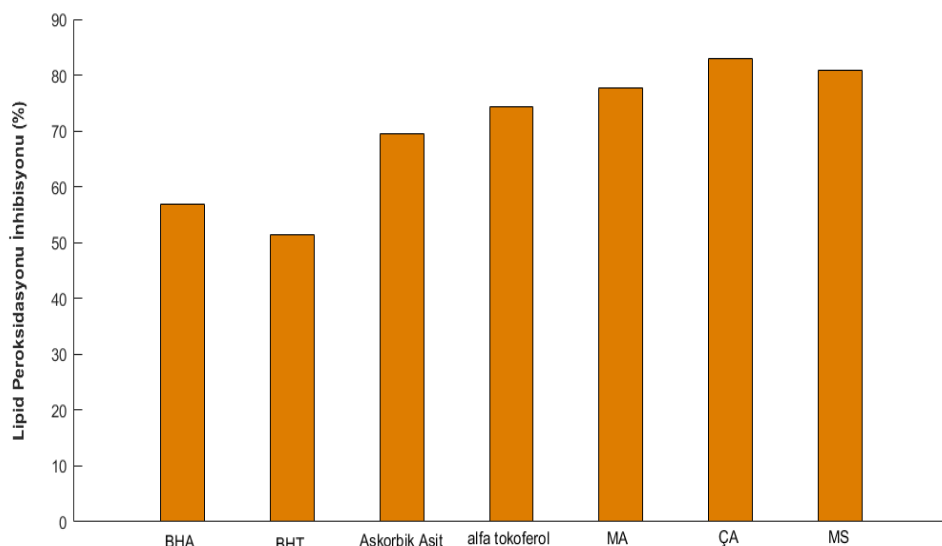
#### **LİNOLEİK ASİT SİSTEMİNDE FERRİK TİYOSİYANAT (FTC) METODU İLE TOPLAM ANTİOKSİDAN AKTİVİTE TAYİNİ**

Lipid peroksidasyonu serbest radikal reaksiyonları sonucu en çok hasara uğrayan bir proses olup, meydana gelen bu hasar geri dönüşümsüzdür. Böylece birçok hastalığı ve doku hasarını da beraberinde getirir.

Ferrik tiyosiyatan (FTC) metodu kullanılarak ekstraktların lipid peroksidasyonunu inhibe etmeleri, BHT, BHA,  $\alpha$ -tokoferol ve askorbik asit ile sonuçlar karşılaştırılarak değerlendirildi. Peroksidasyon işlemi 12 saatte bir ölçüm alınarak 96 saat süreyle izlendi ve kontrolün absorbans değerinin maksimum anındaki değerlerden hareketle ekstraktların ve standartların grafikleri çizildi (Şekil 42, Şekil 43, Şekil 44, Şekil 45, Şekil 46, Şekil 47, Şekil 48, Şekil 49, Şekil 50 ve Şekil 51).

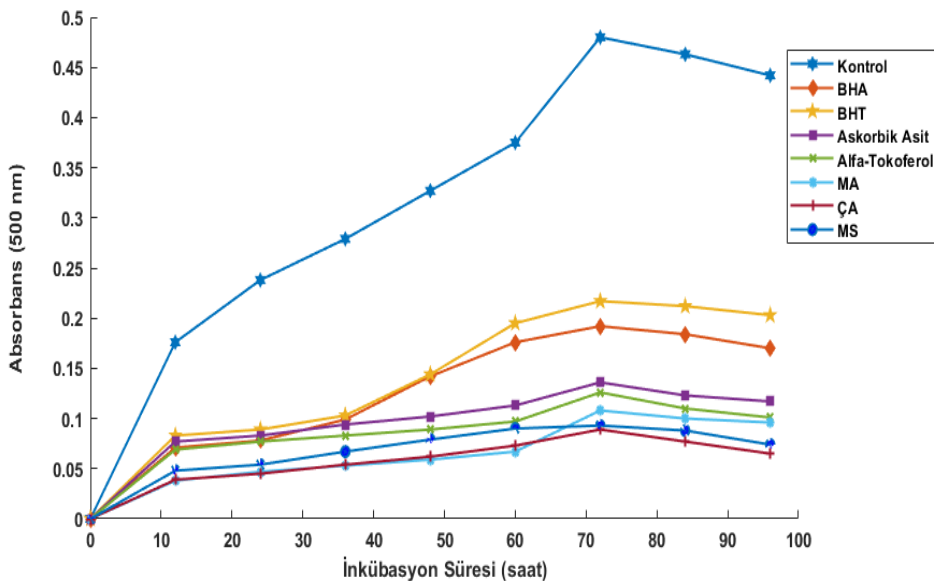


**Şekil 42.** Üvez ekstraktları ve standartlarının  $50 \mu\text{g/mL}$  konsantrasyonlarındaki linoleik asit peroksidasyonunun zamanla değişimi

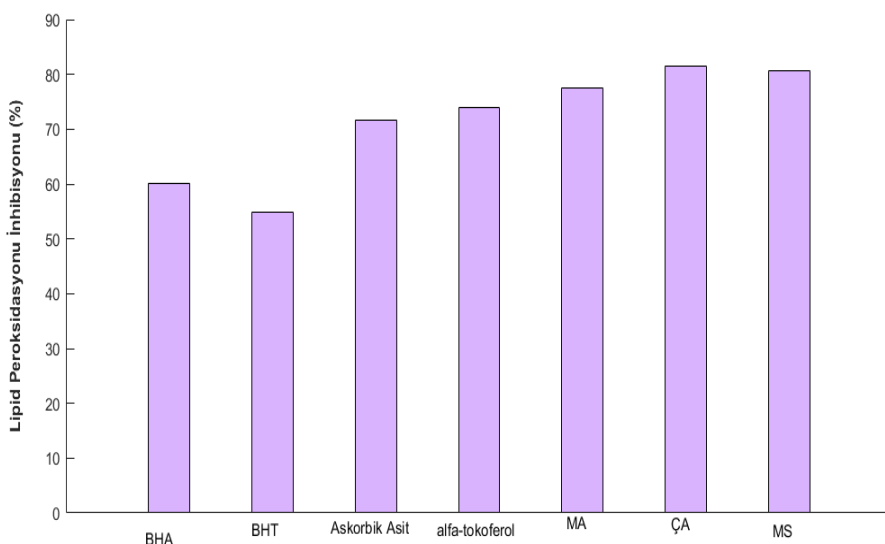


**Şekil 43.** Üvez ekstraktlarının  $50 \mu\text{g/mL}$  konsantrasyonlarında lipid peroksidasyonunu inhibe yüzdelerinin standart antioksidanlar ile değerlendirilmesi

Şekil 43'e göre  $50 \mu\text{g/mL}$  konsantrasyonunda hazırlanan üvezin meyvesinin su ve aseton ekstraktlarının lipid peroksidasyonu sırasıyla  $\%80.82 \pm 0,18$  ve  $\%77.77 \pm 0,66$ , üvezin çiçeğinin aseton ekstraktının lipid peroksidasyonu  $\%82.90 \pm 0,10$ , standart olarak kullanılan BHA, BHT, Askorbik asit ve  $\alpha$ -tokoferolün lipid peroksidasyonları ise sırasıyla  $\%56.81 \pm 0,21$ ,  $\%51.42 \pm 0,40$ ,  $\%69.44 \pm 0,38$ ,  $\%74.28 \pm 0,23$  olarak belirlendi.

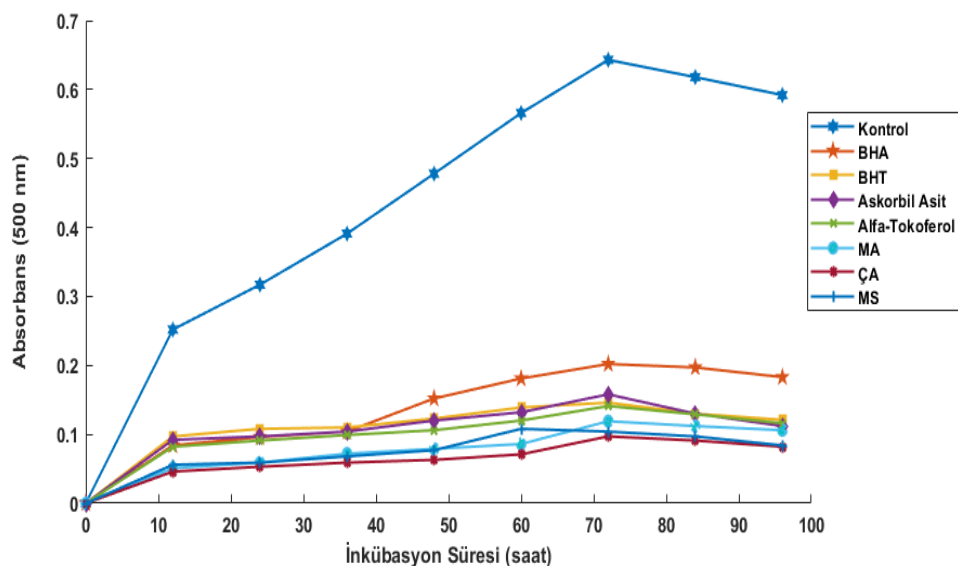


**Şekil 44.** Üvez ekstraktları ve standartlarının 100 µg/mL konsantrasyonlarındaki linoleik asit peroksidasyonunun zamanla değişimi

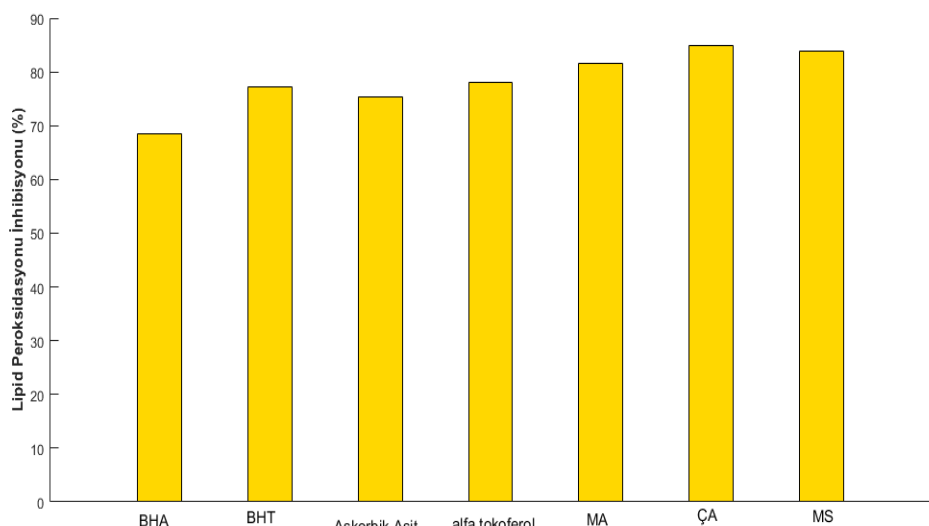


**Şekil 45.** Üvez ekstraktlarının 100 µg/mL konsantrasyonlarında lipid peroksidasyonunu inhibe yüzdelerinin standart antioksidanlar ile değerlendirilmesi

Şekil 45'e göre 100 µg/mL konsantrasyonunda hazırlanan üvez meyvesinin su ve aseton ekstraktlarının lipid peroksidasyonunu抑制 etme miktarları sırasıyla %80.72±0,70 ve %77.51±0,21, üvez çiçeğinin aseton ekstraktının lipid peroksidasyonunu抑制 etme miktarı %81.57±0,77, standart olarak kullanılan BHA, BHT, Askorbik asit ve α-tokoferolun lipid peroksidasyonunu抑制 etme miktarları ise sırasıyla %60.08±0,12, %54.82±0,40, %71.72±0,64, %73.88±0,18 olarak belirlendi.

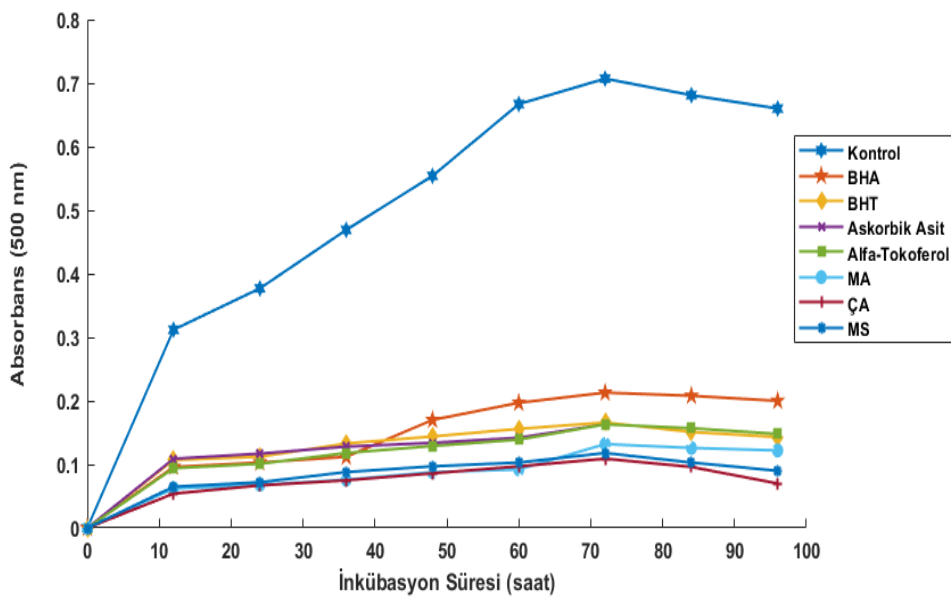


**Şekil 46.** Üvez ekstraktları ve standartlarının 150  $\mu\text{g/mL}$  konsantrasyonlarındaki linoleik asit peroksidasyonunun zamanla değişimi

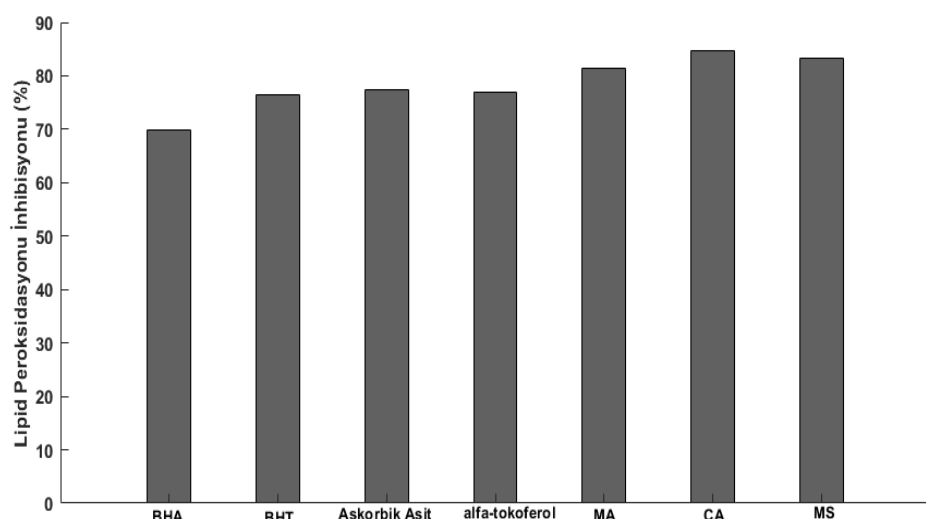


**Şekil 47.** Üvez ekstraktlarının 150  $\mu\text{g/mL}$  konsantrasyonlarında lipid peroksidasyonunu inhibe yüzdelerinin standart antioksidanlar ile değerlendirilmesi

Şekil 47'ye göre 150  $\mu\text{g/mL}$  konsantrasyonunda hazırlanan üvezin meyvesinin su ve aseton ekstraktlarının lipid peroksidasyonunu inhibe etme yüzdeleri sırasıyla  $\%83.83\pm0,41$  ve  $\%81.50\pm0,69$ , üvezin çiçeğinin aseton ekstraktının lipid peroksidasyonunu inhibe etme miktarı  $\%84.92\pm0,55$ , standart olarak kullanılan BHA, BHT, Askorbik asit ve  $\alpha$ -tokoferolün ise lipid peroksidasyonunu inhibe etme yüzdelerinin sırasıyla  $\%68.59\pm0,52$ ,  $\%77.30\pm0,30$ ,  $\%75.43\pm0,23$ ,  $\%78.08\pm0,84$  olduğu belirlendi.

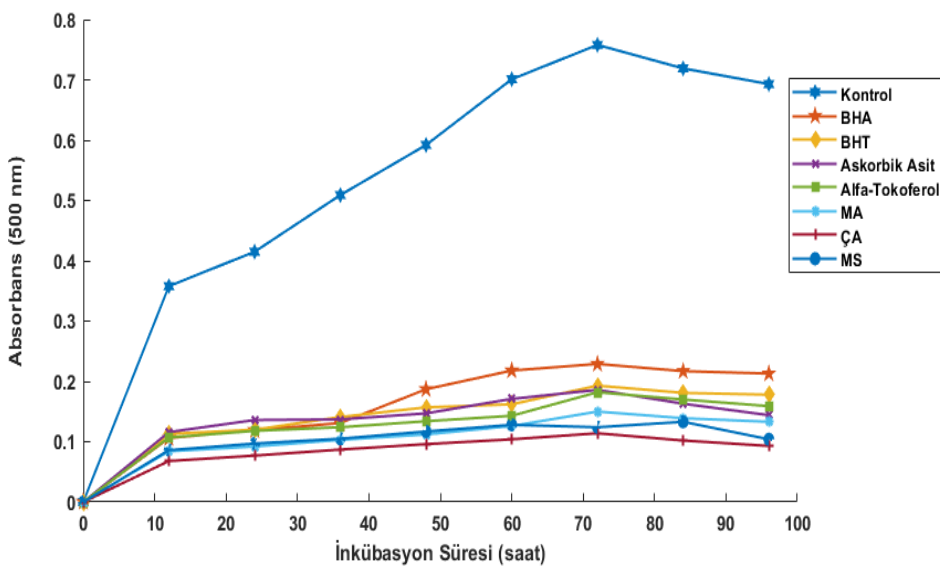


**Şekil 48. Üvez ekstraktları ve standartlarının 200 µg/mL konsantrasyonlarındaki linoleik asit peroksidasyonunun zamanla değişimi**

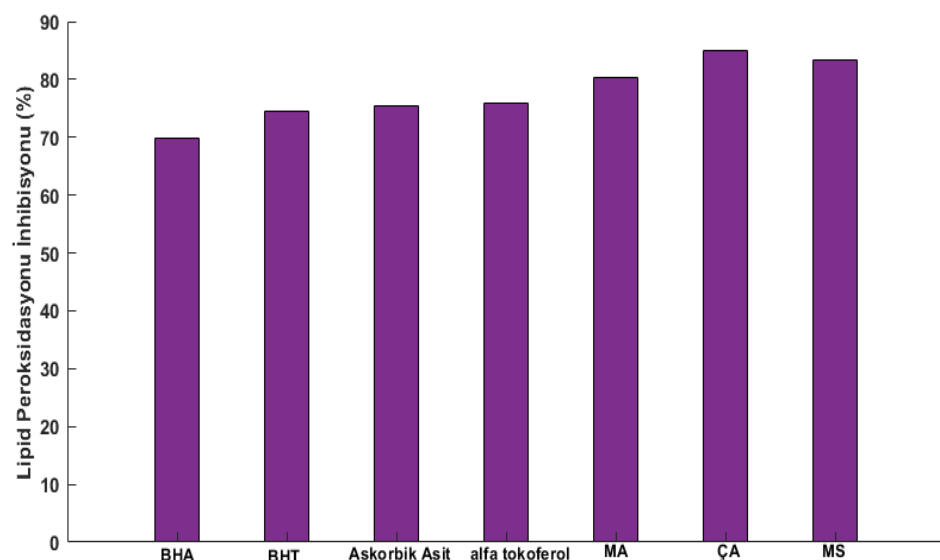


**Şekil 49. Üvez ekstraktlarının 200 µg/mL konsantrasyonlarında lipid peroksidasyonunu inhibe etme yüzdelerinin standart antioksidanlar ile değerlendirilmesi**

Şekil 49'a göre 200 µg/mL konsantrasyonunda hazırlanan üvez meyvesinin su ve aseton ekstraktlarının lipid peroksidasyonunu inhibe etme miktarları sırasıyla %83.31±0,24 ve %81.33±0,04 iken, üvezin çiçeğinin aseton ekstraktının lipid peroksidasyonu inhibisyonu %84.59±0,72, standart olarak kullanılan BHA, BHT, Askorbik asit ve  $\alpha$ -tokoferolün lipid peroksidasyonunu inhibe etme oranları ise sırasıyla %69.88±0,72, %76.53±0,94, %77.37±0,08, %76.95±0,51 olarak belirlendi.



**Şekil 50. Ekstraktların ve standartların 250 µg/mL konsantrasyonlarındaki linoleik asit peroksidasyonunun zamanla değişimi**



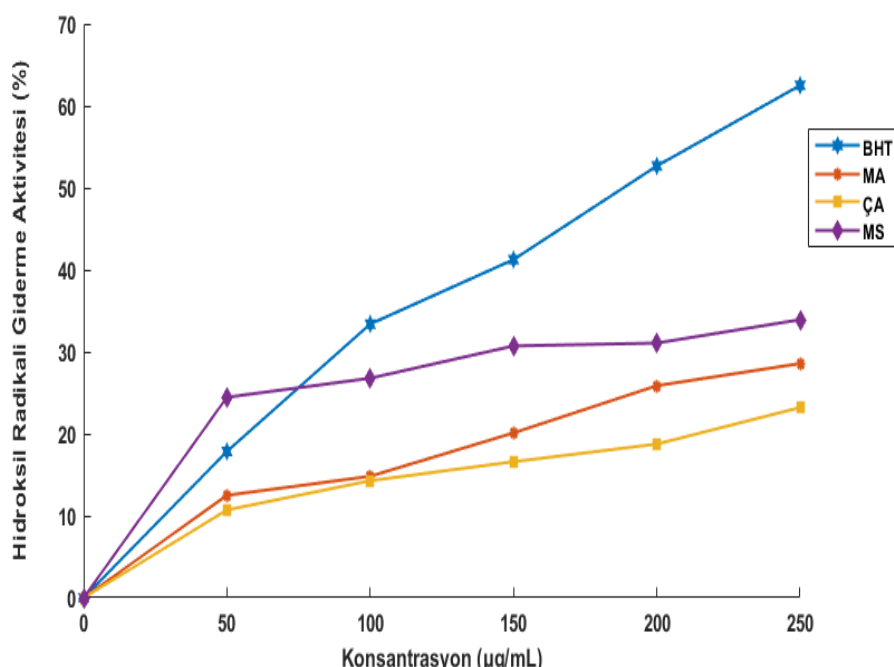
**Şekil 51. Ekstraktların 250 µg/mL konsantrasyonlarında lipid peroksidasyonunu inhibe etme yüzdelerinin standart antioksidanlar ile değerlendirilmesi**

Şekil 51'e göre 250 µg/mL konsantrasyonunda hazırlanan üvezin meyvesinin su ve aseton ekstraktlarının lipid peroksidasyonunu inhibe etme oranları sırasıyla  $\%83.47 \pm 0,88$  ve  $\%80.22 \pm 0,89$ , üvezin çiçeğinin aseton ekstraktının lipid peroksidasyonunu inhibe etme yüzdesi  $\%84.97 \pm 0,95$  iken, standart olarak kullanılan BHA, BHT, Askorvik asit ve  $\alpha$ -tokoferolün lipid peroksidasyonunu inhibe etme miktarları ise sırasıyla  $\%69.79 \pm 0,10$ ,  $\%74.54 \pm 0,17$ ,  $\%75.47 \pm 0,82$ ,  $\%75.99 \pm 0,05$  olarak belirlendi.

## HİDROKSİL RADİKALİ GİDERME AKTİVİTESİ

Üvez ekstraktlarının hidroksil radikalini giderme aktivitesi,  $\text{Fe}^{3+}$ /askorbat/EDTA/ $\text{H}_2\text{O}_2$  sistemi ile oluşturulan hidroksil radikallerinin deoksiribozu bozundurması ile meydana gelen tiyobarbitürik asit reaktif ürünlerinin 532 nm'de ölçümü ile belirlenmiştir.

Standart olarak BHT kullanıldı. Ekstraktların hidroksil radikalini gidermeleri aktiviteleri aşağıdaki grafiğe göre belirlendi (Şekil 52).



Şekil 52. Üvez ekstraktlarının hidroksil radikal giderme aktiviteleri

Üvezin meyvesinin aseton ekstraktının 50-250  $\mu\text{g}/\text{mL}$  konsantrasyonlarındaki hidroksil radikal giderme aktiviteleri sırasıyla;  $\%12.5 \pm 0.41$ ,  $\%14.82 \pm 0.14$ ,  $\%20.11 \pm 0.22$ ,  $\%25.89 \pm 0.28$ ,  $\%28.57 \pm 0.71$  olarak belirlendi.

Üvezin çiçeğinin aseton ekstraktının 50-250  $\mu\text{g}/\text{mL}$  konsantrasyonlarındaki hidroksil radikal giderme aktiviteleri ise sırasıyla;  $\%10.71 \pm 0.42$ ,  $\%14.28 \pm 0.57$ ,  $\%16.60 \pm 0.71$ ,  $\%18.75 \pm 0.88$ ,  $\%23.21 \pm 0.42$  olarak bulundu.

Üvezin meyvesinin ise su ekstraktının 50-250  $\mu\text{g}/\text{mL}$  konsantrasyonlarındaki hidroksil radikal giderme aktivitelerinin sırasıyla;  $\%24.46 \pm 0.42$ ,  $\%26.78 \pm 0.57$ ,  $\%30.72 \pm 0.25$ ,  $\%31.07 \pm 0.14$ ,  $\%33.92 \pm 0.85$  olarak arttığı tespit edildi.

Standart olarak kullanılan BHT'nin 50-250  $\mu\text{g/mL}$  konsantrasyonlarındaki hidroksil radikal giderme aktivitesinin sırasıyla; %17.85 $\pm$ 0,71, %33.39 $\pm$ 0,28, %41.25 $\pm$ 0,15, %52.67 $\pm$ 0,85, %62.5 $\pm$ 0,32 şeklinde konsantrasyon arttıkça arttığı tespit edildi.

$\text{OH}^\bullet$  radikalinin %50'sini gidermek için gerekli konsantrasyon olan  $\text{EC}_{50}$  değerleri hesaplanarak sonuçlar değerlendirilmiştir (Tablo 11).

**Tablo 11. Hidroksil radikal verilerinden hesaplanan  $\text{EC}_{50}$  değerleri**

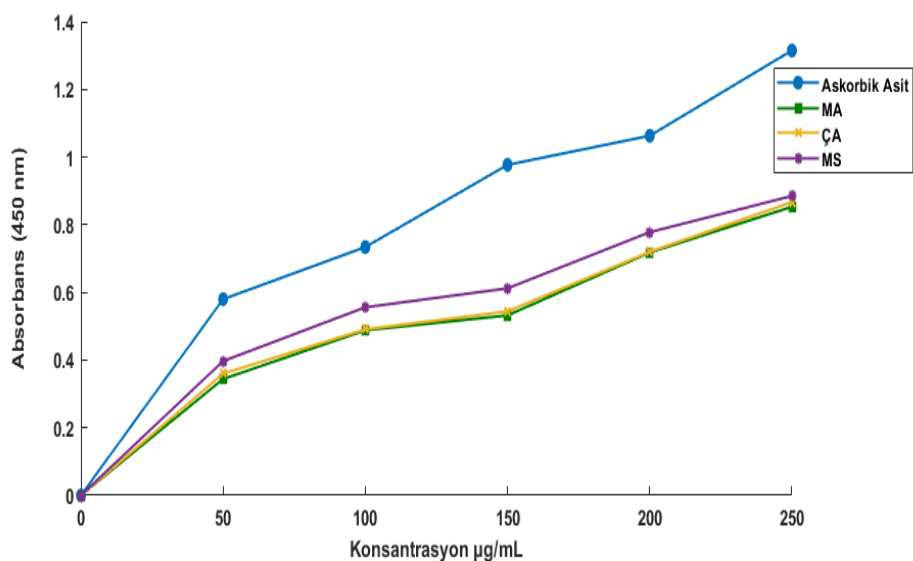
EC <sub>50</sub> ( $\mu\text{g/mL}$ )		
<b>Ekstraktlar</b>		
<b>Meyve-su</b>	<b>Çiçek-aseton</b>	<b>Meyve- aseton</b>
12.48 $\pm$ 0,81	7.80 $\pm$ 0,25	10.14 $\pm$ 0,29
<b>Standart</b>		
<b>BHT</b>		
14.62 $\pm$ 0,57		

Tablo 11'de görüldüğü gibi düşük EC<sub>50</sub> değeri yüksek radikal giderme aktivitesinin belirtisi olduğu görüşünden hareketle, en düşük EC<sub>50</sub> değerinin meyve-su ekstraktında olduğu, dolayısıyla en yüksek radikal giderme aktivitesine meyve-su ekstraktında rastlandığı saptandı.

### **BAKIR İYONLARINI İNDİRGENME POTANSİYELİ (CUPRAC METODU)**

Cu(II) iyonlarını indirgeme kapasitesine dayanarak toplam antioksidan miktarını ölçmeye yarayan bir yöntemdir. Ayrıca Cu(II) serbest radikal reaksiyonlarını hızlandırarak katalizör görevi de görür.

Metodun sonucunda 450 nm'de okunan yüksek absorbans yüksek bir indirgeme gücünün göstergesidir. Ekstraktların bakır iyonlarını indirgeme gücü konsantrasyon-absorbans grafiği Şekil 53'te verilmiştir.



**Şekil 53. Ekstraktların ve askorbik asidin bakır iyonlarını indirgeme gücü**

Üvezin meyvesinin aseton ekstraktının 50-250  $\mu\text{g/mL}$  konsantrasyonlarındaki bakır iyonlarını indirgeme gücü sırasıyla  $0.344 \pm 0.038$ ,  $0.488 \pm 0.021$ ,  $0.532 \pm 0.030$ ,  $0.718 \pm 0.009$ ,  $0.853 \pm 0.050$  olarak belirlendi.

Üvezin meyvesinin su ekstraktının 50-250  $\mu\text{g/mL}$  konsantrasyonlarındaki bakır iyonlarını indirgeme gücü ise sırasıyla  $0.397 \pm 0.065$ ,  $0.556 \pm 0.081$ ,  $0.612 \pm 0.066$ ,  $0.778 \pm 0.070$ ,  $0.885 \pm 0.016$  olarak tespit edildi.

Üvezin çiçeğinin aseton ekstraktının 50-250  $\mu\text{g/mL}$  konsantrasyonlarındaki bakır iyonlarını indirgeme gücünün sırasıyla  $0.360 \pm 0.039$ ,  $0.491 \pm 0.072$ ,  $0.544 \pm 0.040$ ,  $0.720 \pm 0.020$ ,  $0.867 \pm 0.071$  olduğu bulundu.

Ekstraktların EC<sub>50</sub> değeri hesaplanarak da sonuçlar değerlendirildi (Tablo 12).

**Tablo 12. Bakır iyonlarını indirgeme gücü sonuçlarından hesaplanan EC<sub>50</sub> değerleri**

EC <sub>50</sub> ( $\mu\text{g/mL}$ )		
Ekstraktlar		
Meyve-su	Çiçek-aseton	Meyve- aseton
$0,231 \pm 0,025$	$0,206 \pm 0,075$	$0,223 \pm 0,025$
Standart		
Askorbik Asit		
$0,348 \pm 0,075$		

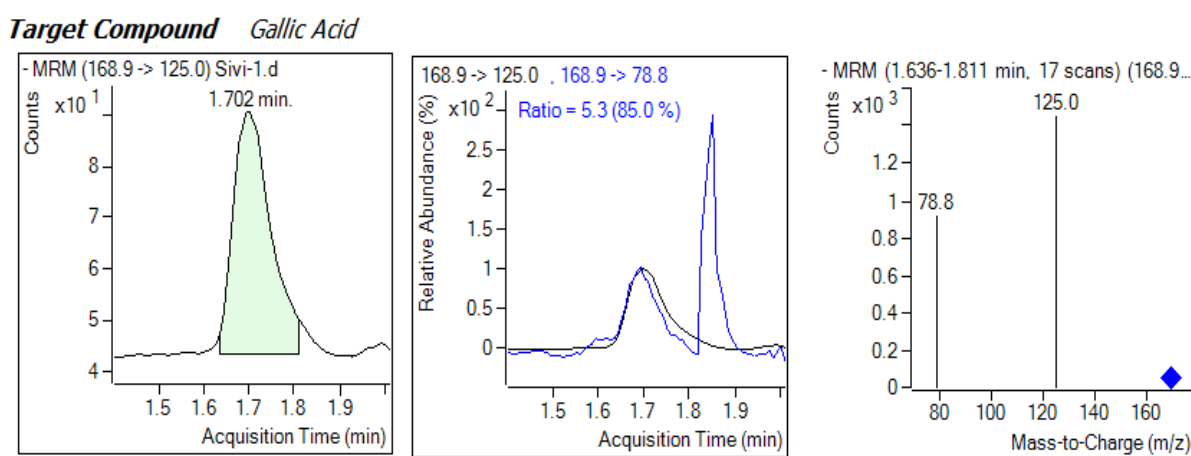
Tablo 12'ye göre; çalışılan ekstraktlar içinde en düşük EC<sub>50</sub> değeri çiçek-aseton ekstraktında, en yüksek EC<sub>50</sub> değeri askorbik asit tayin edildi.

### **LC-MS/MS YÖNTEMİ İLE FENOLİK MADDE ANALİZİ**

Bitki ekstraktının fenolik madde analizi Petra ve arkadaşlarının belirledikleri metoda göre yapıldı. Toplam fenolik madde içeriğinin belirlenmesinde ve diğer antioksidan aktivite denemelerinde ekstraktlar içinde en yüksek aktivite meyvenin su ekstraktında olduğu için fenolik madde analizinde bu ekstrakt kullanılmıştır. Ekstraktın içerdiği fenolik madde miktarı ppb olarak belirlenmiştir.

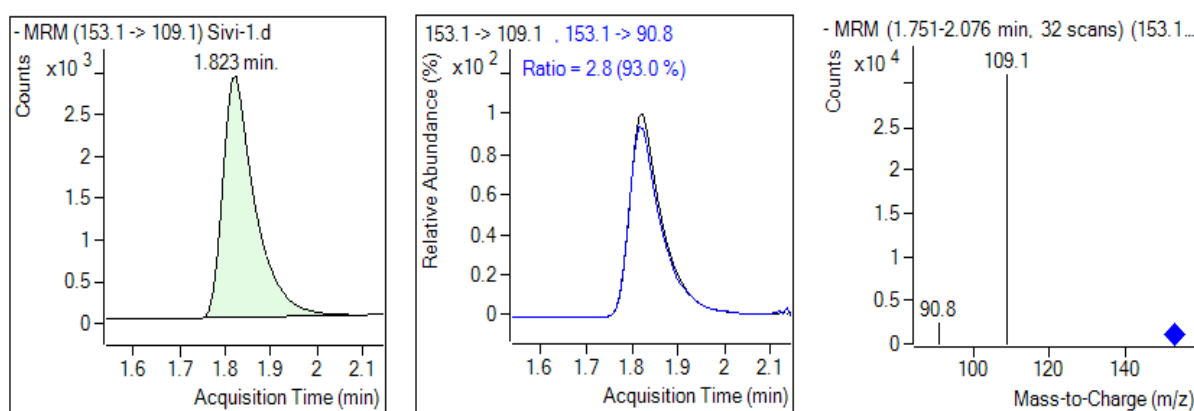
**Tablo 13. Üvezin meyve ekstraktından elde edilen fenolik maddeler ve konsantrasyonları**

Bulunan Fenolik Maddeler	Konsantrasyon (ppb)
Gallik asit	33,3328
Protokatekuik asit	3110,1348
Salisilik asit	472,5628
Siringik asit	468,5860
Rutin	158,2384
Absisik asit	1832,3300
Jasmonik asit	5,1800
GSH	3,2825
GSSG	7,4536



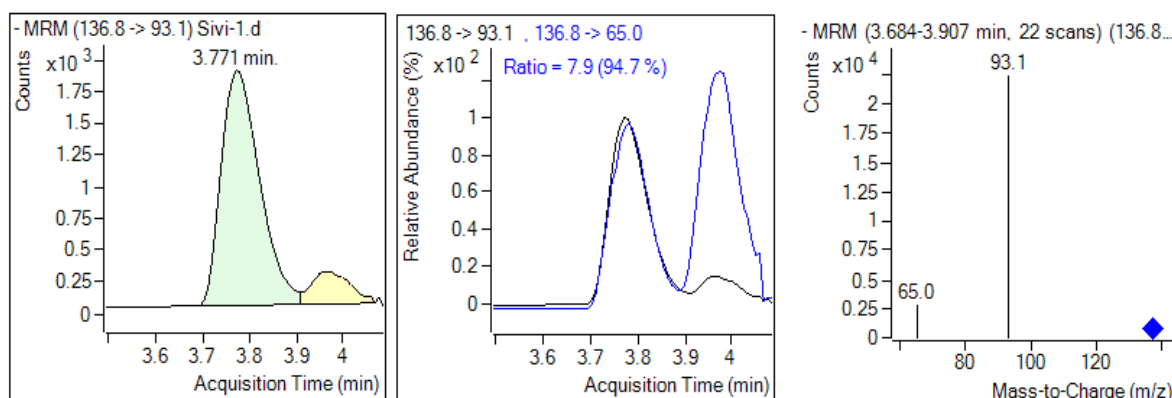
**Şekil 54. Üvezin meyve ekstraktının gallik asit spektrumu**

**Target Compound Protocatechuic Acid**



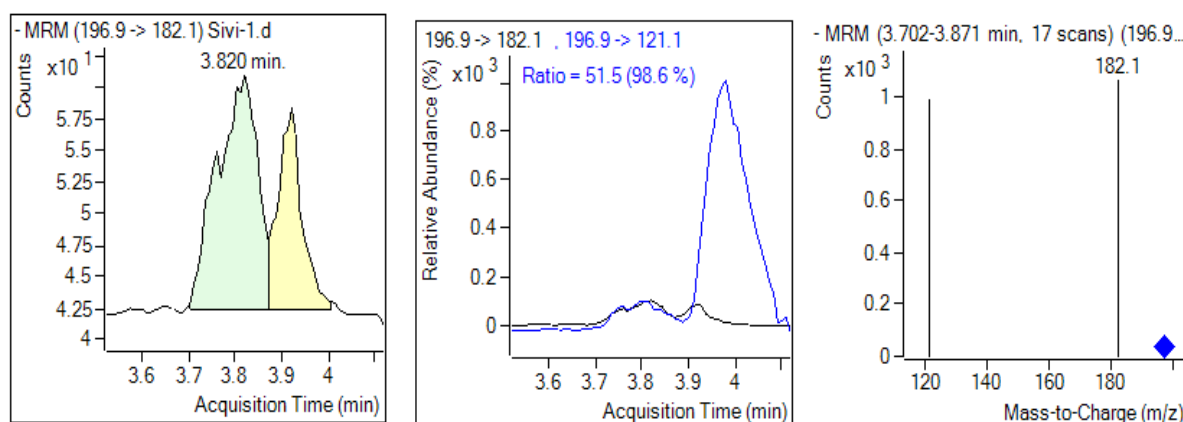
**Şekil 55. Üvezin meyve ekstraktının protokatekuik asit spektrumu**

**Target Compound Salicylic Acid**



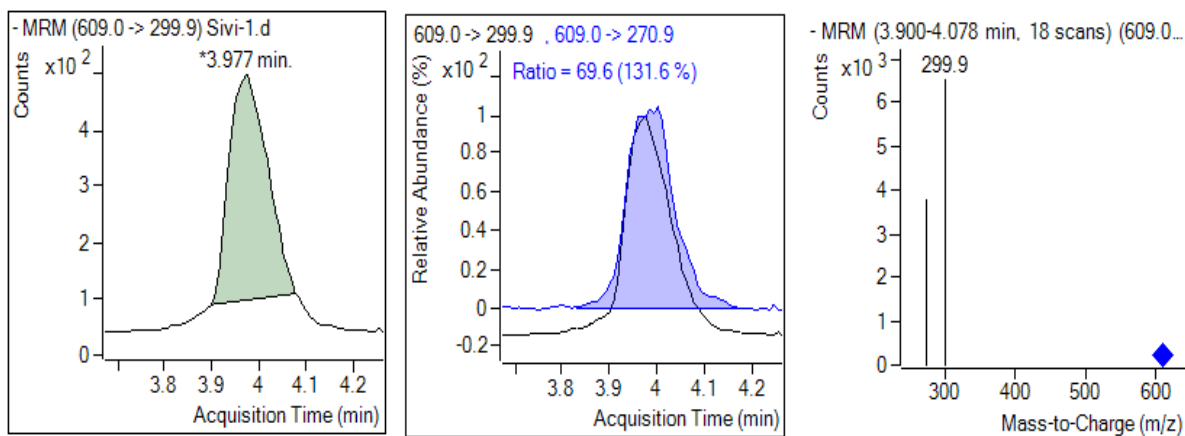
**Şekil 56. Üvezin meyve ekstraktının salisilik asit spekturumu**

**Target Compound Syringic Acid**



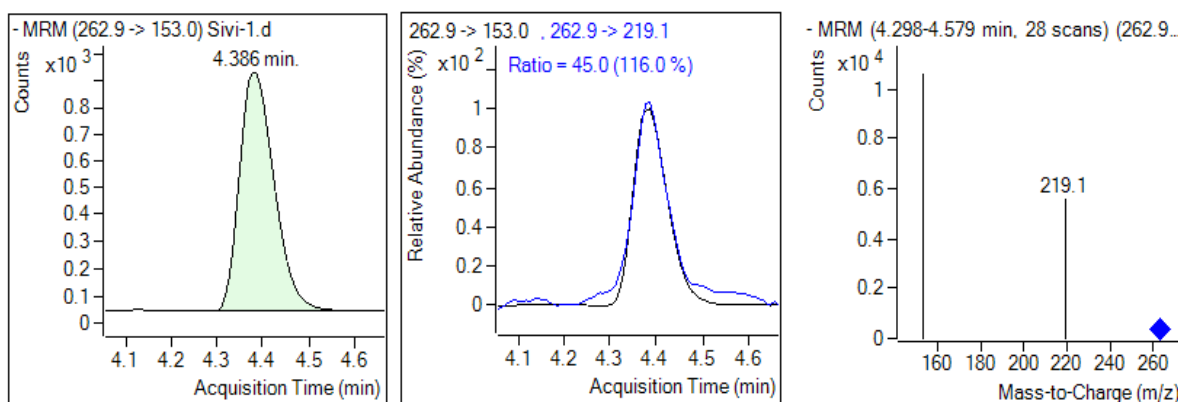
**Şekil 57. Üvezin meyve ekstraktının syringik asit spektrumu**

**Target Compound Rutin**



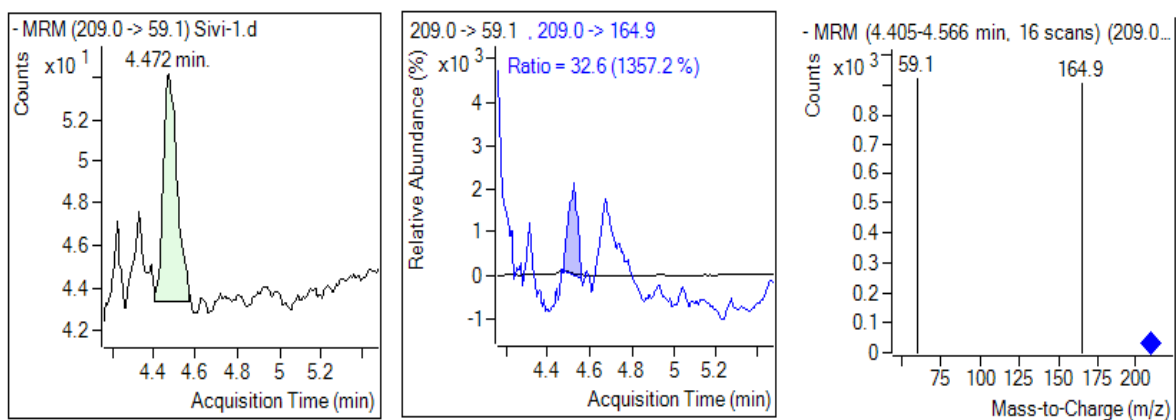
**Şekil 58. Üvezin meyve ekstraktının rutin spektrumu**

**Target Compound Abscisic Acid**



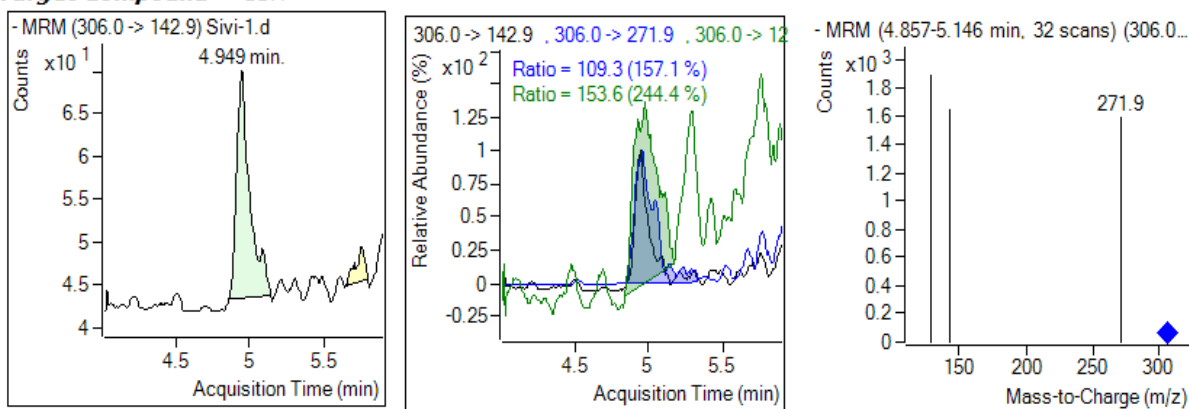
**Şekil 59. Üvezin meyve ekstraktının absisik asit spektrumu**

**Target Compound Jasmonic Acid**



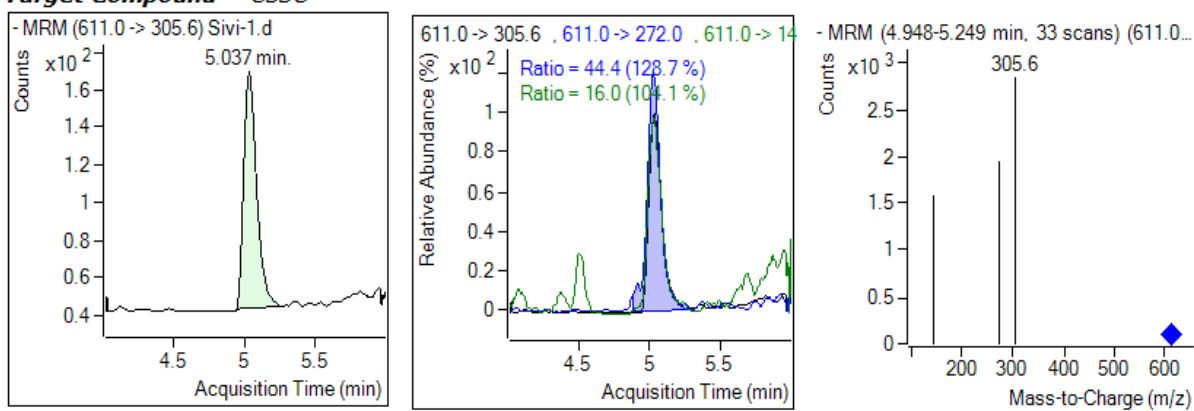
**Şekil 60. Üvezin meyve ekstraktının jasmonik asit spektrumu**

**Target Compound GSH**



**Şekil 61. Üvezin meyve ekstraktının GSH spektrumu**

**Target Compound GSSG**



**Şekil 62. Üvezin meyve ekstraktının GSSG spektrumu**

**Tablo 14. Üvezin meyvesinde bulunan 9 önemli fenolik bileşığın alikonma süreleri ve m/z değerleri**

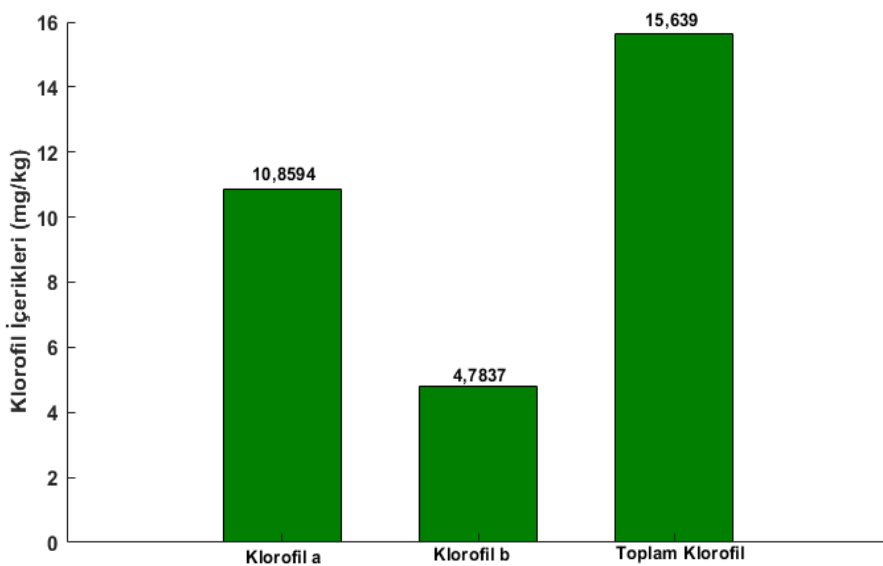
Pik değeri	Bileşik	Alikonma süresi	[M-H] <sup>-</sup> (m/z)
1	Gallik asit	1,694	169
2	Protokatekuik asit	1,823	153
3	Salisilik asit	3,771	137
4	Siringik asit	3,778	197
5	Rutin	3,968	609
6	Absisik asit	4,386	263
7	Jasmonik asit	4,481	209
8	GSH	4,949	306
9	GSSG	5,037	611

### KLOROFİL TAYİNİ

Klorofil fotosentez işlemi için gerekli olup yeşil bitkilerde bulunan pigmentler karışımıdır. Klorofil a (mavi-yeşil renkli) ve klorofil b (sarı-yeşil renkli)' den oluşmuştur.

Üvez yaprağının klorofil miktarı yaş ağırlığı esas alınarak mg/yaş kg olarak hesaplandı (Şekil 63).

Üvez yağınaının, klorofil a, klorofil b ve toplam klorofil içeriği sırasıyla 10.8594 mg/kg(yaş), 4.7837 mg/kg(yaş), 15.6390 mg/kg(yaş) olarak belirlenmiştir.



**Şekil 63. Üvez yaprağının klorofil içeriği**

## TARTIŞMA

Bu çalışmada üvez (*S. domestica*) meyvesinin su ve aseton, çiçeğinin ise aseton ekstraktlarının toplam fenolik ve flavonoid bileşik miktarları tayin edilerek ekstraktların antioksidan aktiviteleri çeşitli metodlar kullanılarak incelenmiştir.

Üvez meyvelerinden elde edilen su ve aseton ekstraktlarının ekstraksiyon verimleri sırasıyla 327.36 mg/g, 148.37 mg/g ekstrakt olarak, çiçeğinin aseton ekstraktının ekstraksiyon verimi 61.708 mg/g ekstrakt olarak bulundu. En yüksek ekstraksiyon veriminin meyvenin su ekstraktında olduğu gözlemlendi.

## TOPLAM FENOLİK BİLESİK (TPC) TAYİNİ

Yapılan çalışmada şekil 26'ya göre fenolik madde miktarı gallik asit ekivalenti cinsinden üvez meyvesinin aseton ve su ekstraktlarının sırasıyla  $41.48 \pm 0,53$  mg/g,  $43.71 \pm 0,83$  mg/g, çiçeğinin ise aseton ekstraktının  $42.37 \pm 0,68$  mg/g ekstrakt olduğu belirlendi. Fenolik madde içerikleri gallik asit eşdeğeri olarak meyve-su > çiçek-aseton > meyve-aseton şeklinde bir azalma göstermektedir.

Üvez meyvesinin piroketaşol ekivalenti cinsinden fenolik madde miktarı Şekil 27'ye göre aseton ve su ekstraktlarının sırasıyla  $26.71 \pm 0,33$  mg/g,  $28.14 \pm 0,08$  mg/g, çiçeğinin aseton ekstraktının  $27.28 \pm 0,24$  mg/g ekstrakt olduğu belirlendi. Fenolik madde içerikleri piroketaşol eşdeğeri olarak meyve-su > çiçek-aseton > meyve-aseton şeklinde bir azalma göstermektedir.

Sanchez-Salcedo vd. (2015) tarafından yapılan bir çalışmada gallik asit ekivalenti cinsinden beyaz dut ve kara dutun su ekstraktlarının toplam fenolik madde içeriklerini sırasıyla  $12.81 \pm 0,14$  ve  $13.48 \pm 0,46$  mg/g kuru ağırlık olarak belirlemiştir (60).

Can ve Hasbal (2013) çalışmalarında akçaağaç yapraklı üvez bitkisinin su ve aseton ekstraktlarının toplam fenolik madde içeriğini gallik asit cinsinden sırasıyla  $20.44 \pm 0,910$  ve  $8.38 \pm 1,151$  mg/g olarak belirlemiştir (19). Çalışma sonuçlarımıza göre en yüksek fenolik madde içeriği meyvenin su ekstraktında gözlenmiştir.

### **TOPLAM FLAVONOID İÇERİĞİNİN TAYİNİ**

Yapılan bu çalışmada şekil 30'a göre flavonoid madde miktarı gallik asit ekivalenti cinsinden üvez meyvesinin aseton ve su ekstraktlarının sırasıyla  $76.75 \pm 0,96$  mg/g,  $80.53 \pm 1,00$  mg/g, çiçeğinin ise aseton ekstraktının  $73.91 \pm 1,21$  mg/g ekstrakt olduğu belirlendi. Flavanoid madde içerikleri gallik asit eşdeğeri olarak meyve-su>meyve-aseton>çiçek-aseton şeklinde bir azalma göstermektedir.

Üvezin meyvesinin flavonoid madde içerikleri kuersetin ekivalenti cinsinden Şekil 31'e göre aseton ve su ekstraktlarının sırasıyla  $122.81 \pm 0,82$  mg/g,  $123.96 \pm 0,61$  mg/g, çiçeğinin ise aseton ekstraktının  $121.96 \pm 0,67$  mg/g ekstrakt olduğu belirlendi. Ekstraktların flavanoid madde içerikleri kuersetin eşdeğeri olarak meyve-su>meyve-aseton>çiçek-aseton bir azalma gösterdiği tespit edildi.

Can ve Hasbal (2013) çalışmalarında *S. terminalis* bitkisinin su, etil asetat, metanol ve aseton ekstraktlarının toplam flavanoid madde içeriğini kateşin ekivalenti cinsinden sırasıyla  $12.19 \pm 2,005$ ,  $1.61 \pm 0,410$ ,  $1.73 \pm 0,612$ ,  $2.00 \pm 0,214$  mg/g olarak bulduklarını bildirmiştir (19).

Mahmoudi vd. (2016) çalışmalarında 10 farklı incir (*Ficus carica L.*) türünün; Onk Elhamam, Hamra, Zarrouk, Boughandjo, Safra, Bidha, Chatwi, Bither, Bakkor, Dhokkar türlerinin toplam flavonoid madde içeriğini kuersetin eşdeğeri olarak sırasıyla  $12.558 \pm 0,116$ ,  $12.492 \pm 0,093$ ,  $11.700 \pm 0,132$ ,  $14.455 \pm 0,396$ ,  $16.093 \pm 0,166$ ,  $15.446 \pm 0,040$ ,  $16.211 \pm 0,156$ ,  $13.980 \pm 0,060$ ,  $14.795 \pm 0,306$ ,  $11.667 \pm 0,041$  mg/g ekstrakt olarak belirlemiştir (43).

## **DEMİR (II) İYONLARINI ŞELATLAMA AKTİVİTESİ**

Ekstraktların ve standart çözeltilerin metal şelatlama aktivitesi artan konsantrasyonla birlikte artış göstermiştir. Üvezin meyvesinin aseton ve su ekstraktları ile çiçeğinin aseton ekstraktının metal şelatlama kapasitesi Şekil 32'de gösterilmiştir. Üvezin meyvesinin aseton ekstraktının  $50\text{-}250 \mu\text{g/mL}$  konsantrasyonlarında sırasıyla  $\%27.77\pm0,85$ ,  $\%28.96\pm0,92$ ,  $\%30.55\pm0,47$ ,  $\%32.14\pm0,19$ ,  $\%33.73\pm0,23$  şelatlama aktivitesi, meyvesinin su ekstraktının  $50\text{-}250 \mu\text{g/mL}$  konsantrasyonlarında sırasıyla  $\%34.52\pm0,81$ ,  $\%36.50\pm0,77$ ,  $\%38.09\pm0,53$ ,  $\%39.28\pm0,44$ ,  $\%40.47\pm0,88$  şelatlama aktivitesi, çiçeğinin aseton ekstraktının  $50\text{-}250 \mu\text{g/mL}$  konsantrasyonlarında sırasıyla  $\%31.34\pm0,78$ ,  $\%33.33\pm0,26$ ,  $\%34.92\pm0,38$ ,  $\%36.90\pm0,07$ ,  $\%38.49\pm0,41$   $\text{Fe}^{2+}$  şelatlama aktivitesi gösterdiği tespit edilmiştir.

Ekstraktlardan meyve su ekstraktının diğer ekstraktlara göre daha yüksek şelatlama aktivitesi gösterdiği ve ayrıca çalışan standartlara yakın değerlerde aktiviteye sahip olduğu ama EDTA kadar iyi olmadığı belirlenmiştir.

Adjimani ve Asare (2015) çalışmalarında 2,3-dihidroksibenzoik asit, kafeik asit, desferroksamin B ve benzohidroksamik asitin EDTA'ya göre  $\text{Fe}^{2+}$  iyonlarını şelatlama aktivitelerini kıyaslamışlar ve desferroksamin B'nin  $\%93,7$ , benzohidroksamik asitin  $\%61,5$ , kafeik asitin  $\%24,4$ , 2,3-dihidroksibenzoik asitin  $\%5,0$  olduğunu ama EDTA kadar iyi olmadığını belirlemişlerdir (1).

## **DPPH• RADİKALİ GİDERME AKTİVİTESİNİN TAYİNİ**

Çalışmamızda ekstraktların radikal giderme kapasitelerine ait grafikler Şekil 33'te görülmektedir. Buna göre artan konsantrasyonla birlikte radikal giderme aktivitesinde de bir artış görülmüştür.

Üvezin meyvesinin aseton ekstraktının  $50\text{-}250 \mu\text{g/mL}$  konsantrasyonlarında sırasıyla  $\%22.58\pm0,06$ ,  $\%25.44\pm0,41$ ,  $\%27.41\pm0,93$ ,  $\%29.03\pm0,22$ ,  $\%31.45\pm0,16$  oranında radikal giderme aktivitesi, meyvesinin su ekstraktının  $50\text{-}250 \mu\text{g/mL}$  konsantrasyonlarında sırasıyla  $\%37.90\pm0,32$ ,  $\%39.51\pm0,61$ ,  $\%41.12\pm0,90$ ,  $\%42.74\pm0,19$ ,  $\%44.35\pm0,48$  radikal giderme aktivitesi, çiçeğinin aseton ekstraktının  $50\text{-}250 \mu\text{g/mL}$  konsantrasyonlarında sırasıyla  $\%26.61\pm0,29$ ,  $\%28.22\pm0,58$ ,  $\%30.64\pm0,51$ ,  $\%32.25\pm0,80$ ,  $\%34.67\pm0,77$  radikal giderme aktivitesi tespit edildi. Ekstraktların radikal giderme aktivitelerinin sırasıyla meyve-su>çiçek-aseton>meyve-aseton şeklinde azaldığı tespit edildi.

Topçu ve Yılmaz (2011) nemrut pisiği (*Nepata sorgeare*) bitkisinin metanol ekstraktının DPPH• radikal giderme aktivitesinin 10, 25, 50, 100 µg/mL konsantrasyonlarında sırasıyla %9.050, %21.680, %40.180, %61.640 oranlarında olduğunu ve kum pisiği (*Nepata obtusicrena*) bitkisinin metanol ekstraktının DPPH• radikal giderme aktivitesinin ise 10, 25, 50, 100 µg/mL konsantrasyonlarında sırasıyla %10.600, %25.820, %45.820, %68.660 olduğunu belirlemiştir (68).

Sanchez-Salcedo vd. (2015) tarafından beyaz dut ve kara dutun DPPH• radikal giderme aktivitelerinin sırasıyla %12.64±0,22 ve %10.62±0,26 olduğu hesaplanmıştır (60).

Yapılan çalışmada tablo 5'e göre DPPH• radikal giderme aktivitesi verilerinden hesaplanan EC<sub>50</sub> değerleri üvezin meyvesinin aseton ve su ekstraktları için sırasıyla 14.08±0,44 ve 9.86±0,25, çiçeğinin aseton ekstraktının ise 10.66±0,75 olarak belirlendi.

Termentzi vd. (2006) *Sorbus domestica* meyvelerinin su ekstraktının farklı olgunluk aşamalarında DPPH• radikal giderme aktivitesi sonuçlarının EC<sub>50</sub> değerlerini 6.29±0,20, 4.829±0,12, 3.72±0,08 olarak belirlemiştir (66).

Çalışma sonuçlarımıza göre en yüksek EC<sub>50</sub> değerinin üvezin meyvesinin su ekstraktında olduğu gözlenmiştir.

## H<sub>2</sub>O<sub>2</sub> GİDERME AKTİVİTESİNİN TAYİNİ

Ekstraktlar ile standartların H<sub>2</sub>O<sub>2</sub> giderme aktiviteleri Şekil 34'te gösterilmiştir. Grafikten de görüldüğü üzere çalışmamızda kullanılan ekstraktların ve standartların H<sub>2</sub>O<sub>2</sub> giderme aktiviteleri konsantrasyona bağlıdır. 50-250 µg/mL konsantrasyonlarında hazırlanan standart ve ekstraktlar içinde en yüksek aktiviteyi meyvenin aseton (%34.37±0,72) ekstraktı göstermiştir.

Üvez ekstraktlarının H<sub>2</sub>O<sub>2</sub> giderme etkisi meyve-aseton>meyve-su>çiçek-aseton şeklinde bir azalma gösterdi. Çalışılan ekstraktların 50 µg/mL konsantrasyonları ile standartların aynı konsantrasyonunun H<sub>2</sub>O<sub>2</sub> giderme aktiviteleri karşılaştırıldığında; meyve-aseton>meyve-su>çiçek-aseton>BHA>BHT>A.Asit>α-tokoferol şeklinde bir azalma gösterdiği bulundu.

Adjimani ve Asare (2015) çalışmalarında 2,3-dihidroksibenzoik asit, kafeik asit, desferroksamin B ve benzohidroksamik asiti H<sub>2</sub>O<sub>2</sub> giderme aktivitesinin tayininde kullanılmış

ve en yüksek aktiviteyi kafeik asitin (%99,8) gösterdiği tespit edilmiştir. Buna en yakın değeri ise benzohidroksamik asidin (%99,2) izlediği bildirilmiştir (1).

## **TOPLAM FERRİK İYONLARINI ( $\text{Fe}^{+3}$ ) İNDİRGENME KAPASİTESİNİN TAYİNİ**

Ekstraktlar ve standartların indirgeme kapasiteleri Şekil 35'te gösterilmiştir. Grafikten görüldüğü gibi, standartların artan konsantrasyon ile birlikte artan bir indirgeme kapasitesinin olduğu ancak ekstraktların  $\text{Fe}^{+3}$ 'ü standartlar kadar etkili indirgeme kapasitesi göstermediği belirlenmiştir.

Üvezin meyvesinin su ekstraktının 50-250  $\mu\text{g}/\text{mL}$  konsantrasyonlarının  $\text{Fe}^{3+}$  iyonlarını  $\text{Fe}^{2+}$ 'ye indirgeme kapasiteleri sırasıyla  $0.060 \pm 0,007$ ,  $0.071 \pm 0,009$ ,  $0.079 \pm 0,002$ ,  $0.086 \pm 0,004$ ,  $0.097 \pm 0,018$ , meyvesinin aseton ekstraktının 50-250  $\mu\text{g}/\text{mL}$  konsantrasyonlarının  $\text{Fe}^{3+}$  iyonlarını indirgeme kapasitelerinin ise sırasıyla  $0.050 \pm 0,010$ ,  $0.062 \pm 0,013$ ,  $0.069 \pm 0,015$ ,  $0.081 \pm 0,011$ ,  $0.090 \pm 0,018$ , çiçeğinin aseton ekstraktının 50-250  $\mu\text{g}/\text{mL}$  konsantrasyonlarının  $\text{Fe}^{3+}$  iyonlarını indirgeme kapasitesi açısından sırasıyla  $0.057 \pm 0,021$ ,  $0.068 \pm 0,026$ ,  $0.074 \pm 0,030$ ,  $0.084 \pm 0,049$ ,  $0.093 \pm 0,081$  olduğu tespit edilmiştir.

Ekstraktların indirgeme kapasitelerinin birbirine yakın, standartların indirgeme kapasitelerinin birbirine yakın değerlerler aldığı gözlemlendi. Ekstraktların da ferrik iyonlarını indirgeme kapasitesinin meyve-su>çiçek-aseton>meyve-aseton şeklinde azaldığı, standartların ferrik iyonlarını indirgeme kapasitesinin ise  $\text{BHA}>\text{BHT}>\alpha\text{-tokoferol}>\text{a.a}$  şeklinde bir azalma gösterdiği belirlendi.

Hasbal vd. (2015) akçaağaç yapraklı üvez (*Sorbus torminalis*) bitkisinin su, etil asetat, aseton ve metanol ekstraktlarının ferrik iyonları indirgeme kapasitelerini sırasıyla  $3.51 \pm 0,060$ ,  $1.60 \pm 0,060$ ,  $1.17 \pm 0,027$ ,  $0.45 \pm 0,020$  olarak tespit etmişlerdir (36). Yapılan bu çalışmada da en yüksek indirgeme potansiyeli su ekstraktında gözlenmiştir.

## **SÜPEROKSİT ANYON RADİKALİNİ GİDERME AKTİVİTESİNİN TAYİNİ**

Ekstraktlar ile standartların süperoksit anyon radikalı giderme aktivitesi Şekil 36'da gösterilmiştir. Grafikten görüldüğü üzere artan konsantrasyon ile birlikte artan süperoksit radikal giderme aktivitesi tespit edildi. Bu metodta azalan absorbans süperoksit radikallerinin giderildiğinin göstergesidir. Ekstrakt ve standartların 50-250  $\mu\text{g}/\text{mL}$  konsantrasyonlarında çalışılmıştır.

Üvezin meyvesinin su ekstraktının 50-250  $\mu\text{g/mL}$  konsantrasyonlarının süperoksit radikalı giderme aktiviteleri sırasıyla  $\%36.77 \pm 0,91$ ,  $\%37.43 \pm 0,19$ ,  $\%38.08 \pm 0,48$ ,  $\%38.73 \pm 0,77$ ,  $\%39.06 \pm 0,42$ , çiçeğinin aseton ekstraktının 50-250  $\mu\text{g/mL}$  konsantrasyonlarının süperoksit radikalı giderme aktiviteleri sırasıyla  $\%36.99 \pm 0,67$ ,  $\%37.97 \pm 0,60$ ,  $\%38.52 \pm 0,01$ ,  $\%39.39 \pm 0,06$ ,  $\%39.71 \pm 0,73$ , meyvesinin aseton ekstraktının 50-250  $\mu\text{g/mL}$  konsantrasyonlarının süperoksit radikalı giderme aktiviteleri ise sırasıyla  $\%34.71 \pm 0,16$ ,  $\%35.47 \pm 0,33$ ,  $\%35.79 \pm 0,97$ ,  $\%36.23 \pm 0,50$ ,  $\%36.45 \pm 0,26$  olarak belirlendi.

Çalışılan ekstraktların 100  $\mu\text{g/mL}$  konsantrasyonları ile standartların süperoksit anyon radikalı giderme aktiviteleri karşılaştırıldığında; A.Asit>BHA>BHT>ÇA>MS>MA şeklinde bir azalma olduğu belirlendi.

Hasbal vd. (2015) akçaağaç yapraklı üvez (*Sorbus torminalis*) bitkisinin su, etil asetat, aseton ve metanol ekstraktlarının süperoksit anyon radikalı giderme aktiviteleri karşılaştırıldığında; quersetin>etil asetat>su>aseton>metanol şeklinde bir azalma olduğunu belirlemiştir (36).

### **ABTS<sup>•+</sup> RADİKALİ GİDERME AKTİVİTESİNİN TAYİNİ**

Ekstraktların ABTS<sup>•+</sup> radikalini giderme aktivitelerinin konsantrasyona bağlı olduğu bulunmuştur. Bu metodta artan absorbans ABTS<sup>•+</sup> radikallerinin giderildiği anlamına gelmektedir. Ekstraktların ve standartların hepsi meyvenin aseton ekstraktından daha düşük oranda ABTS<sup>•+</sup> radikalı giderme aktivitesi göstermiştir. ABTS<sup>•+</sup> radikalı giderme aktiviteleri karşılaştırıldığında standartların BHA>A.Asit>BHT> $\alpha$ -tokoferol, ekstraktların ise meyve-aseton>çiçek-aseton>meyve-su sırasında bir azalma gösterdiği belirlenmiştir.

Alanon vd. (2011) ak meşe (*Quercus alba*), sapsız meşe (*Quercus petraea*), pyrenean meşesi (*Quercus pyrenaica*), saplı meşe (*Quercus robur*), anadolu kestanesi (*Castanea sativa*), kiraz (*Prunus avium*) olmak üzere bu bitki türlerinin ABTS<sup>•+</sup> radikalı giderme aktivitelerini sırasıyla;  $0.28 \pm 0,00$ ,  $1.34 \pm 0,12$ ,  $1.39 \pm 0,08$ ,  $2.21 \pm 0,08$ ,  $1.32 \pm 0,05$ ,  $0.12 \pm 0,01$  olarak belirlemiştir (4).

Hasbal vd. (2015) akçaağaç yapraklı üvez (*Sorbus torminalis*) bitkisinin su, etil asetat, aseton ve metanol ekstraktlarının ABTS<sup>•+</sup> radikalı giderme aktivitesini sırasıyla  $1.37 \pm 0,051$ ,  $0.94 \pm 0,0470$ ,  $0.71 \pm 0,091$ ,  $0.50 \pm 0,084$  olarak tespit etmişlerdir (36).

ABTS<sup>•+</sup> radikali için EC<sub>50</sub> değerleri üvezin meyvesinin su ekstraktının 10.97±0,25, aseton ekstraktının 9.14±0,50, çiçeğinin aseton ekstraktının ise 10.73±075 olarak belirlenmiştir. Standartların BHA, BHT, α-tokoferol ve askorbik asit için ise sırasıyla; 6.48±0,25, 5.07±0,50, 5.65±0,50, 6.35±0,45 olarak tespit edilmiştir.

Hasbal vd. (2015) akçaağaç yapraklı üvez (*Sorbus torminalis*) bitkisinin su, etil asetat, aseton ve metanol ekstraktlarının ABTS<sup>•+</sup> radikali için EC<sub>50</sub> değerlerini sırasıyla 5.30±0,166, 9.30±0,449, 13.23±0,341, 27.53±4,097 kuersetin ve α-tokoferol standartları için ise 0.12±0,001, 0.49±0,035 olarak belirlemiştir (36).

## **FOSFOMOLİBDEN METODU İLE TOPLAM ANTİOKSIDAN AKTİVİTE TAYİNİ**

Konsantrasyon artışı ile birlikte üvez ekstraktlarının da toplam antioksidan aktivitelerinin arttığı gözlemlendi. Çalışmamızda standart antioksidan olarak α-tokoferol kullanıldı. Ekstraktların ve α-tokoferolün toplam antioksidan aktiviteleri α-tokoferol>meyve-su>çiçek-aseton>meyve-aseton sırasında bir azalma gösterdi.

Başak vd. (2008) topajdarbaşı (*Lallemandia canescens* L.) bitkisinin ve kallus doku kültürünün fosfomolibden metoduna göre toplam antioksidan aktivitelerini sırasıyla 5.483±0,232 mg AE/mL, 4.615±0,283 mg AE/mL olarak belirlemiştir (65).

## **ANTOSİYANİN TAYİNİ**

Bu metoda göre üvez ekstraktının antosiyanan içeriği kateşin ekivalenti olarak hesaplandı. Katesin standart grafik denklemi  $y=0,003x+0,0034$  bulundu. Meyvenin su ekstraktının antosiyanan içeriği kateşin ekivalenti olarak 19.22±0,12 mg KE/g, aseton ekstraktının antosiyanan içeriği kateşin ekivalenti olarak 15.85±0,20 mg KE/g, çiçeğinin aseton ekstraktının ise antosiyanan içeriği kateşin ekivalenti olarak 14.05±0,33 mg KE/g olarak belirlendi.

Ekşi ve Damar (2010) vişne suyunun antosiyanan profilinin belirlenmesi için yaptıkları çalışmada 10 farklı fraksiyon için sırasıyla 5.6 - 6.6 - 7.4 - 6.0 - 5.6 - 4.4 - 5.1 - 9.9 - 3.7 ve 3.4 mg KE/L cinsinden belirlemiştir (27).

Özen ve Akbulut (2008) dut suyunun antosianin içeriğinin belirlenmesi için yaptıkları çalışmada etanol ekstraktının antosianin miktarını iki farklı örnek için sırasıyla 363.702 mg KE/L ve 371.717 mg KE/L cinsinden belirlemiştir (49).

## LİNOLEİK ASİT SİSTEMİNDE FERRİK TİYOSİYANAT (FTC) METODU İLE TOPLAM ANTİOKSİDAN AKTİVİTE TAYİNİ

Ferrik tiyosiyonat (FTC) metoduna göre belirlenen lipid peroksidasyonu, Şekil 43'te görüldüğü gibi 50 µg/mL konsantrasyonunda hazırlanan ekstraktların ve standartların lipid peroksidasyonunu inhibe etme oranları sırasıyla çiçek-aseton>meyve-su>meyve-aseton>α-tokoferol>Askorbik Asit>BHA>BHT şeklinde bir azalma göstermektedir.

Şekil 45'te görüldüğü gibi 100 µg/mL konsantrasyonunda hazırlanan ekstraktların ve standartların lipid peroksidasyonunu inhibe etme miktarları sırasıyla çiçek-aseton>meyve-su>meyve-aseton>α-tokoferol>Askorbik Asit>BHA>BHT şeklinde bulundur.

Şekil 47'de görüldüğü gibi 150 µg/mL konsantrasyonunda hazırlanan ekstraktların ve standartların lipid peroksidasyonunu inhibe etme yüzdesleri ise sırasıyla çiçek-aseton>meyve-su>meyve-aseton>α-tokoferol>BHT>Askorbik Asit>BHA şeklinde azalmıştır.

Şekil 49'da görüldüğü gibi 200 µg/mL konsantrasyonunda hazırlanan ekstraktların ve standartların lipid peroksidasyonunu inhibe etme sırası çiçek-aseton>meyve-su>meyve-aseton>Askorbik Asit>α-tokoferol>BHT>BHA şeklinde bulunmuştur.

Şekil 51'de görüldüğü gibi 250 µg/mL konsantrasyonunda hazırlanan ekstraktların ve standartların lipid peroksidasyonunu inhibe etme sırası çiçek-aseton>meyve-su>meyve-aseton>α-tokoferol>Askorbik Asit>BHT>BHA şeklinde belirlenmiştir.

Şekillerden de görüldüğü üzere tüm konsantrasyonlarda en yüksek lipid peroksidasyonunu inhibe etme yüzdesi çiçek-aseton ekstraktında tespit edilmiştir. Ayrıca tüm konsantrasyonlarda ekstraktların lipid peroksidasyonunu inhibe etme yüzdeslerinin çiçek-aseton>meyve-su>meyve-aseton şeklinde birbirleri ile uyumlu olduğu görülmektedir. Ayrıca tüm konsantrasyonlarda standartların lipid peroksidasyonunu inhibe etme yüzdeslerinin ekstraktlar ile uyumlu olduğu belirlenmiştir.

Rezaeizadeh vd. (2011) kudret narının (*Momordica charantia*) metanol ve kloroform ekstraktlarının ve BHT, Vitamin E ve Vitamin C'nin lipid peroksidasyonunu inhibe etme

miktarlarını 24 saatte bir ölçüm alarak 192 saat boyunca takip etmişler, ekstraktların ve standartların 168. saat sonunda lipid peroksidasyonunu inhibe etme oranlarını metanol ve kloroform ekstraktları için sırasıyla  $\%1.14\pm0,027$ ,  $\%1.68\pm0,052$ , standart olarak kullanılan BHT, Vitamin E ve Vitamin C için ise sırasıyla  $\%0.08\pm0,006$ ,  $\%0.65\pm0,072$ ,  $\%1.28\pm0,034$  olarak belirlemiştir (58).

## **HİDROKSİL RADİKALİ GİDERME AKTİVİTESİ**

Şekil 52'de görüldüğü gibi en yüksek hidroksil radikalı giderme aktivitesini standart olarak kullanılan BHT göstermiştir. Konsantrasyon artışı ile birlikte artan bir hidroksil radikalı giderme aktivitesi tespit edilmiştir.  $250 \mu\text{g/mL}$  konsantrasyonunda hazırlanan ekstraktların ve standartın hidroksil radikalini giderme aktiviteleri sırasıyla BHT>meyve-su>meyve-aseton>çiçek-aseton şeklinde bir azalma göstermektedir.

Reaksiyon ortamındaki hidroksil radikalleri için  $\text{EC}_{50}$  değerleri sırasıyla BHT ( $14,62\pm0,57$ )>çiçek-aseton( $12,48\pm0,81$ )>meyve-aseton( $10,14\pm0,29$ )>meyve-su( $7,80\pm0,25$ ) şeklinde belirlenmiştir.

Radojkovic vd. (2016) beyaz dut ve kara dutun su ekstraktlarının hidroksil radikallerinin %50'sinin yok edilmesi için gereken etkili antioksidan konsantrasyonu olan  $\text{EC}_{50}$  değerlerini sırasıyla  $0.164\pm0,011 \mu\text{g/mL}$ ,  $0.159\pm0,089 \mu\text{g/mL}$ , BHT için  $0.149\pm0,008 \mu\text{g/mL}$  olarak belirlemiştir (54).

## **BAKIR İYONLARINI İNDİRGENME POTANSİYELİ (CUPRAC METODU)**

Ekstraktların bakır iyonlarını indirgeme gücü Cardenas ve arkadaşlarının metoduna göre belirlendi. Şekil 53'te görüldüğü gibi en yüksek bakır iyonlarını indirgeme gücünü standart olarak kullanılan Askorbik asit göstermiştir. Konsantrasyon artışı ile birlikte artan bir indirgeme potansiyeli tespit edilmiştir.  $200 \mu\text{g/mL}$  konsantrasyonda hazırlanan ekstraktların ve askorbik asidin bakır iyonlarını indirgeme gücü sırasıyla Askorbik asit >meyve-su>çiçek-aseton>meyve-aseton şeklinde bir azalma göstermektedir.

Reaksiyon ortamındaki bakır iyonlarının %50'sinin yok edilmesi için gereken etkili antioksidan konsantrasyonu olan  $\text{EC}_{50}$  değerleri sırasıyla Askorbik asit>ÇA>MA>MS şeklinde bir azalma göstermektedir fakat düşük  $\text{EC}_{50}$  değeri yüksek indirgeme gücünün bir göstergesidir.

Aktümsek ve Arkan (2011) defnenin (*Daphne Sericea*) hekzan, etilasetat, metanol, etanol ekstraktları ile askorbik asidin  $50 \mu\text{g/mL}$  konsantrasyonunun bakır iyonlarını indirgeme potansiyelini sırasıyla  $\%0.206 \pm 0,004$ ,  $\%0.430 \pm 0,010$ ,  $\%0.354 \pm 0,009$ ,  $\%0.394 \pm 0,011$ ,  $\%0.902 \pm 0,032$  olarak belirlemiştir (3).

## **LC-MS/MS YÖNTEMİ İLE FENOLİK MADDE ANALİZİ**

Üvezin meyve ekstraktının LC-MS/MS yöntemine göre fenolik madde analizi Terpinc ve arkadaşlarının belirlemiş oldukları metoda göre yapıldı. Şekil 54-62'de elde edilen fenolik maddelerin spektrumları gösterilmiştir. Tablo 13'te görüldüğü gibi analizi yapılan meyve ekstraktının bileşiminde bulunan fenolik maddeler; gallik asit, protokatekuik asit, salisilik asit, siringik asit, rutin, absisik asit, jasmonik asit, glutatyon ve okside glutatyondur. Bu fenolik maddeler içinde üvezin meyve ekstraktında en fazla konsantrasyonda protokatekuik asit ( $3110,1348 \mu\text{g/kg}$ ) en düşük konsantrasyonda ise GSH ( $3,2825 \mu\text{g/kg}$ ) bulunmuştur.

Meyve ekstraktındaki fenolik maddelerin konsantrasyona göre sıralaması yapıldığında protokatekuik asit>absisik asit>siringik asit>salisilik asit>rutin>gallik asit>GSSG>jasmonik asit>GSH şeklinde azalduğu tespit edilmiştir.

Radojkovic vd. (2016) tarafından beyaz dut ve kara dutun su ekstraktlarından elde edilen fenolik maddeler; gallik asit, protokatekuik asit, kateşin, kafeik asit, kafeik asit türevleri, vanilik asit, klorogenik asit, epikateşin, rutin ve kuersetin türevleridir. Dut ekstraktlarında kafeik asidin yüksek oranda bulunduğu, klorogenik asidin ise düşük konsantrasyonda olduğunu bildirmiştir (54).

## **KLOROFİL TAYİNİ**

Taze üvez yaprağının klorofil miktarı Şekil 63'e göre klorofil a, klorofil b ve toplam klorofil içeriği cinsinden sırasıyla  $10.8594$ ,  $4.7837$  ve  $15.6390 \text{ mg/kg}$  yaş ağırlık olarak bulunmuştur.

Başaş ve Karacif (2012) elma ve armut yapraklarının toplam klorofil miktarını  $0.162 \pm 0,019 \text{ mg/kg}$  yaş ağırlık ve  $0.210 \pm 0,025 \text{ mg/kg}$  yaş ağırlık olarak hesaplamışlardır (11).

## **SONUÇLAR**

Vücutumuz gerek metabolizma sonucu, gerek çevresel sorunlar ya da çeşitli sebeplerden dolayı oluşan serbest radikalleri yok etmek için antioksidan sistemler ile donatılmıştır. Bu serbest radikaller yok edilmediği sürece kalp-damar hastalıkları, kanser, katarakt, nörodejenaratif hastalıklar gibi daha birçok hastalık etkenlerinin oluşmasına sebep olmaktadır.

Son yıllarda antioksidan aktiviteyle ilgili olan çalışmaların artması bu hastalıkların tedavisinde alternatif tıbbı büyük katkı sağlamış, doğal produktlere olan ilgiyi arttırmış ve dahası insanların bu doğal ürünlerin günlük beslenmelerine de ilave etmelerine büyük oranda faydalı olmuştur.

Antioksidan aktivite tayininde literatürde birçok yöntem vardır ve her geçen gün bunlara yenileri ilave edilmektedir. Bu tez çalışmasında ülkemizde doğal olarak yetişen üvez meyvesi ve çiçeğinin antioksidan aktivitesinin incelenip, literatüre kazandırılması amaçlandırılmıştır.

Toplam fenolik madde tayininde standart olarak gallik asit ve pirokateşol kullanılarak ekstraktların bu standartlar açısından içerikleri tespit edildi. Gallik asit standart grafiği  $y=0,0009x+0,0026$ , pirokateşol standart grafiğinin ise  $y=0,0014x+0,002$  olduğu bulundu. Toplam fenolik madde tayininde gallik asit ekivalenti olarak en yüksek miktarın meyvenin su ekstraktında ( $43,17\pm0,83$  mg GAE/g), pirokateşol eşdeğeri olarak ise en yüksek miktarın yine meyvenin su ekstraktında ( $28,14\pm0,08$  mg PKE/g) olduğu belirlendi.

Toplam flavonoid içeriğinin belirlenmesinde standart olarak gallik ve quersetin kullanıldı. Gallik asit için standart grafiğin  $y=0,0006x+0,0005$ , quersetin için ise standart grafiğin  $y=0,002x+0,0047$  olduğu bulundu. Toplam flavonoid içeriğinin tayininde gallik asit ekivalenti olarak en yüksek miktarın meyvenin su ekstraktında ( $80,53\pm1,00$  mg GAE/g), quersetin ekivalenti olarak ise en yüksek miktarın yine meyvenin su ekstraktında ( $123,96\pm0,61$  mg QUE/g) olduğu belirlendi.

Demir (II) iyonlarını şelatlama aktivitesini belirlerken BHA, BHT, askorbik asit ve EDTA standart olarak kullanıldı.  $50 \mu\text{g/mL}$  konsantrasyonda standartlar arasında en yüksek şelatlama aktivitesini etkili bir şelatlayıcı olan EDTA ( $\%55,95\pm0,28$ ), ekstraktlar içinde ise en yüksek şelatlama aktivitesini meyvenin su ekstraktı ( $\%34,52\pm0,81$ ) göstermiştir.

DPPH<sup>•</sup> radikal giderme aktivitesinin tayininde standart olarak  $\alpha$ -tokoferol, Askorbik asit, BHA ve BHT kullanıldı.  $250 \mu\text{g/mL}$  konsantrasyonda standartlar arasında en yüksek radikal giderme aktivitesini BHT ( $\%75,44\pm0,48$ ), ekstraktlar içinde ise en yüksek radikal giderme aktivitesini meyvenin su ekstraktı ( $\%44,35\pm0,48$ ) göstermiştir. DPPH<sup>•</sup> radikal giderme aktivitesinden elde edilen EC<sub>50</sub> değerleri için en yüksek değere BHA ( $19,55\pm0,59 \mu\text{g/mL}$ ), en düşük değere ise meyvenin su ekstraktının ( $9,86\pm0,25 \mu\text{g/mL}$ ) sahip olduğu tespit edilmiştir.

$\text{H}_2\text{O}_2$  giderme aktivitesi tayininde BHT, BHA, askorbik asit ve  $\alpha$ -tokoferol standart olarak kullanıldı.  $100 \mu\text{g/mL}$  konsantrasyonda standartlar içinde en yüksek  $\text{H}_2\text{O}_2$  giderme aktivitesini BHA ( $\%20,15\pm0,26$ ), ekstraktlar içinde ise  $\text{H}_2\text{O}_2$  giderme aktivitesini meyvenin aseton ( $\%29,86\pm0,89$ ) ekstraktı göstermiştir.

Toplam ferrik iyonlarını ( $\text{Fe}^{3+}$ ) indirmeye kapasitesinin belirlenmesinde standart olarak BHT, BHA, Askorbik asit ve  $\alpha$ -tokoferol kullanıldı.  $150 \mu\text{g/mL}$  konsantrasyonda standartlar arasında en yüksek  $\text{Fe}^{3+}$  indirmeye kapasitesini BHA ( $0,144\pm0,078$ ), ekstraktlar arasında ise meyvenin su ( $0,079\pm0,002$ ) ekstraktının gösterdiği bulunmuştur.

Süperoksit anyon radikal giderme aktivitesinin tayininde BHA, BHT ve askorbik asit standart olarak kullanıldı.  $200 \mu\text{g/mL}$  konsantrasyonda standartlar arasında en yüksek süperoksit anyon radikalini giderme aktivitesine askorbik asit ( $\%63,22\pm0,08$ ) sahipken, ekstraktlar içinde ise çiçeğin aseton ( $\%39,39\pm0,06$ ) ekstraktı sahiptir.

ABTS<sup>•+</sup> radikali giderme aktivitesi denemesinde BHA, BHT,  $\alpha$ -tokoferol ve Askorbik asit standart olarak kullanıldı. 250  $\mu\text{g}/\text{mL}$  konsantrasyonda standartlar arasında en yüksek ABTS<sup>•+</sup> radikali giderme aktivitesini BHA (%21.93±0,88), ekstraktlar içinde ise meyvenin aseton (%39.91±0,85) ekstraktı göstermiştir. ABTS<sup>•+</sup> radikali giderme aktivitesi için hesaplanan EC<sub>50</sub> değerleri içinde BHA'nın (6.48±0,25  $\mu\text{g}/\text{mL}$ ), meyvenin aseton ekstraktının ise (9.14±0,50  $\mu\text{g}/\text{mL}$ ) değere sahip olduğu tespit edildi.

Fosfomolibden metodu ile toplam antioksidan aktivite tayininde standart madde olarak asborbik asit kullanıldı. Askorbik asit standart grafiği  $y=0,003x+0,002$  olarak belirlendi. Askorbik asit ekivalenti cinsinden en yüksek antioksidan aktivite miktarı  $\alpha$ -tokoferolde belirlenmişken meyvenin su ekstraktında 23,54 mg A.asit/g bulundu.

Antosiyinan tayininde standart olarak kateşin kullanıldı. Kateşin standart grafik denklemi  $y=0,003x+0,0034$  bulundu. Kateşin ekivalenti olarak en yüksek miktarın meyvenin su (19,22 mg KE/g) ekstraktında olduğu gözlemlenmiştir.

Ferrik tiyosiyanat metodu ile toplam anitoksidan aktivite tayininde BHA, BHT, Askorbik asit ve  $\alpha$ -tokoferol standart olarak kullanıldı. 50  $\mu\text{g}/\text{mL}$  konsantrasyonda en yüksek toplam antioksidan aktivitenin standartlar arasında  $\alpha$ -tokoferolde (%74,28±0,23), ekstraktlar içinde ise çiçeğin aseton (%82,90±0,10) ekstraktında olduğu gözlemlendi. 100  $\mu\text{g}/\text{mL}$  konsantrasyonda en yüksek toplam antioksidan aktivite standartlardan  $\alpha$ -tokoferolde (%78,88±0,18), ekstraktlarından çiçeğin aseton (%81,57±0,77) ekstraktında bulundu. 150  $\mu\text{g}/\text{mL}$  konsantrasyonda en yüksek toplam antioksidan aktivite standartlar içinde  $\alpha$ -tokoferolde (%78,08±0,84), ekstraktlar arasında ise çiçeğin aseton (%84,92±0,53) ekstraktında gözlemlendi. 200  $\mu\text{g}/\text{mL}$  konsantrasyonda en yüksek toplam antioksidan aktivite standartlardan askorbik asitte (%77,37±0,38), ekstraktlardan çiçeğin aseton (%84,39±0,72) ekstraktında tespit edildi. 250  $\mu\text{g}/\text{mL}$  konsantrasyonda en yüksek toplam antioksidan aktivite standartlar içinde  $\alpha$ -tokoferolde (%75,99±0,05), ekstraktlar arasında çiçeğin aseton (%84,97±0,95) ekstraktında gözlemlendi.

Hidroksil radikali giderme aktivitesi için standart olarak BHT kullanıldı. 200  $\mu\text{g}/\text{mL}$  konsantrasyonda standart olarak kullanılan BHT'nin hidroksil radikali giderme aktivitesi %52,67±0,85, ekstraktlar arasında ise en yüksek hidroksil radikali giderme aktivitesinin meyvenin su ekstraktında (%31,07±0,14) olduğu gözlemlendi. Hidroksil radikali giderme

aktivitesi sonuçlarından elde edilen EC<sub>50</sub> değerleri hesaplanarak BHT için (14,62±0,57 µg/mL), meyvenin su ekstraktı için ise (7,80±0,25 µg/mL) değeri tespit edildi.

Üvez ekstraktlarının bakır iyonlarını indirgeme gücü metodunda standart olarak Askorbik asit kullanıldı. 200 µg/mL konsantrasyonda standart olarak kullanılan Askorbik asitin bakır iyonlarını indirgeme gücü 1.315±0,017, ekstraktlar arasında en yüksek bakır iyonlarını indirgeme gücü değerine meyvenin su ekstraktının (0.885±0,016) olduğu gözlemlendi. Bakır iyonlarını indirgeme potansiyeli sonuçlarından EC<sub>50</sub> değerleri askorbik asidin değeri (0.348±0,075 µg/mL), meyvenin su ekstraktının ise (0.206±0,075) değerine sahip olduğu tespit edildi.

LC-MS/MS ile üvezin meyve ekstraktının fenolik madde analizinde standart olarak 2,5-dihidroksibenzoik asit, 2-hidroksitrans sinnamik asit, absisik asit, kafeik asit, kateşin, klorojenik asit, ellagik asit, epikateşin, etilgallat, gallik asit, gibberallik asit, indol-3-asetik asit, izo-hamnetin, kamferol, jasmonik asit, kumarin, lutolein, mirisetin, naringin, p-kumarik asit, piropil gallat, protokatekuik asit, kuersetin, resveratrol, rutin, salisilik asit, sinapik asit, siringik asit, trans ferulik, glutatyon ve okside glutatyon kullanıldı. Bu analiz sonucunda üvezin meyve ekstraktında bulunan fenolik maddeler; gallik asit, protokatekuik asit, salisilik asit, siringik asit, rutin, absisik asit, jasmonik asit, glutatyon ve okside glutatyon olduğu tespit edildi. Üvezin meyve ekstraktındaki protokatekuik asit (3110,1348 µg/kg) değeri ile en yüksek konsantrasyona sahipken, GSH'in (3,2825 µg/kg) miktarı ile düşük oranda bulunduğu belirlendi.

Klorofil a miktarı 10,85 mg/kg yaş ağırlık, klorofil b miktarı 4,7837 mg/kg yaş ağırlık, toplam klorofil miktarı 15,6390 mg/kg yaş ağırlık olarak bulundu.

## ÖZET

Ceylan, B. (2017). Üvez (*Sorbus domestica* L.) Ekstraktlarının Antioksidan Aktivitesinin Belirlenmesi. Trakya Üniversitesi Sağlık Bilimleri Enstitüsü, Temel Eczacılık Bilimleri Bölümü, Yüksek Lisans Tezi, Edirne.

Üvez (*Sorbus domestica* L.) meyvelerinin ve çiçeğinin antioksidan aktivitesi su ve aseton çözücüleri kullanılarak elde edilen ekstraktlarla incelendi. Ekstraktların toplam fenolik bileşik tayini, toplam flavonoid içeriğinin belirlenmesi, demir (II) iyonlarını şelatlama aktivitesi, DPPH<sup>•</sup> radikal giderme aktivitesi, H<sub>2</sub>O<sub>2</sub> giderme aktivitesi, toplam ferrik iyonlarını (Fe<sup>3+</sup>) indirgeme kapasitesi, süperoksit anyon radikal giderme aktivitesi, ABTS<sup>•+</sup> radikal giderme aktivitesi, fosfomolibden metodu ile toplam antioksidan miktarı, antosianin içeriği, klorofil içeriği, linoleik asit sisteminde ferrik tiyosiyamat (FTC) metodu ile toplam antioksidan aktivitesi, hidroksil radikal giderme aktivitesi, LC-MS/MS ile fenolik madde analizi ve bakır iyonlarını indirgeme potansiyeli (CUPRAC metodu) tayin edildi.

En yüksek ekstrakt verimini su ekstraktı (327,36 mg/g) gösterdi. En yüksek toplam fenolik bileşik ve toplam flavonoid miktarlarının su ekstraktında olduğu saptandı. Metal şelatlama aktivitesi tayininde, standartlara en yakın aktivite gösteren ekstrakt, meyvenin su ekstraktıdır.

DPPH<sup>•</sup> radikal giderme aktivitesi tayininde, ekstraktlar arasında en iyi aktiviteyi meyvenin su ekstraktı göstermiştir. H<sub>2</sub>O<sub>2</sub> giderme aktivitesi tayininde, meyvenin aseton (%34.37±0,72) ekstraktı standartlardan daha yüksek aktivite göstermiştir.

İndirgeme kapasitesi tayininde, ekstraktların standartlara göre daha düşük aktiviteye sahip olduğu gözlendi. Süperoksit radikal giderme aktivisinde, çiçeğin aseton ekstraktı diğer ekstraktlara göre daha yüksek ordanda radikal giderme aktivitesi gösterdi.

ABTS•<sup>+</sup> radikal giderme aktivitesi tayininde, meyvenin aseton (%39.91±0,85) ekstraktı standartlardan daha yüksek aktivite göstermiştir. Fosfomolibden metodu ile toplam antioksidan aktivite tayininde meyvenin su ekstraktının en yüksek aktiviteye sahip olduğu belirlendi.

Antosianın tayininde, en yüksek antosianın miktarı meyvenin su (19,22 mg KE/g) ekstraktında gözlendi. Klorofil tayininde, toplam klorofil miktarı (15,639 mg/kg) yaşı ağırlık olarak bulundu.

FTC metoduyla toplam antioksidan kapasitesi tayininde, çiçeğin aseton (%84.97±0,95) ekstraktının en yüksek aktiviteye sahip olduğu belirlendi. Hidroksil radikal giderme aktivitesi tayininde, meyvenin su ekstraktı en yüksek radikal giderme aktivitesi göstermiştir.

LC-MS/MS ile fenolik madde analizinde, en yüksek fenolik madde konsantrasyonu protokatekuik asitte (3110,1348 µg/kg) gözlendi. Bakır iyonlarını indirgeme potansiyeli (CUPRAC metodu) tayininde, en yüksek indirgeme potansiyelini meyvenin su ekstraktı göstermiştir.

Üvez (*Sorbus domestica* L.) meyvelerinden ve çiçeğinden elde edilen tüm ekstraktların antioksidan aktivite gösterdiği ve üvez meyvesinin doğal bir antioksidan kaynağı olarak kullanılabileceği sonucuna varıldı.

**Anahtar Kelimeler:** Antioksidan aktivite, fenolik bileşikler, serbest radikaller, *Sorbus domestica* L., hidroksil radikal giderme aktivitesi.

Bu çalışma, Trakya Üniversitesi Bilimsel Araştırma Projeleri Birimi tarafından desteklenmiştir. Proje No: 2017/74.

## SUMMARY

Ceylan, B. (2017). Determination of antioxidant activity of rowanberry (*Sorbus domestica* L.) extracts. Trakya University Health Science Institute, Basic Pharmacy Sciences Department, Master of science thesis, Edirne.

The antioxidant activity of (*Sorbus domestica* L.) fruit and flower was examined by using extracts of water and acetone solvents. The extracts were analyzed for total phenolic compound content, total flavonoid content determination, chelating activity of iron (II) ions, DPPH• radical scavenging activity, H<sub>2</sub>O<sub>2</sub> scavenging activity, total ferric ions (Fe<sup>3+</sup>) reduction capacity, superoxide anion radical scavenging activity, ABTS•<sup>+</sup> radical scavenging activity, total antioxidant activity by the phosphomolybdenum method, anthocyanin content, chlorophyll content, ferric thiocyanate method in linoleic acid system, hydroxyl radical scavenging activity, phenolic substance analysis by LC-MS/MS and reduction potential of copper ions (CUPRAC method) were determined.

The highest extract yield was water extract (327,36 mg/g). The highest total phenolic compound and total flavonoid contents were found in the water extract. In the determination of metal chelating activity, the extract which is the closest to the standard is the water extract of the fruit.

In determining DPPH• radical scavenging activity, water extract showed the best activity among the extracts. In the determination of H<sub>2</sub>O<sub>2</sub> removal activity, the fruit acetone (%34,37±0,72) extract had higher activity than the standard.

In the determination of the reduction capacity, the extracts were observed to have lower activity than the standards. In superoxide radical scavenging activity, acetone extract of the flower showed higher radical scavenging activity than the other extracts.

In the determination of ABTS<sup>•+</sup> radical scavenging activity, fruit acetone (%39.91±0,85) extract had higher activity than the standard. The total antioxidant activity was determined by the phosphomolybdenum method and the fruit water extract had the highest activity.

In the determination of anthocyanin, the highest amount of anthocyanin was observed in fruit water (19.22 mg KE/g) extract. In chlorophyll determination, the total amount of chlorophyll (15.639 mg/kg) was found to be wet weight.

Determination of the total antioxidant capacity by the FTC method revealed that the extract of the flower acetone (%84.97±0,95) had the highest activity. In determining the hydroxyl radical scavenging activity, the fruit water extract showed the highest radical scavenging activity.

In the analysis of phenolic material by LC-MS/MS, the highest phenolic substance concentration was observed in protocatechuic acid (3110,1348 µg/kg). In the determination of the reduction potential of copper ions (CUPRAC method), the fruit water extract showed the greatest reduction potential.

All the extracts obtained from fruits and flowers rowanberry (*Sorbus domestica* L.) showed antioxidant activity and the fruits could be used as a natural antioxidant source.

**Key words:** Antioxidant activity, phenolic compounds, free radicals, *Sorbus domestica* L., hydroxyl radical scavenging activity.

This work was supported by the Trakya University Scientific Research Projects Unit. Project number: 2017/74.

## KAYNAKLAR

- 1-Adjimani, J., Asare, P., *Antioxidant and free radical scavenging activity of iron chelators*, Toxicology Reports, 2, 721-728, (2015).
- 2-Akkuş, İ., *Serbest Radikaller ve Fizyopatolojik Etkileri*, Mimoza Yayınları, Konya, (1995).
- 3-Aktümsel, A., Arkan, T., *Daphne Oleoides Subsp. Oleoides ve Daphne Sericea'nın farklı çözüçülerle antioksidan özellikleri*, Y.Lisans Tezi, (2011).
- 4-Alanon, M.E., Costro-Vazquez, L., Dioz-Maroto, M.C., Hermosin-Gutierrez, I., Gordon, M.H., *Antioxidant capacity and phenolic composition of different woods used in cooperage*, Food Chemistry, 129, 1584-1590, (2011).
- 5-Antolovich, M., Prenzler, P.D., Potsalides, E., McDonald, S. and Robards K., *Methods for testing antioxidant activity*, Analyst, 127:183-198,(2002).
- 6-Arnon, D.I., *Copper enzymes in isolated chloroplasts, polyphenoloxidase in Beta vulgaris*, Plant Physiology, 24, 1-15, (1949).

- 7-Aslani, B.A, Ghobadi, S., *Studies on oxidants and antioxidant with a brief glance at their relevance to the immune system*, Life Sciences, (2016).
- 8-Bajpai, V.K., Baek, K.H., Kang, S.C., *Antioxidant and free radical scavenging activites of taxoquinane, a diterpenoid isolated from Metasequoia glyptostrobaides*, South African Journal of Botany, 111, 93-98, (2017)
- 9-Baskin, S.I., Salem, H., *Oxidants, Antioxidants and Free Radicals*, Washington DC: Taylor and Francis, (1997).
- 10-Bast, A., Haenen, G.R.M.M., Cees, J.A.D., *Oxidant and antioxidant: state of the art*, The American Journal of Medicine, 91, (Suppl 3C), 30, 3C-2S, 3C-13S, (1997).
- 11-Baştaş, K.K., Karacif, E., *Erwinia amylovora Enfeksiyonundan sonra elma ve armut çeşitlerindeki bazı antioksidatif enzim seviyelerinin belirlenmesi*, Y.Lisans Tezi, (2012).
- 12-Baytop, T., *Türkçe Bitki Adları Sözlüğü*, Türk Dil Kurumu Yayınları, No:578, Türk Tarih Kurumu Basımevi, Ankara, (1994).
- 13-Baytop, T., *Türkiye'de Bitkiler ile Tedavi (Geçmişte ve Bugün)*, Nobel Tıp Kitabevleri, LTD.ŞTİ. İstanbul, (1999).
- 14-Becker, E.M., Nissen, L.S., Skibsted, L.H., *Antioxidant evaluation protocols: Food quality or health effects*, European Food Research and Techonology, 10.107/s00217-004-1012-4,(2004).
- 15-Benzie, I.F.F., *An automated, specific, spectrophotometric method for measurin ascorbic acid in plasma (EFTSA)*, Clinical Biochemistry, 29, 116-116, (1996).
- 16-Blander, G., Oliviera, R.M., Conboy, C.M, Hoigid, M., Guarante, L., *Süperoksid dismuta 1 Knock-down induces senescence in human fibroblast*, J. Biol., Chem., 278, 38966-9, (2003).
- 17-Blois, M.S., *Antioxidant determinatios by the use of stable free radical*, Nature, 1199-1200, (1958).
- 18-Bozdemir, Y., *Keten tohumu (*Linum Usitatissimum*) ekstraktında katalaz ve süperoksit dismutaz enzim aktiviteleri*, Y.Lisans Tezi, Adana, (2007).

- 19-Can, A., Hasbal, G., *Sorbus torminalis* (L.) Crantz. (Akçaağaç yapraklı üvez)'in antioksidan aktivitesinin incelenmesi, Y.Lisans Tezi, (2013).
- 20-Cardenas, A., Gamez, M., Frontona, C., *Electrochemical method to quantify Antioxidant emplying Cupric Reducing Antioxidant Capacity, CUPRAC*, Procedio Chemistry, 12, 62-65, (2014).
- 21-Cheesman, K. H., Slater, T. F., *An introduction to free radical biochemistry*, British Medical Bulltin, 49(3), 481-493, (1993).
- 22-Choe, E., Min, D. B., *Chemistry and Reactions of Reactive Oxygen Species in Foods*, Crit Rev. Food Sci. Nut., 46: 1-22, (2006).
- 23-Çavdar, C., Sifil, A., Çamsar, T., *Reaktif oksijen partikülleri ve antioksidan savunma*, Türk Nefroloji Diyaliz ve Transplantasyon Dergisi, 3-4, 92-95, (1997).
- 24-Çaylak, E., *Hayvan vw bitkilerde oksidatif stres ile antioksidanlar*, Tıp Araştırmaları Dergisi, 9(1), 78-83, (2011).
- 25-Deaton, C. M., Marlin, D. J., *Exercise-Associated Oxidative stress*, Clin. Tech. Equine Pract, Vol 2, No 3, 278-291, (2003).
- 26-Diplock, A., *Healty lifestyles nutrition and physical activity: Antioxidant nutrients*, ILSI Europe Consie Monograph Series, Belgium: 59, (1998).
- 27-Eksi, A., Damar, İ., *Vışne Suyunun Antosiyinan Profili ve Antioksidan Kapasitesi*, Y. Lisans Tezi, (2010).
- 28-Elliott, J. G., *Application of antioxidant vitamins in foods and beverages*, Food Tech., 53(2); 46-48, (1999).
- 29-Flora, J. J., *Role of free radicals and antioxidant in health and disease*, Cellular and Molecular Biology, 53, 1-2, (2007).
- 30-Frankel, E. N., Meyer, A. S, *The problems of using onedimensional methods to evaluate multifunctional food and biological antioxidants*, Journal of the Science of Food and Argiculture, 80, 1925-1941, (2000).
- 31-Freeman, B. A., Crapo, J. D., *Biology of disease, free radicals and tissue injury*, Laboratory Investigation, 47(5), 412, (1982).

- 32-Gerewall, H. S., *Antioxidants and Disease Prevention*, Florida: CRC Press Inc., 3-19, (1997).
- 33-Gökşin, A., *Türkiye'de Doğal Olarak Yetişen Üvez (Sorbus L.) Taksonlarının Yayılışları ile Önemli Bazı Morfolojik ve Anatomik Özellikleri Üzerine Araştırmalar*, Ormancılık Araştırma Enstitüsü Yayınları, Teknik Bülten Serisi No: 120, Ankara, (1982).
- 34-Guemouri. L., Artur, Y., Herbeth, B., Jeandel, C., Cuny, G. and Siest, G., *Biological Variability of Superoxide Dismutase*, Glutathione Peroxidase, and Catalase in Blood. Clin. Chem. 37(11), 1932-1937, (1991).
- 35-Halliwell, B., Gutteridge, J. M. C., *Role of Iron in Oxygen Radical reactions*, Methods in Enzymology, 105, 47-56, (1984).
- 36-Hasbal, G., Yılmaz-Özden, T., Can, A., *Antioxidant and Antiacetylcholinesterase activities of Sorbus torminalis (L.) Crantz (wild service tree) fruits*, Journal of Food and Drug Analysis, 23, 57-62, (2015).
- 37-Huang, D., Ou, B., Prior, R. L., *The chemistry behind antioxidant capacity assays, Reviews*, Journal of Agricultural Food Chemistry, 53, 184-1856, (2005).
- 38-Ignarro, L. J., Cirino, G., Casini, A., Napoli, C., *Nitric Oxide as a signaling molecule in the vascular system: an overview*, Journal Of Cardiovascular Pharmacology, 34(6), 879-886. (1999).
- 39-Inglet, G. E., Chan, D., Berhow, M., Lee, S., *Antioxidant Activity of Commercial Buck Wheat Flours and Their Free and Bound Phenolic Compositions*, Food Chemistry, 125, 923-929, (2011).
- 40-Jesberger, J. A., Richardson, J. S., *Oxygen Free Radicals and Brain Dysfunctio*, Intern J Neuroscience, 57: 1-17, (1991).
- 41-Koca, N., and Karadeniz, F., *Gidalardaki doğal antioksidan bileşikler*, Gıda, 30(4), 229-236, (2005).
- 42-Larson, R. A., *The antioxidants of higher plants*, Phytochemistry, 27(4), 969-978, (1998).

- 43-Mahmoudi, S., Kholi, M., Benkhaled, A., Banomirouche, K., Baiti, I., *Phenolic and Flavanoid Content, Antioxidant and Antimicrobial Activities of Leaf Extracts From Ten Algerian (Ficus carica L. varieties)*, Asian Pac. J. Trop Biomed, 6(3), 239-245, (2016).
- 44-Miller, D. D., *Minerals, İçinde O.R. Fennema (Ed)*, Chemistry, Marcel Dekker, New York: 617-649, (1996).
- 45-Mitsuda, H., Yasumato, K., Iwami, K., *Antioxidative Action of Indole Compounds During The Autoxidation of Lineleic Acid*, Eiyoto Shokuryo, 19, 210-214, (1966).
- 46-Murray, R. K., Mayes, P. A., Granner, D. K., Radwell, V. W., *Harper'in Biyokimyası*, Çevirenler: Prof. Dr. Gülriz Mentes, Prof. Dr. Biltan Ersöz, Barış Kitabevi, (1993).
- 47-Nishimiki, M., Rao, N. A., Yogi, K., *The accurance of superoxide anion in the reaction of reduced phenazine methosulfate and molecular oxygen*, Biochemical and Biophysical Research Communications, 46(2), 849-854, (1972).
- 48-Oyaizu, M., *Studies on product of browing reaction prepared from glucose amine*, Japan Journal of Nutrition, 44, 307-315, (1986).
- 49-Özen, G., Akbulut, M., *Dut Suyunun Antosiyinan İçeriğinin Belirlenmesi*, Türkiye, 10. Gıda Kongresi, (2008).
- 50-Pisochi, A. M., Pop, A., *The Role of Antioxidant in The Chemistry of Oxidative Stress: A review*, European Journal of Medicinal Chemistry, 97, 55-74, (2015).
- 51-Podsedek, A., *Natural antioxidant and antioxidant capacity of Brassica vegetables: A review*, LWT-Food Science and Technology, 40(1), 1-11, (2007).
- 52-Prieto, P., Inedo, M., Aguliar, M., *Spectrophotometric quantitation of antioxidant capacity through the formation of a phosphomolybdenum complex: spesific application to the determination of vitamin E*, Analytical Biochemistry, 269, 337-341, (1999).
- 53-Proteggente, A. R., Rehman, A., Halliwell, B. and Rice-Evanj, C. A., *Potential problems of ascorbate and iron supplementation: pro-oxidant effect in vivo*, Biochemical and Biophysical Research Communications, 277(3), 535-540, (2000).
- 54-Radojkovic, M., Zekovic, Z., Maskovic, P., Vidavic, S., Mandic, A., Mison, A., Duravic, S., *Biological activities and chemical compositon of Morus leaves extracts obtained by*

*maceration and supercritical fluid extraction*, The Journal of Supercritical Fluids, 117, 50-58, (2016).

55-Re, R., Pellegrini, N., Proteggente, A., Pamola, A., Yang, M., *Antioxidants activity applying an improved ABTS radical cation decolorization assay*, Free Radical Biology and Medicine, 26, 1231-1237, (1999).

56-Reaven, P. D., Khouw, A., Beltz, W. F., Parthasarathy, S. and Witztum, J. L., *Effect of dietary antioxidant combinations in humans, protection of LDL by vitamin E but not by beta-carotene*, Arteriosclerosis and Thrombosis, 13(4), 590-600, (1993).

57-Reiter, R. J., *Interactions of the Pineal Hormone Melatonin With Oxygencentered Free Radicals*, Brazilian J. Med. Biol. Res., 26, 1141-1155, (1993).

58-Rezaeizadeh, A., Zuki, A. B. Z., Abdallah, M., Gah, Y. M., Noordin, M. M., Hamid, M., Azmi, T. I., *Determination of antioxidant activity in methanolic and chloroformic extracts of Momordica charantia*, African Journal of Biotechnology, 10(24), 4932-4940, (2011).

59-Ruch, R. J., Cheng, S. J., Klauning, J. E., *Prevention of cytotoxicity and inhibition of intracellular communication by antioxidant catechins isolated from Chinese green tea*, Carcinogenesis, 10(6), 1003-1008, (1989).

60-Sanchez-Salcedo, E. M., Meno, P., Garcia-Viguera, C., Hernandez, F., Martinez, J. J., *(Poly)phenolic compounds and antioxidant activity of white (*Morus alba*) and black (*Morus nigra*) mulberry leaves; Their potential for new products rich in phytochemicals*, Journal of Functional Foods, 18, 1039-1046, (2015).

61-Slinkard, K., Singleton, V. L., *Total phenol analyses: Automation and comparison with manual methods*, American Journal of Enology and Viticulture, 28, 49-55, (1977).

62-Smidova, B., Satinsky, D., Dostalova, K., Salich, P., *The pentafluorophenyl stationary phase shows a unique separation efficiency for performing fast chromatography determination of highbush blueberry anthocyanins*, Talanta, 166, 249-254, (2017).

63-Soriani, M., Pietraforte, D. And Minetti, M., *Antioxidant potential of anaerobic human plasma: Role of serum albumin and thiols as scavengers of carbon radicals*, Archives of Biochemistry and Biophysics, 312, 180-188, (1994).

64-Streyer, L., *Biochemistry*, 4 th Ed., W. H. Freeman and Company, New York, (1995).

- 65-Şahin-Başak, S., Candan, F., *Lallemantia canescens (L) Fisch & mey bitkisinin ve kalkus doku kültürünün antioksidan aktivitesi*, İTÜ Dergisi, Cilt: 6, Sayı: 1, 14-26, (2008).
- 66-Termentzi, A., Kefalas, P., Kakkalou, E., *Antioxidant activities of various extracts and fractions of Sorbus domestica fruits at different maturity stages*, Food Chemistry, 98, 599-608, (2006).
- 67-Terpinc, P., Cigic, B., Polak, T., Hribar, J., Pazri, T., *LC-MS analysis of phenolic compounds and antioxidant activity of buckwheat at different stages of malting*, Food Chemistry, 210, 9-17, (2016).
- 68-Topçu, G., Yılmaz, A., *Nepeta sorgerae ve Nepeta obtusicrena bitkilerinin antioksidan ve anti-alzheimer bileşenlerinin izolasyonu ve yapılarının belirlenmesi*, Y. Lisans Tezi, (2011).
- 69-Yanishlieva, N. V., Marinova, E. and Pokory, J., *Natural antioxidants from Herbs and Spices*, Eur. J. Lipid. Sci. Tech. 108; 776-793, (2006).
- 70-Zhishan, J., Mengcheng, T., Jianming, W., *The determination of flavonoid contents on mulberry and their scavenging effects on superoxide radical*, Food Chemistry, 64, 555-559, (1999).

## **ŞEKİLLER LİSTESİ**

### **ŞEKİLLER**

<b>Şekil 1.</b> Moleküler oksijenden ROT üretimi .....	4
<b>Şekil 2.</b> Solunumsal patlama sırasında serbest radikal oluşumu .....	8
<b>Şekil 3.</b> Serbest radikallerin neden olduğu hasarlar .....	9
<b>Şekil 4.</b> Glutatyonun indirgenmesi .....	11
<b>Şekil 5.</b> Askorbik asidin yapısı .....	13
<b>Şekil 6.</b> Askorbik asidin oksidasyonu .....	13
<b>Şekil 7.</b> $\alpha$ -tokoferolün yapısı .....	14
<b>Şekil 8.</b> $\beta$ -karoten yapısı .....	14
<b>Şekil 9.</b> Likopen yapısı .....	15
<b>Şekil 10.</b> Melatonin yapısı .....	15
<b>Şekil 11.</b> C <sub>6</sub> -C <sub>3</sub> -C <sub>6</sub> sistemi ve flavonoidlerin genel yapısı .....	16
<b>Şekil 12.</b> Flavonoid iskeletleri .....	16
<b>Şekil 13.</b> Glutatyon yapısı .....	17
<b>Şekil 14.</b> Ürik asit yapısı .....	17
<b>Şekil 15.</b> Bilirubin yapısı .....	18
<b>Şekil 16.</b> Lipoik asidin dihidrolipoik aside indirgenmesi .....	18
<b>Şekil 17.</b> N-asetil sistein yapısı .....	18

<b>Şelil 18.</b> Gidalara ilave edilen sentetik antioksidanların yapısı .....	20
<b>Şekil 19.</b> ABTS radikalının antioksidan ile etkileşimi .....	22
<b>Şekil 20.</b> Fe <sup>III</sup> tuzlarının antioksidan ile etkileşimi .....	23
<b>Şekil 21.</b> Antioksidan tarafından DPPH radikalının indirgenmesi .....	24
<b>Şekil 22.</b> Üvez ( <i>Sorbus domestica L.</i> ) meyveleri .....	24
<b>Şekil 23.</b> Üvez ( <i>Sorbus domestica L.</i> )’de yaprak ve çiçek .....	25
<b>Şekil 24.</b> Gallik asit standart grafiği .....	39
<b>Şekil 25.</b> Pirokateşol standart grafiği .....	39
<b>Şekil 26.</b> Üvez ekstraktlarının gallik asit eşdeğeri cinsinden fenolik madde içerikleri .....	40
<b>Şekil 27.</b> Üvez ekstraktlarının pirokateşol eşdeğeri olarak fenolik madde içerikleri .....	41
<b>Şekil 28.</b> Gallik asit standart grafiği .....	41
<b>Şekil 29.</b> Kuersetin standart grafiği .....	42
<b>Şekil 30.</b> Üvez ekstraktlarının gallik asit eşdeğeri olarak flavonoid madde içerikleri .....	43
<b>Şekil 31.</b> Üvez ekstraktlarının kuersetin eşdeğeri olarak flavonoid madde içerikleri .....	43
<b>Şekil 32.</b> Üvez ekstraktlarının metal şelatlama kapasiteleri .....	44
<b>Şekil 33.</b> Üvez ekstraktlarının DPPH• radikalı giderme aktiviteleri .....	46
<b>Şekil 34.</b> Üvez ekstraktlarının ve standartların H <sub>2</sub> O <sub>2</sub> giderme aktiviteleri .....	48
<b>Şekil 35.</b> Üvez ekstraktlarının Fe <sup>3+</sup> , ü Fe <sup>2+</sup> , ye indirgeme kapasiteleri .....	49
<b>Şekil 36.</b> Üvez ekstraktlarının süperoksit radikalı giderme aktiviteleri .....	51
<b>Şekil 37.</b> Üvez ekstraktlarının ABTS <sup>+</sup> radikalı giderme aktiviteleri .....	52
<b>Şekil 38.</b> Askorbik asit standart grafiği .....	54
<b>Şekil 39.</b> Üvez ekstraktlarının antioksidan kapasiteleri .....	54
<b>Şekil 40.</b> Katesin standart grafiği .....	55

<b>Şekil 41.</b> Katesin eşdeğeri olarak antosianin içerikleri .....	56
<b>Şekil 42.</b> Üvez ekstraktları ve standartlarının 50 µg/mL konsantrasyonlarındaki linoleik asit peroksidasyonunun zamanla değişimi .....	57
<b>Şekil 43.</b> Üvez ekstraktlarının 50 µg/mL konsantrasyonlarında lipid peroksidasyonunu inhibe yüzdelerinin standart antioksidanlar ile değerlendirilmesi .....	57
<b>Şekil 44.</b> Üvez ekstraktlarının 100 µg/mL konsantrasyonlarındaki linoleik asit peroksidasyonunun zamanla değişimi .....	58
<b>Şekil 45.</b> Üvez ekstraktlarının 100 µg/mL konsantrasyonlarında lipid peroksidasyonunu inhibe yüzdelerinin standart antioksidanlar ile değerlendirilmesi .....	58
<b>Şekil 46.</b> Üvez ekstraktları ve standartlarının 150 µg/mL konsantrasyonlarındaki linoleik asit peroksidasyonunun zamanla değişimi .....	59
<b>Şekil 47.</b> Üvez ekstraktlarının 150 µg/mL konsantrasyonlarında lipid peroksidasyonunu inhibe yüzdelerinin standart antioksidanlar ile değerlendirilmesi .....	59
<b>Şekil 48.</b> Üvez ekstraktları ve standartlarının 200 µg/mL konsantrasyonlarındaki linoleik asit peroksidasyonunun zamanla değişimi .....	60
<b>Şekil 49.</b> Üvez ekstraktlarının 200 µg/mL konsantrasyonlarında lipid peroksidasyonunu inhibe yüzdelerinin standart antioksidanlar ile değerlendirilmesi .....	60
<b>Şekil 50.</b> Üvez ekstraktları ve standartlarının 250 µg/mL konsantrasyonlarındaki linoleik asit peroksidasyonunun zamanla değişimi .....	61
<b>Şekil 51.</b> Üvez ekstraktlarının 250 µg/mL konsantrasyonlarında lipid peroksidasyonunu inhibe yüzdelerinin standart antioksidanlar ile değerlendirilmesi .....	61
<b>Şekil 52.</b> Üvez ekstraktlarının hidroksil radikal giderme aktiviteleri .....	62
<b>Şekil 53.</b> Ekstraktların ve askorbik asidin bakır iyonlarını indirgeme gücü .....	64
<b>Şekil 54.</b> Üvezin meyve ekstraktının gallik asit spektrumu .....	65
<b>Şekil 55.</b> Üvezin meyve ekstraktının protokatekuik asit spektrumu .....	66
<b>Şekil 56.</b> Üvezin meyve ekstraktının salisilik asit spektrumu .....	66

<b>Şekil 57.</b> Üvezin meyve ekstraktının syringik asit spektrumu .....	66
<b>Şekil 58.</b> Üvezin meyve ekstraktının rutin spektrumu .....	67
<b>Şekil 59.</b> Üvezin meyve ekstraktının absisik asit spektrumu .....	67
<b>Şekil 60.</b> Üvezin meyve ekstraktının jasmonik asit spektrumu .....	67
<b>Şekil 61.</b> Üvezin meyve ekstraktının GSH spektrumu .....	68
<b>Şekil 62.</b> Üvezin meyve ekstraktının GSSG spektrumu .....	68
<b>Şekil 63.</b> Üvez yaprağının klorofil içeriği .....	70

## TABLOLAR

<b>Tablo 1.</b> Serbest radikal türleri .....	5
<b>Tablo 2.</b> Üvezin ekstrakt verimleri .....	38
<b>Tablo 3.</b> Standartların farklı konsantrasyonlarının $\text{Fe}^{2+}$ iyonlarını şelatlama kapasiteleri .....	45
<b>Tablo 4.</b> DPPH $\cdot$ radikal giderme aktivitesinde kullanılan standart çözeltilerin farklı konsantrasyonlarının radikal giderme aktiviteleri .....	46
<b>Tablo 5.</b> DPPH $\cdot$ radikal giderme aktivitesi verilerinden hesaplanan $\text{EC}_{50}$ değerleri .....	47
<b>Tablo 6.</b> $\text{H}_2\text{O}_2$ giderme aktivitesinde kullanılan standart çözeltilerin radikal giderme aktiviteleri .....	48
<b>Tablo 7.</b> Standart çözeltilerin $\text{Fe}^{3+}$ iyonlarını indirgeme kapasiteleri .....	50
<b>Tablo 8.</b> Standartların farklı konsantrasyonlarının süperoksit radikal giderme aktiviteleri .....	51
<b>Tablo 9.</b> Standart çözeltilerin ABTS $^{\cdot+}$ radikal giderme aktiviteleri .....	52
<b>Tablo 10.</b> Ekstraktlar ile standartların ABTS $^{\cdot+}$ radikal verilerinden hesaplanan $\text{EC}_{50}$ değerleri .....	53
<b>Tablo 11.</b> Hidroksil radikal verilerinden hesaplanan $\text{EC}_{50}$ değerleri .....	63

<b>Tablo 12.</b> Bakır iyonlarını indirgeme gücü sonuçlarından hesaplanan EC <sub>50</sub> değerleri .....	64
<b>Tablo 13.</b> Üvez meyve ekstraktından elde edilen fenolik maddeler ve konsantrasyonları ....	65
<b>Tablo 14.</b> Üvez meyvesinde bulunan 9 önemli fenolik bileşliğin alikonma süreleri ve m/z değerleri .....	69

## **ÖZGEÇMİŞ**

15 Ekim 1993 tarihinde Kırklareli’de doğdum. İlk ve orta öğretimimi Minnetler Köyü İlköğretim Okulu’nda tamamladım. 2011 yılında Babaeski Lisesi’nden mezun oldum ve aynı yıl Trakya Üniversitesi Fen Fakültesi Kimya Bölümünü kazandım ve 2015 yılında bölüm birincisi olarak lisans eğitimimi tamamladım. 2015 Güz Yarıyılı döneminde Trakya Üniversitesi Sağlık Bilimleri Enstitüsü Temel Eczacılık Bilimleri Anabilim Dalı yüksek lisans programına başladım.